



PROVINCIA DI BENEVENTO

Settore Viabilità 1 e connesse infrastrutture

PROGRAMMA OPERATIVO COMPLEMENTARE CAMPANIA 2014/2020

LINEA D'AZIONE RIGENERAZIONE URBANA

AZIONE OPERATIVA FONDO DI ROTAZIONE PER LA PROGETTAZIONE DEGLI ENTI LOCALI

PROGETTO

Servizi di ingegneria di progettazione definitiva ed esecutiva, C.S.P.
indagini geognostiche e relazione geologica - lavori di completamento
e risanamento della S.P. n°44 di penetrazione e collegamento San
Giorgio La Molara - SS. 90 bis - II lotto

FASE PROGETTUALE

PROGETTO DEFINITIVO

ELABORATO

RELAZIONE DI CALCOLO MURI DI SOSTEGNO

FASE	GRUPPO	TAVOLA	PROGRESIVO
D	DS	003	88

FILE NOME	C.U.P.	C.I.G.	SCALA
DDS0038_RELAZIONE DI CALCOLO MURI DI SOSTEGNO	I31B16000460002	7085240D00	-

PROGETTISTA

RTP:



GENERAL ENGINEERING SRL (Capogruppo mandatario)



Ing. Antonello SCOCCA

Arch. Tito VELLA (mandante)

Ing. Francesco Junior MARCHESE (mandante)

Geol. Dott. Daniele PIPICELLI (mandante)

Geom. Nicola LAUDATO (mandante)

RUP

Ing. Zosimo Giovanni MAIOLO

GRUPPO DI LAVORO

Ing. Carlo CAMILLERI
Ing. Nicola CAMILLERI
Arch. Francesco COVINO

REVISIONE	DATA	OGGETTO	APPROVATO
0	Giugno 2018	Emissione - verifica intermedia RUP	Ing. Antonello SCOCCA

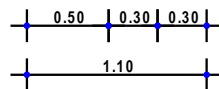
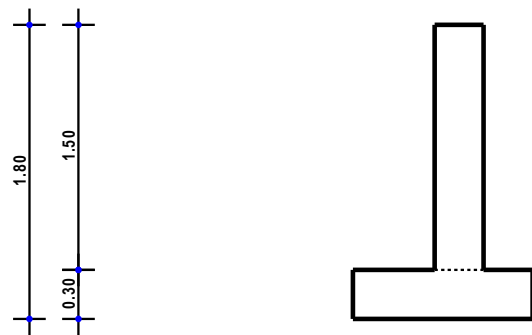
Relazione di calcolo zanella H=1.5m

1 - DESCRIZIONE GENERALE DELL'OPERA

Il muro oggetto della relazione di calcolo ha lo scopo di contenere il terreno per la realizzazione di una zanella in c.a. gettata in opera. La tipologia di muro impiegata è quella di muro a mensola in c.a. Il muro ha un'altezza di 1.5 m e spessore del paramento costante lungo l'altezza di 0.3 m.

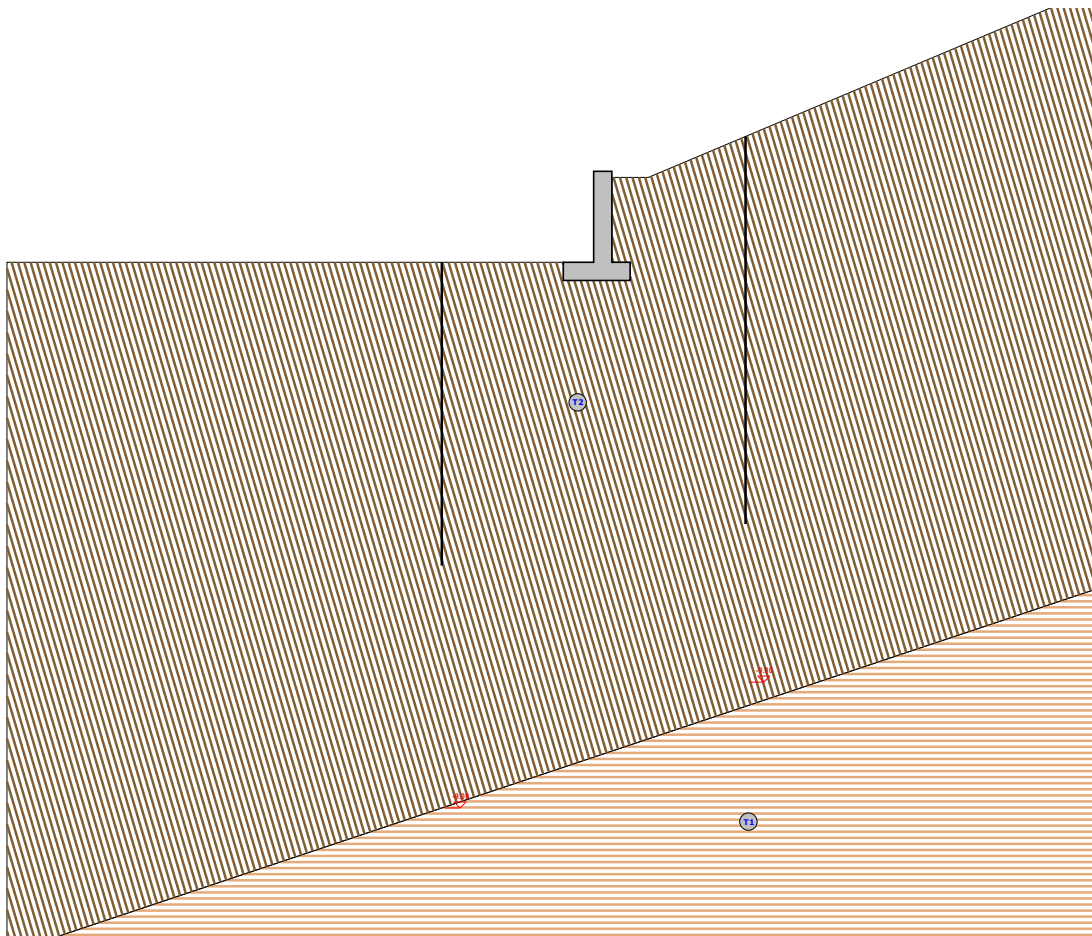
Vengono di seguito riportate delle viste, in sezione, allo scopo di consentire una migliore comprensione dell'opera in oggetto della presente relazione:

Vista in Sezione



Vista Sezione

Vista Stratigrafica



Strato	Descrizione	g	g _w	f	Cu	C'
T1	Argilla sabbiosa	20000	22000	23.0°	0.02	0.02
T2	Unità B	16000	22000	29.0°	0.01	0.01

Vista Strati

2 - NORMATIVA DI RIFERIMENTO

Le fasi di analisi e verifica della struttura sono state condotte in accordo alle seguenti disposizioni normative, per quanto applicabili in relazione al criterio di calcolo adottato dal progettista, evidenziato nel prosieguo della presente relazione:

Legge 5 novembre 1971 n. 1086 (G. U. 21 dicembre 1971 n. 321)

"Norme per la disciplina delle opere di conglomerato cementizio armato, normale e precompresso ed a struttura metallica"

Legge 2 febbraio 1974 n. 64 (G. U. 21 marzo 1974 n. 76)

"Provvedimenti per le costruzioni con particolari prescrizioni per le zone sismiche"
Indicazioni progettive per le nuove costruzioni in zone sismiche a cura del Ministero per la Ricerca scientifica - Roma 1981.

C.N.R. n. 10024/1986

"Analisi di strutture mediante elaboratore. Impostazione e Redazione delle relazioni di calcolo"

D. M. Infrastrutture Trasporti 17 gennaio 2018 (G.U. 20 febbraio 2018 n. 42 - Suppl. Ord.)

"Norme tecniche per le Costruzioni"

Inoltre, in mancanza di specifiche indicazioni, ad integrazione della norma precedente e per quanto con esse non in contrasto, sono state utilizzate le indicazioni contenute nella:

Circolare 2 febbraio 2009 n. 617 del Ministero delle Infrastrutture e dei Trasporti (G.U. 26 febbraio 2009 n. 27 – Suppl. Ord.)

"Istruzioni per l'applicazione delle 'Norme Tecniche delle Costruzioni' di cui al D.M. 14 gennaio 2008".

Eurocodice 7 – "Progettazione geotecnica" - ENV 1997-1.

3 - MATERIALI IMPIEGATI E RESISTENZE DI CALCOLO

Per la realizzazione dell'opera in oggetto saranno impiegati i seguenti materiali:

- Calcestruzzo di tipo C25/30 (Resistenza caratteristica $R_{ck} = 30 \text{ N/mm}^2$) armato con barre di acciaio ad aderenza migliorata di tipo B450C (Resistenza caratteristica $F_{yk} = 450 \text{ N/mm}^2$)

I valori dei parametri caratteristici dei suddetti materiali sono riportati nei tabulati di calcolo, nella relativa sezione.

Per ciascuna classe di calcestruzzo impiegata sono riportati i valori di:

Resistenza di calcolo a trazione (f_{cd})

Resistenza a rottura per flessione (f_{cfm})

Resistenza tangenziale di calcolo (τ_{Rd})

Modulo elastico normale (E)

Modulo elastico tangenziale (G)

Coefficiente di sicurezza allo Stato Limite Ultimo del materiale (γ_c)

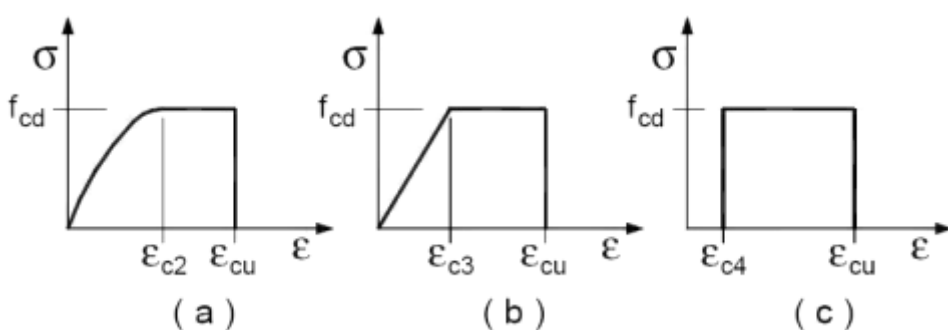
Resistenza cubica caratteristica del materiale (R_{ck})

Coefficiente di Omogeneizzazione

Peso Specifico

Coefficiente di dilatazione termica

I diagrammi costitutivi del calcestruzzo sono stati adottati in conformità alle indicazioni riportate al punto 4.1.2.1.2.1 del D.M. 17 gennaio 2018; in particolare per le verifiche effettuate a pressoflessione retta è stato adottato il modello riportato in fig. (a).



Diagrammi di calcolo tensione/deformazione del calcestruzzo.

La deformazione massima $\varepsilon_{c,max}$ è assunta pari a 0.0035.

Per l'acciaio sono riportati i valori di:

Tensione caratteristica di snervamento trazione (f_{yk})

Modulo elastico normale (E)

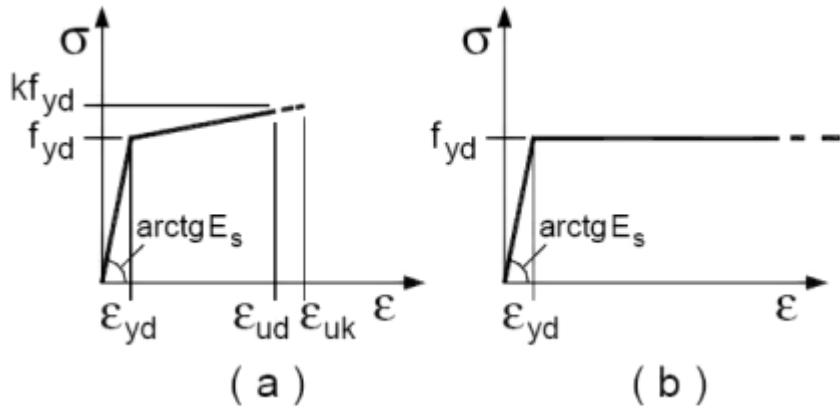
Modulo elastico tangenziale (G)

Coefficiente di sicurezza allo Stato Limite Ultimo del materiale (γ_f)

Peso Specifico

Coefficiente di dilatazione termica

I diagrammi costitutivi dell'acciaio sono stati adottati in conformità alle indicazioni riportate al punto 4.1.2.1.2.2 del D.M. 17 gennaio 2018; in particolare è stato adottato il modello elastico perfettamente plastico descritto in b).



La resistenza di calcolo è data da f_{yk} / γ_f . Il coefficiente di sicurezza γ_f si assume pari a 1.15.

Tutti i materiali impiegati dovranno essere comunque verificati con opportune prove di laboratorio secondo le prescrizioni della vigente Normativa.

4 - TERRENO DI FONDAZIONE

Le indagini effettuate, mirate alla valutazione della velocità delle onde di taglio (V_{S30}) e/o del numero di colpi dello Standard Penetration Test (NSPT), permettono di classificare il profilo stratigrafico, ai fini della determinazione dell'azione sismica, di categoria **C [Depositi di terreni a grana grossa mediamente addensati o terreni a grana fina mediamente consistenti con profondità del substrato superiori a 30 m, caratterizzati da un miglioramento delle proprietà meccaniche con la profondità e da valori di velocità equivalente compresi tra 180 m/s e 360 m/s.]**.

Tutti i parametri che caratterizzano i terreni di fondazione sono riportati nei tabulati di calcolo, nella relativa sezione. Per ulteriori dettagli si rimanda alle relazioni geologica e geotecnica.

5 - METODO DI CALCOLO DELLA SPINTA DEL TERRAPIENO

La pressione esercitata da un terreno contro un muro è simile alla spinta idrostatica; infatti, essa aumenta in funzione della profondità **h** e può essere così espressa:

$$p = K \cdot h \cdot \gamma$$

dove γ è il peso dell'unità di volume del terreno e **K** è un coefficiente che dipende dall'angolo di attrito interno, dagli angoli di inclinazione del terrapieno e del paramento del muro, dall'angolo di attrito terra-muro, nonché dal tipo di spinta che si vuole calcolare (attiva e passiva).

Esistono due modalità di calcolo della spinta:

- Spinta attiva: quando il muro subisce una rotazione, sia pure piccola, verso l'esterno (valle).
- Spinta passiva: quando il muro subisce una rotazione, sia pure piccola, premendo contro il terrapieno (monte).

Tra le varie ipotesi che si utilizzano per il calcolo della spinta, si è utilizzata quella dovuta al **Coulomb**, opportunamente modificata ed ampliata per tener conto di tutte le eventualità che possono presentarsi:

- Attrito terra-muro.
- Paramento inclinato.

- Profilo del piano di campagna di forma generica.
- Carichi distribuiti/concentrati disposti in maniera arbitraria sul profilo.
- Stratigrafia costituita da un numero illimitato di strati o lenti, costituiti da terreni coerenti e/o incoerenti.
- Falda acquifera, eventualmente inclinata.

Il metodo di Coulomb presuppone una linea di rottura piana del terreno che parte dalla base del muro; la spinta è l'integrale delle pressioni agenti calcolate lungo la verticale del cuneo di spinta.

Vengono esaminate tutte le possibili superfici di scorrimento per individuare in automatico quella per la quale la spinta è massima.

Il calcolo della distribuzione delle pressioni lungo l'altezza del paramento del muro avviene col metodo delle strisce dovuto a **Huntington**, che consiste nel considerare tante ipotetiche linee di frattura lungo l'altezza parallele a quella della superficie di scorrimento. Costruito il diagramma delle pressioni sul muro è quindi possibile trovare la risultante ed il punto di applicazione della spinta.

Questo procedimento viene applicato:

- sul cuneo che parte dal vertice in basso a monte del paramento, ciò al fine di ottenere le azioni con cui si andranno a verificare le sezioni del paramento stesso.
- sul cuneo che parte dal vertice in basso della fondazione a monte, ciò al fine di ottenere le azioni massime necessarie per le verifiche allo scorrimento e al carico limite sulla fondazione stessa.

Nel caso di presenza di falda acquifera retrostante al muro e assenza di drenaggio, se ne tiene conto sia nel calcolo della spinta che nella verifica a carico limite della fondazione, considerando la sottospinta di galleggiamento.

Per quanto riguarda le azioni sismiche, per ognuna delle strisce prima menzionate e per ogni spinta ad esse afferente, viene calcolato il corrispondente incremento sismico valutando la massa della striscia e moltiplicandola per il coefficiente sismico orizzontale k_h .

6 - VALUTAZIONE DELL'AZIONE SISMICA

La valutazione della spinta del terreno in zona sismica, secondo quanto prevede il D.M. 17 gennaio 2018 "Norme tecniche per le Costruzioni" al § 3.2.3 e al § 7.11.6.2.1, è stata eseguita utilizzando metodi *pseudo-statici*.

In particolare il procedimento per la definizione dei parametri sismici di progetto per i vari Stati Limite per cui sono state effettuate le verifiche è stato il seguente:

- definizione della Vita Nominale e della Classe d'Uso della struttura, il cui uso combinato ha portato alla definizione del Periodo di Riferimento dell'azione sismica.
- Individuazione, tramite latitudine e longitudine, dei parametri sismici di base a_g , F_0 e T_c^* per tutti e quattro gli Stati Limite previsti (SLO, SLD, SLV e SLC); l'individuazione è stata effettuata interpolando tra i 4 punti più vicini al punto di riferimento dell'edificio.
- Determinazione dei coefficienti d'amplificazione stratigrafica e topografica.
- Calcolo del periodo T_c corrispondente all'inizio del tratto a velocità costante dello Spettro.

L'utilizzo di metodi pseudo-statici, consente di ricondurre l'azione sismica, che è un'azione dinamica variabile nel tempo e nello spazio, ad un insieme di forze statiche equivalenti, orizzontali e verticali, mediante l'utilizzo di coefficienti sismici, che dipendono dalla zona sismica, dalle condizioni locali e dall'entità degli spostamenti ammessi per l'opera considerata. Tali coefficienti vengono utilizzati, oltre che per valutare le forze di inerzia sull'opera, anche per determinare la spinta retrostante il muro, mediante l'utilizzo della teoria di Mononobe Okabe.

Come specificato al § 7.11.6.2.1, in assenza di studi specifici, i coefficienti sismici orizzontale k_h e verticale k_v , devono essere calcolati come:

$$k_h = \beta_m \cdot \frac{a_{\max}}{g} \quad [7.11.6]$$

$$k_v = \pm 0.5 \cdot k_h \quad [7.11.7]$$

dove:

a_{\max} = accelerazione orizzontale massima attesa al sito.

In assenza di analisi specifiche della risposta sismica locale, l'accelerazione massima è valutata con la relazione:

$$a_{\max} = S_s \cdot S_T \cdot a_g \quad [7.11.8]$$

dove:

S = coefficiente che comprende l'effetto dell'amplificazione stratigrafica (S_s) e dell'amplificazione topografica (S_T), di cui al §3.2.3.2;

a_g = accelerazione orizzontale massima attesa su sito di riferimento rigido.

Nella precedente espressione, il coefficiente β_m di riduzione dell'accelerazione massima attesa al sito è pari a:

$\beta_m = 0.38$ nelle verifiche allo stato limite ultimo (SLV)

$\beta_m = 0.47$ nelle verifiche allo stato limite di esercizio (SLD)

Lo stato limite di ribaltamento è trattato impiegando coefficienti parziali unitari sulle azioni e sui parametri geotecnici (§ 7.11.1) e utilizzando valori di β_m incrementati del 50% rispetto a quelli innanzi indicati e comunque non superiori all'unità.

Si riportano di seguito le coordinate geografiche del sito ed i relativi dati di pericolosità sismica:

Latitudine: $41^\circ 9' 55.00''$ Longitudine: $14^\circ 52' 48.00''$ Altitudine: 349

DATI GENERALI ANALISI SISMICA

TP	Coef Ampl Topog	Dati generali analisi sismica						
		β_s	β_m	K _{Stbl}	K _{Muro}	Latitudine	Longitudine	Altitudine
C	1,20	0,28	0,38	0,13	0,18	$41^\circ 9' 55.00''$ [gradi]	$14^\circ 52' 48.00''$ [gradi]	349 [m]

Classe Edificio	Vita Nominale	Periodo di Riferimento	Dati generali analisi sismica		
			[adim]	[anni]	[anni]
			3	50	75

SL	Tr	Ag	Ss	F0	T*c
[adim]	[anni]	[adim]	[adim]	[adim]	[s]
SLO	45	0,0790	1,500	2,354	0,293
SLD	75	0,1041	1,500	2,326	0,317
SLV	712	0,3185	1,260	2,300	0,384
SLC	1462	0,4228	1,103	2,351	0,407

LEGENDA Dati generali analisi sismica

TP

Tipo terreno prevalente, categoria di suolo di fondazione come definito al punto 3.2.2 delle Norme tecniche per le costruzioni.

Coef Ampl Topog

Coefficiente di amplificazione topografica.

β_s

Coefficiente di riduzione di accelerazione massima per Verifica di stabilità'.

β_m

Coefficiente di riduzione di accelerazione massima per Muro di sostegno.

K_{Stbl}

Coefficiente per il calcolo della spinta per Verifica di stabilita'.

K_{Muro}

Coefficiente per il calcolo della spinta per Muro di sostegno.

Latitudine

Latitudine geografica del sito [gradi].

Longitudine

Longitudine geografica del sito [gradi].

Altitudine

Altitudine geografica del sito sul livello medio del mare [m].

7 - SCENARI DI CARICO

I calcoli e le verifiche sono condotti con il metodo semiprobabilistico degli stati limite secondo le indicazioni del D.M. 17 gennaio 2018.

Le azioni introdotte direttamente sono combinate con le altre (carichi permanenti, accidentali e sisma) mediante le combinazioni di carico di seguito descritte. Da esse si ottengono i valori probabilistici da impiegare successivamente nelle verifiche.

La **verifica di stabilità globale** del complesso opera di sostegno-terreno deve essere effettuata, analogamente a quanto previsto al § 6.8, secondo l'**Approccio 1**, con la **Combinazione 2 (A2+M2+R2)**, tenendo conto dei coefficienti parziali riportati nelle Tabelle 6.2.I e 6.2.II per le azioni e i parametri geotecnici e nella Tab. 6.8.I per le verifiche di sicurezza di opere di materiali sciolti e fronti di scavo.

Le rimanenti verifiche devono essere effettuate secondo l'**Approccio 2**, con la **combinazione (A1+M1+R3)**, tenendo conto dei valori dei coefficienti parziali riportati nelle Tabelle 6.2.I, 6.2.II e 6.5.I.

Nella verifica a ribaltamento i coefficienti R3 della Tab. 6.5.I si applicano agli effetti delle azioni stabilizzanti.

Tab. 6.2.II – Coefficienti parziali per i parametri geotecnici del terreno

PARAMETRO	Grandezza alla quale applicare il coefficiente parziale	Coefficiente parziale γ_m	M1	M2
Tangente dell'angolo di resistenza al taglio	$\tan \varphi'$	γ_φ'	1.00	1.25
Coesione efficace	c'_k	$\gamma_{c'}$	1.00	1.25
Resistenza non drenata	c_{uk}	γ_{cu}	1.00	1.40

Tab. 6.5.I – Coefficienti parziali γ_R per le verifiche agli stati limite ultimi STR e GEO di muri di sostegno.

VERIFICA	Coefficiente parziale γ_R (R3)
Capacità portante della fondazione	1.4
Scorrimento	1.1
Ribaltamento	1.5
Resistenza del terreno a valle	1.4

Nelle verifiche di sicurezza per effetto delle azioni sismiche si controlla che la resistenza del sistema sia maggiore delle azioni nel rispetto della condizione [6.2.1], ponendo pari all'unità i coefficienti parziali sulle azioni e sui parametri geotecnici (§ 7.11.1) e impiegando le resistenze di progetto con i coefficienti parziali γ_R indicati nella tabella 7.11.III.

Tab. 7.11.III – Coefficienti parziali γ_R per le verifiche agli stati limite ultimi (SLV) dei muri di sostegno.

VERIFICA	Coefficiente parziale γ_R
Capacità portante della fondazione	1.2
Scorrimento	1.0
Ribaltamento	1.0

Sono stati considerati i seguenti Stati Limite.

7.1 Stato Limite Ultimo e di Salvaguardia della Vita

Le azioni sulla costruzione sono state cumulate in modo da determinare condizioni di carico tali da risultare più sfavorevoli ai fini delle singole verifiche, tenendo conto della probabilità ridotta di intervento simultaneo di tutte le azioni con i rispettivi valori più sfavorevoli, come consentito dalle norme vigenti.

Per gli stati limite ultimi sono state adottate le combinazioni del tipo:

$$\gamma_{G1} \cdot G_1 + \gamma_{G2} \cdot G_2 + \gamma_P \cdot P + \gamma_{Q1} \cdot Q_{k1} + \gamma_{Q2} \cdot \psi_{02} \cdot Q_{k2} + \gamma_{Q3} \cdot \psi_{03} \cdot Q_{k3} + \dots$$

dove:

- G_1 rappresenta il peso proprio di tutti gli elementi strutturali; peso proprio del terreno, quando pertinente; forze indotte dal terreno (esclusi gli effetti di carichi variabili applicati al terreno); forze risultanti dalla pressione dell'acqua (quando si configurino costanti nel tempo);
- G_2 rappresenta il peso proprio di tutti gli elementi non strutturali;
- P rappresenta pretensione e precompressione;
- Q azioni sulla struttura o sull'elemento strutturale con valori istantanei che possono risultare sensibilmente diversi fra loro nel tempo:
 - di lunga durata: agiscono con un'intensità significativa, anche non continuativamente, per un tempo non trascurabile rispetto alla vita nominale della struttura;
 - di breve durata: azioni che agiscono per un periodo di tempo breve rispetto alla vita nominale della struttura;
- Q_{ki} rappresenta il valore caratteristico della i -esima azione variabile;
- $\gamma_G, \gamma_Q, \gamma_P$ coefficienti parziali come definiti nella Tab. 6.2.I del DM 17 gennaio 2018;
- ψ_{0i} sono i coefficienti di combinazione per tenere conto della ridotta probabilità di concomitanza delle azioni variabili con i rispettivi valori caratteristici.

Tab. 6.2.I D.M 17/01/2018

CARICHI	EFFETTO	Coefficiente γ_F (o γ_E)	EQU	(A1) STR	(A2) GEO
Carichi permanenti	favorevoli	γ_{G1}	0.9	1.0	1.0
	sfavorevoli		1.1	1.3	1.0
Carichi permanenti non strutturali ⁽¹⁾	favorevoli	γ_{G21}	0.8	0.8	0.8
	sfavorevoli		1.5	1.5	1.3
Carichi variabili	favorevoli	γ_{Qi}	0.0	0.0	0.0
	sfavorevoli		1.5	1.5	1.3

⁽¹⁾ Nel caso in cui i carichi permanenti non strutturali (ad es. carichi permanenti portati) siano compiutamente definiti si potranno adottare per essi gli stessi coefficienti validi per le azioni permanenti.

Le combinazioni risultanti sono state costruite a partire dalle sollecitazioni caratteristiche calcolate per ogni condizione di carico elementare: ciascuna condizione di carico accidentale, a rotazione, è stata considerata sollecitazione di base (Q_{k1} nella formula precedente).

I coefficienti relativi a tali combinazioni di carico sono riportati negli allegati tabulati di calcolo.

In zona sismica, oltre alle sollecitazioni derivanti dalle generiche condizioni di carico statiche, devono essere considerate anche le sollecitazioni derivanti dal sisma. L'azione sismica è stata combinata con le altre azioni secondo la seguente relazione:

$$G_1 + G_2 + P + E + \sum_i \psi_{2i} \cdot Q_{ki}$$

dove:

E	azione sismica per lo stato limite e per la classe di importanza in esame;
G ₁	rappresenta peso proprio di tutti gli elementi strutturali;
G ₂	rappresenta il peso proprio di tutti gli elementi non strutturali;
P _k	rappresenta pretensione e precompressione;
ψ_{2i}	coefficiente di combinazione delle azioni variabili Q _i ;
Q _{ki}	valore caratteristico dell'azione variabile Q _i .

I valori dei coefficienti ψ_{2i} sono riportati nella seguente tabella:

Categoria/Azione	ψ_{2i}
Categoria A – Ambienti ad uso residenziale	0,3
Categoria B – Uffici	0,3
Categoria C – Ambienti suscettibili di affollamento	0,6
Categoria D – Ambienti ad uso commerciale	0,6
Categoria E – Biblioteche, archivi, magazzini e ambienti ad uso industriale	0,8
Categoria F – Rimesse e parcheggi (per autoveicoli di peso ≤ 30 kN)	0,6
Categoria G – Rimesse e parcheggi (per autoveicoli di peso > 30 kN)	0,3
Categoria H – Coperture accessibili per sola manutenzione	0,0
Categoria I – Coperture praticabili	da valutarsi caso per caso
Vento	0,0
Neve (a quota ≤ 1000 m s.l.m.)	0,0
Neve (a quota > 1000 m s.l.m.)	0,2
Variazioni termiche	0,0

7.2 Stati Limite di Esercizio

Allo Stato Limite di Esercizio le sollecitazioni con cui sono state semiprogettate le aste in c.a. sono state ricavate applicando le formule riportate nel D.M. 17 gennaio 2018 - Norme tecniche per le costruzioni - al punto 2.5.3. Per le verifiche agli stati limite di esercizio, a seconda dei casi, si fa riferimento alle seguenti combinazioni di carico:

combinazione caratteristica o rara
$$F_d = \sum_{j=1}^m (G_{kj}) + Q_{k1} + \sum_{i=2}^n (\psi_{0i} \cdot Q_{ki}) + \sum_{h=1}^l (P_{kh})$$

combinazione frequente
$$F_d = \sum_{j=1}^m (G_{kj}) + \psi_{11} \cdot Q_{k1} + \sum_{i=2}^n (\psi_{2i} \cdot Q_{ki}) + \sum_{h=1}^l (P_{kh})$$

combinazione quasi permanente
$$F_d = \sum_{j=1}^m (G_{kj}) + \psi_{21} \cdot Q_{k1} + \sum_{i=2}^n (\psi_{2i} \cdot Q_{ki}) + \sum_{h=1}^l (P_{kh})$$

dove:

G _{kj}	valore caratteristico della j-esima azione permanente;
P _{kh}	valore caratteristico della h-esima deformazione impressa;
Q _{k1}	valore caratteristico dell'azione variabile di base di ogni combinazione;
Q _{ki}	valore caratteristico della i-esima azione variabile;
ψ_{0i}	coefficiente atto a definire i valori delle azioni ammissibili di durata breve ma ancora significativi nei riguardi della possibile concomitanza con altre azioni variabili;
ψ_{1i}	coefficiente atto a definire i valori delle azioni ammissibili ai frattili di ordine 0,95 delle distribuzioni dei valori istantanei;
ψ_{2i}	coefficiente atto a definire i valori quasi permanenti delle azioni ammissibili ai valori medi delle distribuzioni dei valori istantanei.

Ai coefficienti ψ_{0i} , ψ_{1i} , ψ_{2i} sono attribuiti i seguenti valori:

Azione	Ψ_{0i}	Ψ_{1i}	Ψ_{2i}
Categoria A – Ambienti ad uso residenziale	0,7	0,5	0,3
Categoria B – Uffici	0,7	0,5	0,3
Categoria C – Ambienti suscettibili di affollamento	0,7	0,7	0,6
Categoria D – Ambienti ad uso commerciale	0,7	0,7	0,6
Categoria E – Biblioteche, archivi, magazzini e ambienti ad uso industriale	1,0	0,9	0,8
Categoria F – Rimesse e parcheggi (per autoveicoli di peso ≤ 30 kN)	0,7	0,7	0,6
Categoria G – Rimesse e parcheggi (per autoveicoli di peso > 30 kN)	0,7	0,5	0,3
Categoria H – Coperture	0,0	0,0	0,0
Categoria I – Coperture praticabili	da valutarsi caso per caso		
Vento	0,6	0,2	0,0
Neve (a quota ≤ 1000 m s.l.m.)	0,5	0,2	0,0
Neve (a quota > 1000 m s.l.m.)	0,7	0,5	0,2
Variazioni termiche	0,6	0,5	0,0

In maniera analoga a quanto illustrato nel caso dello SLU le combinazioni risultanti sono state costruite a partire dalle sollecitazioni caratteristiche calcolate per ogni condizione di carico; a turno ogni condizione di carico variabile è stata considerata sollecitazione di base, con ciò dando origine a tanti valori combinati. Per ognuna delle combinazioni ottenute, in funzione dell'elemento, sono state effettuate le verifiche allo SLE (tensioni, deformazioni e fessurazione).

Negli allegati tabulati di calcolo sono riportanti i coefficienti relativi alle combinazioni di calcolo generate relativamente alle combinazioni di azioni "Quasi Permanente", "Frequente" e "Rara".

Nelle sezioni relative alle verifiche allo SLE dei citati tabulati, inoltre, sono riportati i valori delle sollecitazioni relativi alle combinazioni che hanno originato i risultati più gravosi.

8 - VERIFICHE

8.1 Verifica a Ribaltamento

Nella verifica a ribaltamento è stato scelto come punto di rotazione il vertice in basso a valle della fondazione.

- Il Momento Ribaltante è dovuto alla componente orizzontale della spinta, all'incremento sismico di essa e ad eventuali carichi esterni che possono contribuire al ribaltamento.
- Il Momento Stabilizzante è dovuto al peso proprio del muro, del terreno su esso agente, ad eventuali carichi esterni che possono contribuire alla stabilità ed ai tiranti.

Il coefficiente di sicurezza è dato dal rapporto Momento Stabilizzante/Momento Ribaltante. Tale valore è stato calcolato per tutte le combinazioni di carico previste dall'approccio adottato, considerando il sistema come un corpo rigido.

8.2 Verifica a Scorrimento

Nella verifica a scorrimento sono state prese in considerazione tutte le forze agenti che innescano un meccanismo di traslazione lungo il piano di posa della fondazione per superamento dei limiti di attrito e coesione, tenendo conto dell'inclinazione del piano di posa e dell'eventuale presenza di speroni.

La **Forza Agente** è la spinta con i suoi incrementi sismici ed eventuali forze esterne che agiscono nello stesso verso.

La **Forza Resistente** è rappresentata dall'attrito e dalla coesione agente sulla fondazione, dalla presenza di tiranti e di pali, da particolari costruttivi quali gli speroni che servono ad aumentare la resistenza allo scorrimento oltre ad eventuali forze esterne che agiscono nello stesso verso.

Il coefficiente di sicurezza è dato dal rapporto Forza Resistente/Forza Agente. Tale valore è stato calcolato per tutte le combinazioni di carico previste dall'approccio adottato e il rapporto più gravoso, in relazione al corrispondente coefficiente R, dipendente dall'approccio e dalla combinazione considerata, è stato riportato come Coefficiente di Sicurezza a Scorrimento.

8.3 Verifica a Carico Limite

È stato calcolato il carico limite secondo la metodologia dovuta al **Terzaghi**, considerando la profondità d'interramento della fondazione, la stratigrafia degli strati sotto la fondazione, l'eventuale presenza della falda idrica, l'inclinazione del piano di posa della fondazione, l'inclinazione e l'eccentricità dei carichi esterni.

Il coefficiente di sicurezza è dato dal rapporto Carico Limite / Carichi Agenti. Tale valore è stato calcolato per tutte le combinazioni di carico previste dall'approccio adottato e il rapporto più gravoso, in relazione al corrispondente coefficiente R, dipendente dall'approccio e dalla combinazione considerata, è stato riportato come Coefficiente di Sicurezza a Carico Limite.

8.4 Verifica di Stabilità Globale

Per la verifica di stabilità globale è stato assimilato tutto il complesso muro-terreno ad un pendio. Esso deve essere al sicuro da fenomeni d'instabilità che in genere si sviluppano su superfici di scorrimento assimilabili a circonference.

Sono state ipotizzate varie superfici di scorrimento in modo da interessare tutta la parte di terreno potenzialmente soggetta ad instabilità. Sono state escluse le superfici che intercettano il muro, i pali e i tiranti. Per ognuna di esse sono state calcolate le forze motrici e le forze resistenti.

Il calcolo è stato effettuato secondo i metodi classici di **Fellenius** o di **Bishop**, suddividendo il complesso terreno-muro incluso nel cerchio in esame in settori verticali sufficientemente piccoli, e calcolando le forze resistenti per attrito e coesione alla base, che si oppongono alla forza di scorrimento del settore. Il coefficiente di sicurezza in condizioni statiche (NON sismiche) è dato dal rapporto fra le forze resistenti e quelle motrici. Tale valore è stato calcolato per tutte le combinazioni di carico previste dall'approccio 1 Combinazione 2 (A2+M2+R2), tenendo conto dei coefficienti parziali riportati nelle Tabelle 6.2.I e 6.2.II per le azioni e i parametri geotecnici e nella Tab. 6.8.I per le verifiche di sicurezza di opere di materiali sciolti e fronti di scavo. Le verifiche di sicurezza per effetto delle azioni sismiche, invece, si controlla che la resistenza del sistema sia maggiore delle azioni (condizione [6.2.1]), ponendo pari all'unità i coefficienti parziali sulle azioni e sui parametri geotecnici (§ 7.11.1) e impiegando le resistenze di progetto calcolate con un coefficiente parziale pari a $\gamma_R = 1.2$.

L'azione sismica è stata valutata come previsto dal D.M. 17.01.2018 al § 7.11.3.5.2.

8.5 Progetto e Verifica degli elementi strutturali

Le sollecitazioni per le successive verifiche vengono calcolate in una serie di sezioni predefinite sia sul paramento che sulla fondazione a monte ed a valle (muri a mensola).

Esse sono in genere a passo costante, ma se esistono delle singolarità, come ad es. gradoni, speroni, mensole esse vengono opportunamente posizionate in corrispondenza di tali punti.

La verifica degli elementi allo SLU avviene col seguente procedimento:

- si costruiscono le combinazioni in base al D.M. 17.01.2018, ottenendo un insieme di sollecitazioni;
- si combinano tali sollecitazioni con quelle dovute all'eventuale azione del sisma.
- per sollecitazioni semplici (flessione retta, taglio, etc.) si individuano i valori minimo e massimo con cui progettare o verificare l'elemento considerato; per sollecitazioni composte (pressoflessione retta/deviata) vengono eseguite le verifiche per tutte le possibili combinazioni e solo a seguito di ciò si individua quella che ha originato il minimo coefficiente di sicurezza.

Per quanto concerne il progetto degli elementi in c.a. illustriamo in dettaglio il procedimento seguito in presenza di pressoflessione retta, utilizzato per verificare le seguenti sezioni:

- Paramento: attacco con la fondazione, a mezza altezza e ad ogni variazione non continua di sezione.

- Fondazione: le due sezioni, rispettivamente a valle e a monte, di attacco con il Paramento.
- Mensola: la sezione di attacco con il Paramento.
- Sperone: la sezione di attacco con la Fondazione.

Viene ipotizzata un'armatura iniziale che rispetti i minimi normativi, quindi per tutte le coppie (N, M_x), individuate secondo la modalità precedentemente illustrata, si calcola il momento ultimo in funzione di N, quindi il coefficiente di sicurezza rapportando tale momento ultimo a M_x.

Se per almeno una di queste coppie il coefficiente di sicurezza risulta inferiore a 1 si incrementa l'armatura e si ripete il procedimento fino a che per tutte le coppie (N, M_x) il coefficiente di sicurezza risulta al più pari a 1.

Nei tabulati di calcolo, per brevità, non potendo riportare una così grossa mole di dati, si riporta la coppia (N, M_x) che ha dato luogo al minimo coefficiente di sicurezza.

Una volta semiprogettate le armature allo SLU, si procede alla verifica delle sezioni allo Stato Limite di Esercizio con le sollecitazioni derivanti dalle combinazioni rare, frequenti e quasi permanenti; se necessario, le armature vengono integrate per far rientrare le tensioni entro i massimi valori previsti.

Successivamente si procede alle verifiche alla deformazione, quando richiesto, ed alla fessurazione che, come è noto, sono tese ad assicurare la durabilità dell'opera nel tempo.

Per quanto riguarda le verifiche al Taglio è stata utilizzata la formulazione [4.1.23] riportata al § 4.1.2.3.5.1 valida per elementi senza armatura resistente a taglio in quanto non sono state utilizzate armature specifiche per l'assorbimento del taglio. Anche qui per tutte le combinazioni di carico è stata controllata la relazione [4.1.22] ed è stato riportato il minimo coefficiente di sicurezza fra tutti i rapporti V_{Rd}/V_{Ed} .

8.6 Modello di Calcolo

Il modello della struttura viene creato automaticamente dal codice di calcolo, individuando i vari elementi strutturali e fornendo le loro caratteristiche geometriche e meccaniche.

Il calcolo delle sollecitazioni è eseguito in due modi diversi a seconda della tipologia di muri scelta:

- **muro senza contrafforti:** viene eseguito il calcolo a mensola sia per il paramento che per la fondazione considerando la striscia di un metro.
- **muro con contrafforti:** le porzioni di paramento e di fondazione comprese fra due contrafforti vengono trattate come piastre vincolate su tre lati.

Nel modello di calcolo, i seguenti elementi sono stati schematizzati nel seguente modo:

- **terreno:** letto di molle reagenti solo a compressione (suolo elastico monodirezionale);
- **pali:** molle concentrate reagenti a trazione/compressione e a momento;
- **micropali:** molle concentrate reagenti a trazione/compressione;
- **tiranti:** molle concentrate reagenti a sola trazione, col loro eventuale sforzo di pretensione.

9 - CODICE DI CALCOLO IMPIEGATO

9.1 Denominazione

Nome del Software	GeoMurus
Versione	8.00b
Caratteristiche del Software	Software per la progettazione ed il calcolo dei muri di sostegno per Windows

Numero di serie	17020152
Intestatario Licenza	GENERAL ENGINEERING s.r.l.
Produzione e Distribuzione	ACCA software S.p.A. Contrada Rosole 13 83043 BAGNOLI IRPINO (AV) - Italy Tel. 0827/69504 r.a. - Fax 0827/601235 e-mail: info@acca.it - Internet: www.acca.it

9.2 Sintesi delle funzionalità generali

Il pacchetto consente di modellare la struttura, di effettuare il dimensionamento e le verifiche di tutti gli elementi strutturali e di generare gli elaborati grafici esecutivi.

È una procedura integrata dotata di tutte le funzionalità necessarie per consentire il calcolo completo di un muro di sostegno.

L'input della struttura avviene per oggetti (paramento, fondazione, scarpa, contrafforte, mensola, sperone, pali, tiranti, etc.) in un ambiente grafico integrato.

Apposite funzioni consentono la creazione e la manutenzione di archivi Materiali, Terreni e Carichi; tali archivi sono generali, nel senso che sono creati una tantum e sono pronti per ogni calcolo, potendoli comunque integrare/modificare in ogni momento.

L'utente non può modificare il codice ma soltanto eseguire delle scelte come:

- modificare i parametri necessari alla definizione dell'azione sismica;
- definire condizioni di carico.

Il programma è dotato di un manuale tecnico ed operativo. L'assistenza è effettuata direttamente dalla casa produttrice, mediante linea telefonica o e-mail.

Tutti i risultati del calcolo sono forniti, oltre che in formato numerico, anche in formato grafico permettendo così di evidenziare agevolmente eventuali incongruenze.

Il programma consente la stampa di tutti i dati di input, dei dati del modello strutturale utilizzato, dei risultati del calcolo e delle verifiche dei diagrammi delle sollecitazioni e delle deformate.

10 - TABULATI DI CALCOLO

Per quanto non espressamente sopra riportato, ed in particolar modo per ciò che concerne i dati numerici di calcolo, si rimanda all'allegato "Tabulati di calcolo" costituente parte integrante della presente relazione.

11 - DESCRIZIONE GENERALE DELL'OPERA

La presente relazione geotecnica riguarda le indagini, la caratterizzazione e modellazione geotecnica del "volume significativo" per l'opera in esame e valuta l'interazione opera / terreno ai fini del dimensionamento delle relative fondazioni.

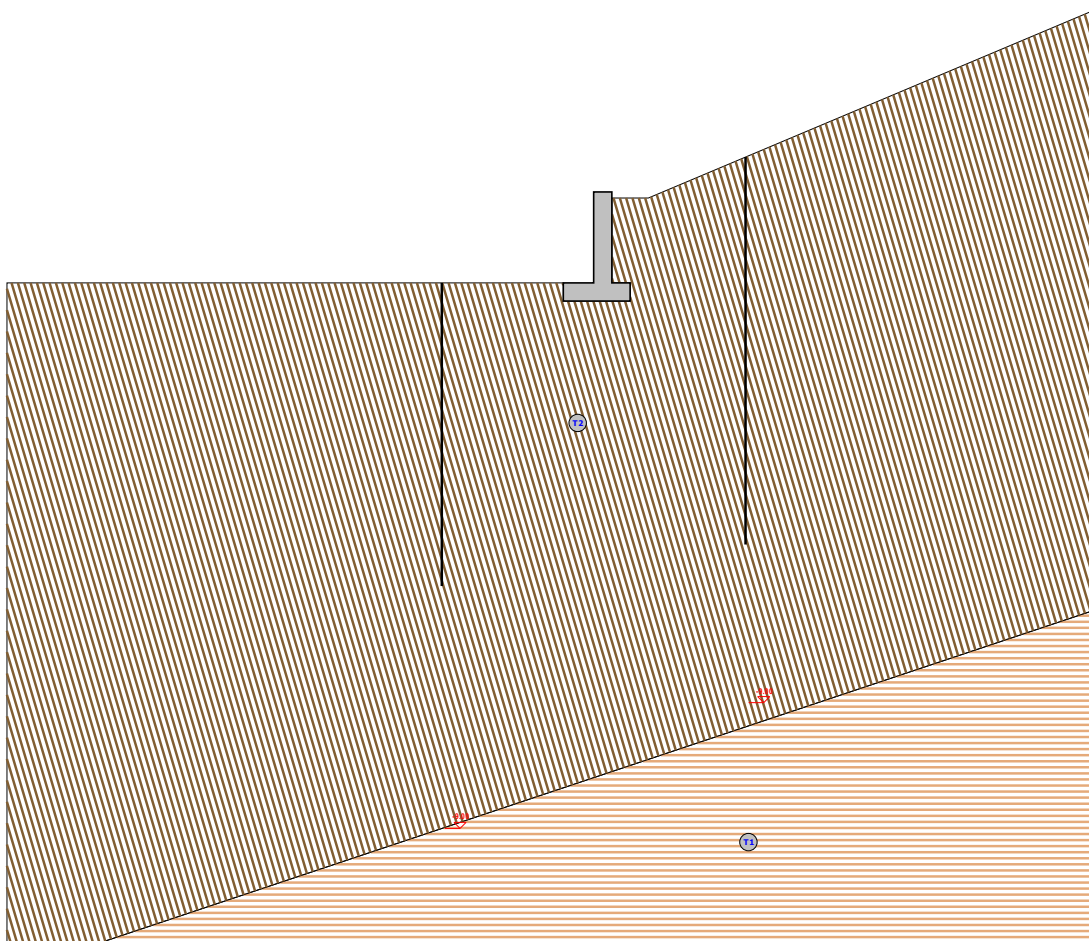
Questa relazione è stata redatta dal tecnico sulla base dei dati risultanti dalle prove di campagna e/o di laboratorio.

12 - INDAGINI GEOGNOSTICHE

Sulla base di quanto dettagliato nella relazione geologica dell'area di sito, si è proceduto alla progettazione della campagna di indagini geognostiche finalizzate alla determinazione delle caratteristiche geotecniche dei terreni interessati dal "volume significativo" dell'opera in esame.

Al fine della determinazione delle caratteristiche geotecniche dei terreni coinvolti nel "volume significativo" dell'opera in esame, sono state condotte delle prove geotecniche, riassunte nella relazione geologica.

Le indagini realizzate hanno permesso di ricostruire le seguenti stratigrafie per ognuna delle quali sono state definite le proprietà geotecniche dei singoli terreni coinvolti.



Strato	Descrizione	g	γ'_n	f	Cu	C'
T1	Argilla sabbiosa	20000	22000	23.0°	0.02	0.02
T2	Unità B	16000	22000	29.0°	0.01	0.01

Vista Strati

13 - CARATTERIZZAZIONE GEOTECNICA, MODELLAZIONE GEOTECNICA E PERICOLOSITÀ SISMICA DEL SITO

Le indagini effettuate, permettono di classificare il profilo stratigrafico, ai fini della determinazione dell'azione sismica, di categoria **C** [Depositi di terreni a grana grossa mediamente addensati o terreni a grana fina mediamente consistenti con profondità del substrato superiori a 30 m, caratterizzati da un miglioramento delle proprietà meccaniche con la profondità e da valori di velocità equivalente compresi tra 180 m/s e 360 m/s.], basandosi sulla valutazione della velocità delle onde di taglio (V_{S30}) e/o del numero di colpi dello Standard Penetration Test (N_{SPT}) e/o della resistenza non drenata equivalente ($C_{u,30}$).

Tutti i parametri che caratterizzano i terreni di fondazione sono riportati nei seguenti paragrafi.

13.1 Caratterizzazione geotecnica

La caratterizzazione geotecnica dei terreni è riassunta nella seguente tabella:

TERRENI

N	Descrizione	Terreni								
		γ [N/m ³]	γ_{saturo} [N/m ³]	ϕ [°ssdc]	C_u [N/mm ²]	C' [N/mm ²]	Ed [N/mm ²]	Costante di sottofondo		
								X [N/cm ³]	Y [N/cm ³]	Z [N/cm ³]
1	Unità B	16000	22000	29	0,01	0,01	55	30	30	90
2	Argilla sabbiosa	20000	22000	23	0,02	0,02	10	12	12	36

LEGENDA Terreni

N	Numero identificativo del terreno.
Descrizione	Descrizione del terreno.
γ	Peso per unità di volume [N/m ³].
γ_{saturo}	Peso per unità di volume saturo [N/m ³].
ϕ	Angolo di attrito [°ssdc].
C_u	Coesione [N/mm ²].
C'	Coesione Efficace [N/mm ²].
Ed	Modulo edometrico[N/mm ²].
Costante di sottofondo	Valori della costante di sottofondo del terreno nelle direzioni degli assi del riferimento globale X, Y, e Z.

13.2 Modellazione geotecnica

Ai fini del calcolo strutturale, il terreno sottostante l'opera viene modellato secondo lo schema di Winkler, cioè un sistema costituito da un letto di molle elastiche mutuamente indipendenti. Ciò consente di ricavare le rigidezze offerte dai manufatti di fondazione, siano queste profonde o superficiali, che sono state introdotte direttamente nel modello strutturale per tener conto dell'interazione opera / terreno.

13.3 Pericolosità sismica

Ai fini della pericolosità sismica sono stati analizzati i dati relativi alla sismicità dell'area di interesse e ad eventuali effetti di amplificazione stratigrafica e topografica. Si sono tenute in considerazione anche la classe dell'edificio e la vita nominale.

Per tale caratterizzazione si riportano di seguito i dati di pericolosità come da normativa:

DATI GENERALI ANALISI SISMICA

Dati generali analisi sismica								
TP	Coef Ampl Topog	β_s	β_m	K _{Stbl}	K _{Muro}	Latitudine	Longitudine	Altitudine
C	1,20	0,28	0,38	0,13	0,18	41° 9' 55.00"	14° 52' 48.00"	349

Classe Edificio	Vita Nominale	Periodo di Riferimento
[adim]	[anni]	[anni]
3	50	75

SL	Tr	Ag	Ss	F0	T*c
[adim]	[anni]	[adim]	[adim]	[adim]	[s]
SLO	45	0,0790	1,500	2,354	0,293
SLD	75	0,1041	1,500	2,326	0,317
SLV	712	0,3185	1,260	2,300	0,384
SLC	1462	0,4228	1,103	2,351	0,407

LEGENDA Dati generali analisi sismica

TP	Tipo terreno prevalente, categoria di suolo di fondazione come definito al punto 3.2.2 delle Norme tecniche per le costruzioni.
Coef Ampl Topog	Coefficiente di amplificazione topografica.
β_s	Coefficiente di riduzione di accelerazione massima per Verifica di stabilità'.
β_m	Coefficiente di riduzione di accelerazione massima per Muro di sostegno.
K _{Stbl}	Coefficiente per il calcolo della spinta per Verifica di stabilità'.
K _{Muro}	Coefficiente per il calcolo della spinta per Muro di sostegno.
Latitudine	Latitudine geografica del sito [gradi].
Longitudine	Longitudine geografica del sito [gradi].
Altitudine	Altitudine geografica del sito sul livello medio del mare [m].

14 - SCELTA TIPOLOGICA DELLE OPERE DI FONDAZIONE

La tipologia delle opere di fondazione sono consone alle caratteristiche meccaniche del terreno definite in base ai risultati delle indagini geognostiche.

Nel caso in esame, la struttura di fondazione è costituita da:

- fondazioni dirette

15 - VERIFICHE DI SICUREZZA

Nelle verifiche allo stato limite ultimo deve essere rispettata la condizione:

$$E_d \leq R_d$$

dove:

E_d è il valore di progetto dell'azione o dell'effetto dell'azione;

R_d è il valore di progetto della resistenza del sistema geotecnico.

Le verifiche di sicurezza sono state condotte, con riferimento all'**APPROCCIO 2 Combinazione (A1+M1+R3)**, sulla base delle tipologie di fondazioni descritte nel paragrafo precedente.

Le azioni sono ottenute, applicando ai valori caratteristici delle stesse, i coefficienti parziali γ_F di cui nella tabella 6.2.I delle NTC 2018, che vengono di seguito riportati.

CARICHI	EFFETTO	Coefficiente	A1
---------	---------	--------------	----

		parziale γ_F (o γ_E)	(STR)
Permanenti	Favorevole	γ_{G1}	1.0
	Sfavorevole		1.3
Permanenti non strutturali	Favorevole	γ_{G2}	0.8
	Sfavorevole		1.5
Variabili	Favorevole	γ_{Qi}	0.0
	Sfavorevole		1.5

Il valore di progetto della resistenza R_d è determinato in modo analitico con riferimento al valore caratteristico dei parametri geotecnici del terreno, diviso per il valore del coefficiente parziale γ_M , specificato nella tabella 6.2.II delle NTC 2018, e tenendo conto, ove necessario, dei coefficienti parziali γ_R specifici per ciascun tipo di opera come specificato nella tabella 6.5.I delle NTC 2018.

Tab. 6.2.II – Coefficienti parziali per i parametri geotecnici del terreno

PARAMETRO	Grandezza alla quale applicare il coefficiente parziale	Coefficiente parziale γ_M	M1
Tangente dell'angolo di resistenza al taglio	$\tan \phi'$	γ_ϕ'	1.0
Coesione efficace	c'	$\gamma_{c'}$	1.00
Resistenza non drenata	$C_u k$	γ_{cu}	1.00

Tab. 6.5.I – Coefficienti parziali γ_R per le verifiche agli stati limite ultimi STR e GEO di muri di sostegno

VERIFICA	Coefficiente parziale γ_R (R3)
Capacità portante della fondazione	1.4
Scorrimento	1.1
Ribaltamento	1.15
Resistenza del terreno a valle	1.4

Nelle verifiche di sicurezza per effetto delle azioni sismiche si deve controllare che la resistenza del sistema sia maggiore delle azioni nel rispetto della condizione [6.2.1], ponendo pari all'unità i coefficienti parziali sulle azioni e sui parametri geotecnici (§ 7.11.1) e impiegando le resistenze di progetto con i coefficienti parziali γ_R indicati nella tabella 7.11.III.

Tab. 7.11.III – Coefficienti parziali γ_R per le verifiche agli stati limite ultimi (SLV) dei muri di sostegno.

VERIFICA	Coefficiente parziale γ_R
Capacità portante della fondazione	1.2
Scorrimento	1.0
Ribaltamento	1.0
Resistenza del terreno a valle	1.2

Per le varie tipologie di fondazioni sono di seguito elencate le metodologie ed i modelli usati per il calcolo del carico limite ed i risultati di tale calcolo.

15.1 Carico limite fondazioni dirette

La formula del carico limite esprime l'equilibrio fra il carico applicato alla fondazione e la resistenza limite del terreno. Il carico limite è dato dalla seguente espressione:

$$q_{\lim} = c \cdot N_c \cdot s_c \cdot d_c \cdot i_c \cdot g_c \cdot b_c \cdot \psi_c + q \cdot N_q \cdot s_q \cdot d_q \cdot i_q \cdot g_q \cdot b_q \cdot \psi_q + \frac{1}{2} \cdot B \cdot \gamma_f \cdot N_\gamma \cdot s_\gamma \cdot d_\gamma \cdot i_\gamma \cdot g_\gamma \cdot b_\gamma \cdot \psi_\gamma$$

in cui:

c = coesione del terreno al disotto del piano di posa della fondazione;

$q = \gamma \cdot D$ = pressione geostatica in corrispondenza del piano di posa della fondazione;

γ = peso unità di volume del terreno al di sopra del piano di posa della fondazione;

D = profondità del piano di posa della fondazione;

B = dimensione caratteristica della fondazione, che corrisponde alla larghezza della suola;

L = Lunghezza della fondazione (**= Lunghezza del muro**);

γ_f = peso unità di volume del terreno al disotto del piano di posa della fondazione;

N_c, N_q, N_γ = fattori di capacità portante;

s, d, i, g, b, ψ = coefficienti correttivi.

NB: Se la risultante dei carichi verticali è eccentrica, B e L saranno ridotte rispettivamente di:

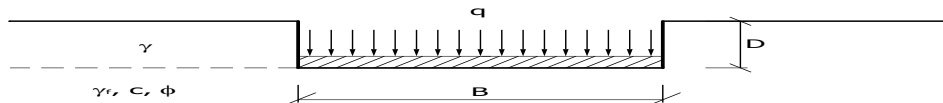
$$B' = B - 2 \cdot e_B$$

$$L' = L - 2 \cdot e_L$$

dove:

e_B = eccentricità parallela al lato di dimensione B ;

e_L = eccentricità parallela al lato di dimensione L (**valore nullo per lo schema adottato**).



Calcolo dei fattori N_c, N_q, N_γ

Condizioni non drenate	Condizioni drenate
$N_c = 2 + \pi$	$N_c = (N_q - 1) \cdot \operatorname{ctg} \phi$
$N_q = 1$	$N_q = k_p \cdot e^{\pi \operatorname{tg} \phi}$
$N_\gamma = 0 \text{ se } \omega = 0$ $N_\gamma = -2 \cdot \operatorname{sen} \omega \text{ se } \omega \neq 0$	$N_\gamma = 2(N_q + 1) \cdot \operatorname{tg} \phi$

dove:

$$k_p = \operatorname{tg}^2 \left(45 + \frac{\phi}{2} \right) \text{ è il coefficiente di spinta passiva;}$$

ϕ = angolo di attrito del terreno al disotto del piano di posa della fondazione;

ω = angolo di inclinazione del piano campagna.

Calcolo dei fattori di forma s_c, s_q, s_γ

Terreni Coerenti	Terreni Incoerenti
$s_c = 1 + \frac{B}{(2 + \pi)L}$	$s_c = 1 + \frac{N_q}{N_c} \frac{B}{L}$
$s_q = 1$	$s_q = 1 + \frac{B}{L} \operatorname{tg} \phi$

$s_\gamma = 1 - 0.4 \frac{B}{L}$	$s_\gamma = 1 - 0.4 \frac{B}{L}$
----------------------------------	----------------------------------

con $B/L < 1$.

Calcolo dei fattori di profondità d_c, d_q, d_γ

Si definisce il seguente parametro:

$$k = \begin{cases} \frac{D}{B} & \text{se } \frac{D}{B} \leq 1; \\ \arctg \frac{D}{B} & \text{se } \frac{D}{B} > 1. \end{cases}$$

Terreni Coerenti	Terreni Incoerenti
$d_c = 1 + 0.4k$	$d_c = d_q - \frac{1-d_q}{N_c \operatorname{tg} \phi}$
$d_q = 1$	$d_q = 1 + 2 \operatorname{tg} \phi (1 - \operatorname{sen} \phi)^2 \cdot k$
$d_\gamma = 1$	$d_\gamma = 1$

Calcolo dei fattori di inclinazione del carico i_c, i_q, i_γ

Si definisce il seguente parametro:

$$m = \frac{2 + B/L}{1 + B/L}$$

Terreni Coerenti	Terreni Incoerenti
$i_c = 1 - \frac{m \cdot H}{B \cdot L \cdot c_a \cdot N_c}$	$i_c = i_q - \frac{1-i_q}{N_c \cdot \operatorname{tg} \phi}$
$i_q = 1$	$i_q = \left(1 - \frac{H}{V + A_f \cdot c_a \cdot \operatorname{ctg} \phi}\right)^m$
$i_\gamma = 1$	$i_\gamma = \left(1 - \frac{H}{V + A_f \cdot c_a \cdot \operatorname{ctg} \phi}\right)^{m+1}$

dove:

$$A_f = B \cdot L$$

H = componente orizzontale dei carichi agente sul piano di posa della fondazione;

V = componente verticale dei carichi agente sul piano di posa della fondazione;

c_a = adesione lungo la base della fondazione ($c_a \leq c$);

δ = angolo di attrito di interfaccia terreno-fondazione.

Per poter applicare tali coefficienti correttivi deve essere verificata la seguente condizione:

$$H < V \cdot \operatorname{tg} \delta + A_f \cdot c_a$$

Calcolo dei fattori di inclinazione del piano di campagna b_c, b_q, b_γ

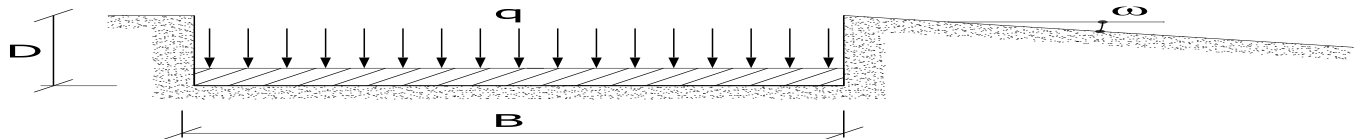
Indicando con ω l'angolo di inclinazione del piano campagna, si ha:

Terreni Coerenti	Terreni Incoerenti
------------------	--------------------

$b_c = 1 - \frac{2 \cdot \omega}{2 + \pi}$	$b_c = b_q - \frac{1 - b_q}{N_c \cdot \tan \phi}$
$b_q = 1$	$b_q = (1 - \tan \omega)^2 \cos \omega$
$b_\gamma = 1$	$b_\gamma = \frac{b_q}{\cos \omega}$

Per poter applicare tali coefficienti correttivi deve essere verificata la seguente condizione:

$$\omega < \phi ; \quad \omega < 45^\circ$$



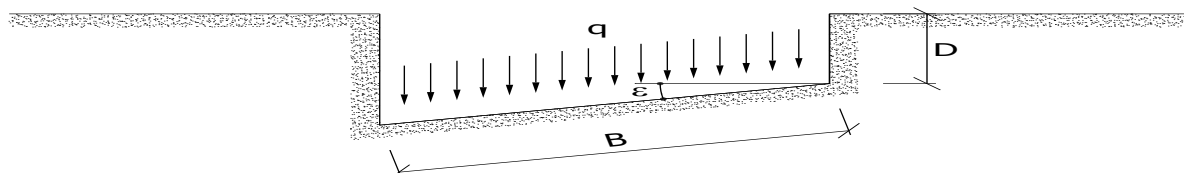
Calcolo dei fattori di inclinazione del piano di posa g_c, g_q, g_γ

Indicando con ε l'angolo di inclinazione del piano di posa della fondazione, si ha:

Terreni Coerenti	Terreni Incoerenti
$g_c = 1 - \frac{2 \cdot \varepsilon}{2 + \pi}$	$g_c = g_q - \frac{1 - g_q}{N_c \cdot \tan \phi}$
$g_q = 1$	$g_q = (1 - \varepsilon \cdot \tan \phi)^2$
$g_\gamma = 1$	$g_\gamma = (1 - \varepsilon \cdot \tan \phi)^2$

Per poter applicare tali coefficienti correttivi deve essere verificata la seguente condizione:

$$\varepsilon < 45^\circ$$



Calcolo dei fattori di riduzione per rottura a punzonamento $\psi_c, \psi_q, \psi_\gamma$

Si definisce l'indice di rigidezza del terreno come:

$$I_r = \frac{G}{c + \sigma \cdot \tan \phi}$$

dove:

$$G = \frac{E}{2(1+\nu)} = \text{modulo d'elasticità tangenziale del terreno};$$

E= modulo elastico del terreno. Nei calcoli è utilizzato il modulo edometrico;

v= modulo di Poisson. Sia in condizioni non drenate che drenate è assunto pari a 0.5;

c= tensione litostatica alla profondità D+B/2.

La rottura a punzonamento si verifica quando i coefficienti di punzonamento $\psi_c, \psi_q, \psi_\gamma$ sono inferiori all'unità; ciò accade quando l'indice di rigidezza I_r si mantiene inferiore al valore critico:

$$I_r < I_{r,crit} = \frac{1}{2} \exp \left\{ \left(3.3 - 0.45 \frac{B}{L} \right) \operatorname{ctg} \left(45 - \frac{\phi}{2} \right) \right\}$$

Terreni Coerenti	Terreni Incoerenti
$\psi_c = 0.32 + 0.12 \frac{B}{L} + 0.6 \cdot \log(I_r)$	$\psi_c = \psi_q - \frac{1 - \psi_q}{N_q \cdot \tan\phi}$
$\Psi_q = 1$	$\psi_q = \exp \left\{ \left(0.6 \frac{B}{L} - 4.4 \right) \tan\phi + \frac{3.07 \cdot \sin\phi \cdot \log(2I_r)}{1 + \sin\phi} \right\}$
$\psi_\gamma = 1$	$\psi_\gamma = \psi_q$

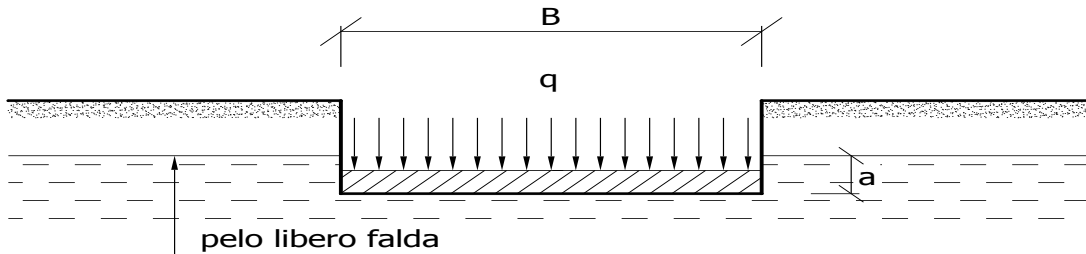
Calcolo del carico limite in presenza di falda

Se il pelo libero della falda è compreso fra il piano campagna ed il piano di posa della fondazione, ad un'altezza **a** sopra il piano di posa, l'espressione generale del carico limite, valutato in termini di tensioni effettive, diviene:

$$q_{lim} = c' \cdot N_c \cdot s_c \cdot d_c \cdot i_c \cdot g_c \cdot b_c \cdot \psi_c + q \cdot N_q \cdot s_q \cdot d_q \cdot i_q \cdot g_q \cdot b_q \cdot \psi_q + 0.5 \cdot B \cdot \gamma_f' \cdot N_\gamma \cdot s_\gamma \cdot d_\gamma \cdot i_\gamma \cdot g_\gamma \cdot b_\gamma \cdot \psi_\gamma + \gamma_{H2O} \cdot a$$

dove la tensione litostatica al piano di posa è valutata come:

$$q = \gamma \cdot (D - a) + \gamma' \cdot a$$

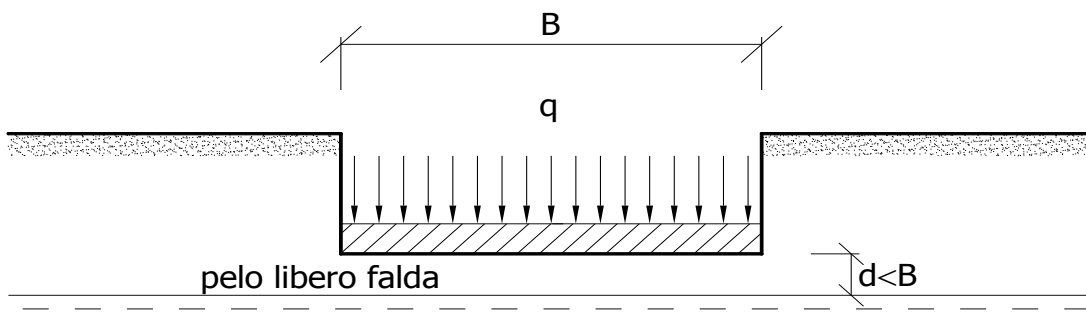


Se il pelo libero della falda è al di sotto del piano di posa della fondazione di una profondità **d**, tale che:

$$D \leq d \leq D + B, \quad \text{o in altri termini} \quad D < B$$

l'espressione generale del carico limite, valutato in termini di tensioni effettive, diviene:

$$q_{lim} = c' \cdot N_c \cdot s_c \cdot d_c \cdot i_c \cdot g_c \cdot b_c \cdot \psi_c + q \cdot N_q \cdot s_q \cdot d_q \cdot i_q \cdot g_q \cdot b_q \cdot \psi_q + 0.5 \cdot B \cdot \left(\gamma_f' + (\gamma_f - \gamma_f') \frac{d}{B} \right) \cdot N_\gamma \cdot s_\gamma \cdot d_\gamma \cdot i_\gamma \cdot g_\gamma \cdot b_\gamma \cdot \psi_\gamma$$



Se il pelo libero della falda è al di sotto del piano campagna di una profondità **d**, tale che:

$$d > D + B, \quad \text{o in altri termini} \quad d \geq B$$

la presenza della falda viene trascurata.

Calcolo del carico limite in condizioni non drenate

L'espressione generale del carico limite, valutato in termini di tensioni totali, diventa:

$$q_{\text{lim}} = (2 + \pi) c_u \cdot s_c \cdot d_c \cdot i_c \cdot g_c \cdot b_c + q + \frac{1}{2} \gamma_{\text{sat}} \cdot B \cdot N_\gamma \cdot s_\gamma$$

dove:

c_u = coesione non drenata;

γ_{sat} = peso unità di volume del terreno in condizioni di saturazione.

15.2 Fattori correttivi del carico limite in presenza di sisma

L'azione del sisma si traduce in accelerazioni nel sottosuolo (**effetto cinematico**) e nella fondazione, per l'azione delle forze d'inerzia generate nella struttura in elevazione (**effetto inerziale**).

Nell'analisi pseudo-statica, modellando l'azione sismica attraverso la sola componente orizzontale, tali effetti possono essere portati in conto mediante l'introduzione di coefficienti sismici rispettivamente denominati K_{hi} e K_{hk} , il primo definito dal rapporto tra le componenti orizzontale e verticale dei carichi trasmessi in fondazione ed il secondo funzione dell'accelerazione massima attesa al sito.

Calcolo del fattore correttivo dovuto all'effetto cinematico

L'effetto cinematico, ovvero l'effetto dovuto all'accelerazione della porzione di terreno in cui è immersa la fondazione, è direttamente portato in conto, nel calcolo del carico limite, poiché si è considerato il cuneo di massima spinta del terreno a partire dalla quota del piano di posa della fondazione. Pertanto, per tale porzione di terreno in cui è immersa la fondazione, gli effetti del sisma sono stati direttamente già considerati nella determinazione del cuneo di spinta del terreno.

Calcolo dei fattori correttivi dovuti all'effetto inerziale

L'effetto inerziale produce variazioni di tutti i coefficienti di capacità portante del carico limite in funzione del coefficiente sismico K_{hi} .

Per le combinazioni sismiche, gli effetti inerziali sono stati direttamente portati in conto, nel calcolo del carico limite, tramite i coefficienti correttivi dovuti all'inclinazione dei carichi (i_c, i_q, i_γ).

Verifiche nei confronti degli stati limite ultimi (SLU)

Di seguito si riporta una tabella riepilogativa relativa alla verifica dello stato limite di collasso per carico limite dell'insieme fondazione-terreno.

Si precisa che il valore relativo alla colonna Q_{lim} , di cui nella tabella seguente, è da intendersi come il valore di progetto della resistenza R_d (determinato come sopra esposto e diviso per il valore del coefficiente parziale γ_R relativo alla capacità portante del complesso terreno-fondazione). Nel caso in esame il coefficiente parziale γ_R , come indicato nella tabella 6.5.I delle NTC 2018, è stato assunto pari:

Tabella 6.5.I – Coefficienti parziali γ_R per le verifiche agli stati limite ultimi STR e GEO di muri di sostegno

VERIFICA	Coefficiente parziale γ_R (R3)
Capacità portante della fondazione	1.4

Per effetto delle azioni sismiche, le verifiche di sicurezza sono condotte ponendo pari all'unità i coefficienti parziali sulle azioni e sui parametri geotecnici (§ 7.11.1) e impiegando le resistenze di progetto con i coefficienti parziali γ_R indicati nella tabella 7.11.III.

Tab. 7.11.III – Coefficienti parziali γ_R per le verifiche agli stati limite ultimi (SLV) dei muri di sostegno.

VERIFICA	Coefficiente parziale γ_R
Capacità portante della fondazione	1.2

Si precisa che, nella sottostante tabella:

- Q_{med} rappresenta la tensione media del terreno, ossia il valore della tensione del terreno in corrispondenza del baricentro della sezione di impronta (sezione reagente) della fondazione;
- la coppia Q_{med} e Q_{lim} è relativa alla combinazione di carico, fra tutte quelle esaminate, che da luogo al minimo coefficiente di sicurezza (CS).

VERIFICHE A CARICO LIMITE

Stato limite	VERIFICHE A CARICO LIMITE - Approccio 2, Combinazione (A1+M1+R3)			
	Sisma	CS	QMedP [N/mm ²]	QLim [N/mm ²]
Sezione				
Verifica 1	SLU	NO	8,66	0,03 0,27
Verifica 2	SLU	NO	11,25	0,02 0,27
Verifica 3	SLV	SI	11,65	0,03 0,31
Verifica 4	SLV	SI	13,36	0,02 0,29

LEGENDA Verifiche a Carico Limite

Stato limite	Tipo di Stato Limite.
Sisma	Sisma agente nella Combinazione.
CS	Coefficiente di sicurezza.
QMedP	Tensione media di Progetto [N/mm ²].
QLim	Carico Limite [N/mm ²].

INFORMAZIONI GENERALI

Provincia	Provincia di Benevento
Normativa di riferimento	D.M. 17/01/2018
Analisi sismica	Orizzontale e Verticale
Classe struttura	3
Vita nominale	50 anni
Periodo di riferimento	75

MATERIALI

N	Tipo	Descrizione	Sigla	Peso Specifico	Coeff. Dil. Termica	Modulo elastico		Rk	γ	ridFmk	n	ft	fc	τR	Materiali
						E	G								
1	CA	Cls C25/30-B450C	C25/30	25000	0,000010	31447	13103	30,0	1,50	85	15	1,19	3,07	0,34	Acciaio B450C
2	AcT	Acciaio B450C	B450C	78500	0,000010	210000	80769	450,0	1,15	0	1	0,00	0,00	0,00	

LEGENDA Materiali

N	Numero identificativo del materiale.
Tipo	Tipologia del materiale: [CA] = Calcestruzzo armato - [AcT] = Acciaio in tondini - [AcP] = Acciaio in profilati - [M] = Muratura - [AcA] = Acciaio armonico per trefoli - [Mlt] = Malta per tiranti.
Sigla	Sigla del materiale.
Coeff. Dil. Termica	Coefficiente di dilatazione termica.
E	Modulo elastico normale.
G	Modulo elastico tangenziale.
Rk	Resistenza caratteristica del materiale. Il valore riportato è "Rck" per il calcestruzzo, "f yk" per l'acciaio, "fmk" per la muratura ed "fk" nel caso di altro materiale.
γ	Coefficiente di sicurezza allo Stato Limite Ultimo del materiale. Il valore riportato è " γ_c " per il calcestruzzo, " γ_f " per l'acciaio, " γ_m " per la muratura e " γ_g " in caso di altro materiale.
ridFmk	Percentuale di riduzione di Rcfmk.
n	Coefficiente di omogeneizzazione.
ft	Il valore riportato e' la "Resistenza di calcolo a trazione" per il calcestruzzo armato, la "Resistenza caratteristica a trazione" per la muratura.
fc	Il valore riportato e' la "Resistenza a rottura per flessione" per il calcestruzzo armato, la "Resistenza caratteristica a compressione orizzontale" per la muratura.
τR	Il valore riportato e' la "Resistenza tangenziale di calcolo" per il calcestruzzo armato, la "Resistenza caratteristica a taglio in assenza di compressione - f_{vk0} " per la muratura.
N Act	Identificativo, nella tabella materiali, dell'acciaio utilizzato.

TERRENI

N	Descrizione	γ	γ_{saturo}	ϕ	Cu	C'	Ed	Costante di sottofondo			X	Y	Z	Terreni
								X	Y	Z				
1	Unità B	16000	22000	29	0,01	0,01	55	30	30	90				
2	Argilla sabbiosa	20000	22000	23	0,02	0,02	10	12	12	36				

LEGENDA Terreni

N	Numero identificativo del terreno.
Descrizione	Descrizione del terreno.
γ	Peso per unità di volume [N/m^3].
γ_{saturo}	Peso per unità di volume saturo [N/m^3].
ϕ	Angolo di attrito [$^{\circ}ssdc$].
Cu	Coesione [N/mm^2].
C'	Coesione Efficace [N/mm^2].
Ed	Modulo edometrico [N/mm^2].
Costante di sottofondo	Valori della costante di sottofondo del terreno nelle direzioni degli assi del riferimento globale X, Y, e Z.

CONDIZIONI DI CARICO

N	Condizioni Carico Utente			Tipologia Carico Accidentale			Condizioni di carico		
	Descrizione	AgS	Alt	Descrizione	$\psi 0$	$\psi 1$	$\psi 2$		
1	Carico permanente	SI	NO	Carico permanente	1,0	1,0	1,0		

LEGENDA Condizioni di carico

N	Numero identificativo della condizione di carico.
AgS	Indica se la condizione di carico considerata è Agente con il Sisma.
Alt	Indica se la condizione di carico è Alternata (cioè considerata due volte con segno opposto) o meno.
$\psi 0$	Coefficiente riduttivo dei carichi allo SLU e SLE (Carichi rari).
$\psi 1$	Coefficiente riduttivo dei carichi allo SLE (Carichi frequenti).
$\psi 2$	Coefficiente riduttivo dei carichi allo SLE (Carichi frequenti e quasi permanenti).

SLE: COMBINAZIONE DI AZIONI QUASI PERMANENTE - COEFFICIENTI

SLE: Combinazione di azioni Quasi permanente - Coefficients	
CC 01	
COMB.	Carico permanente (Carico permanente)
01	1,00

LEGENDA SLE: Combinazione di azioni Quasi permanente - Coefficients

COMB. Numero identificativo della Combinazione di Carico.
CC Condizione di carico considerata.
 CC 01= Carico permanente (Carico permanente)

SLE: COMBINAZIONE DI AZIONI FREQUENTE - COEFFICIENTI

SLE: Combinazione di azioni Frequente - Coefficients	
CC 01	
COMB.	Carico permanente (Carico permanente)
01	1,00

LEGENDA SLE: Combinazione di azioni Frequente - Coefficients

COMB. Numero identificativo della Combinazione di Carico.
CC Condizione di carico considerata.
 CC 01= Carico permanente (Carico permanente)

SLE: COMBINAZIONE DI AZIONI RARA - COEFFICIENTI

SLE: Combinazione di azioni Rara - Coefficients	
CC 01	
COMB.	Carico permanente (Carico permanente)
01	1,00
02	1,00

LEGENDA SLE: Combinazione di azioni Rara - Coefficients

COMB. Numero identificativo della Combinazione di Carico.
CC Condizione di carico considerata.
 CC 01= Carico permanente (Carico permanente)

SLU: COMBINAZIONI DI CARICO IN ASSENZA DI SISMA - COEFFICIENTI

SLU: Combinazioni di carico in assenza di sisma - Coefficients	
CC 01	
COMB.	Carico permanente (Carico permanente)
01	1
02	1
Approccio 1, Combinazione 2 - Verifica di stabilità globale (A2+M2+R2)	
01	1
02	1
Approccio 2 - Rimanenti verifiche (A1+M1+R3)	
01	1,3
02	1

LEGENDA SLU: Combinazioni di carico in assenza di sisma - Coefficients

COMB. Numero identificativo della Combinazione di Carico.
CC Condizione di carico considerata.
 CC 01= Carico permanente (Carico permanente)

SLU: COMBINAZIONI DI CARICO IN PRESENZA DI SISMA - COEFFICIENTI

SLU: Combinazioni di carico in presenza di sisma - Coefficients	
CC 01	
COMB.	Carico permanente (Carico permanente)
01	1
02	1

LEGENDA SLU: Combinazioni di carico in presenza di sisma - Coefficients

COMB. Numero identificativo della Combinazione di Carico.
CC Condizione di carico considerata.
 CC 01= Carico permanente (Carico permanente)

DATI GENERALI ANALISI SISMICA

Dati generali analisi sismica								
TP	Coef Ampl Topog	β_s	β_m	K _{Stbl}	K _{Muro}	Latitudine	Longitudine	Altitudine
C	1,20	0,28	0,38	0,13	0,18	[gradi] 41° 9' 55.00"	[gradi] 14° 52' 48.00"	[m] 349

Classe Edificio	Vita Nominale		Periodo di Riferimento
	[adim]	[anni]	
	3	50	75

SL	Tr	Ag	Ss	F0	T*c
[adim]	[anni]	[adim]	[adim]	[adim]	[s]
SLO	45	0,0790	1,500	2,354	0,293
SLD	75	0,1041	1,500	2,326	0,317
SLV	712	0,3185	1,260	2,300	0,384
SLC	1462	0,4228	1,103	2,351	0,407

LEGENDA Dati generali analisi sismica

TP
Coef Ampl Topog

Tipo terreno prevalente, categoria di suolo di fondazione come definito al punto 3.2.2 delle Norme tecniche per le costruzioni.
Coefficiente di amplificazione topografica.

β_s

Coefficiente di riduzione di accelerazione massima per Verifica di stabilità.

β_m

Coefficiente di riduzione di accelerazione massima per Muro di sostegno.

K_{Stbl}

Coefficiente per il calcolo della spinta per Verifica di stabilità.

K_{Muro}

Coefficiente per il calcolo della spinta per Muro di sostegno.

Latitudine

Latitudine geografica del sito [gradi].

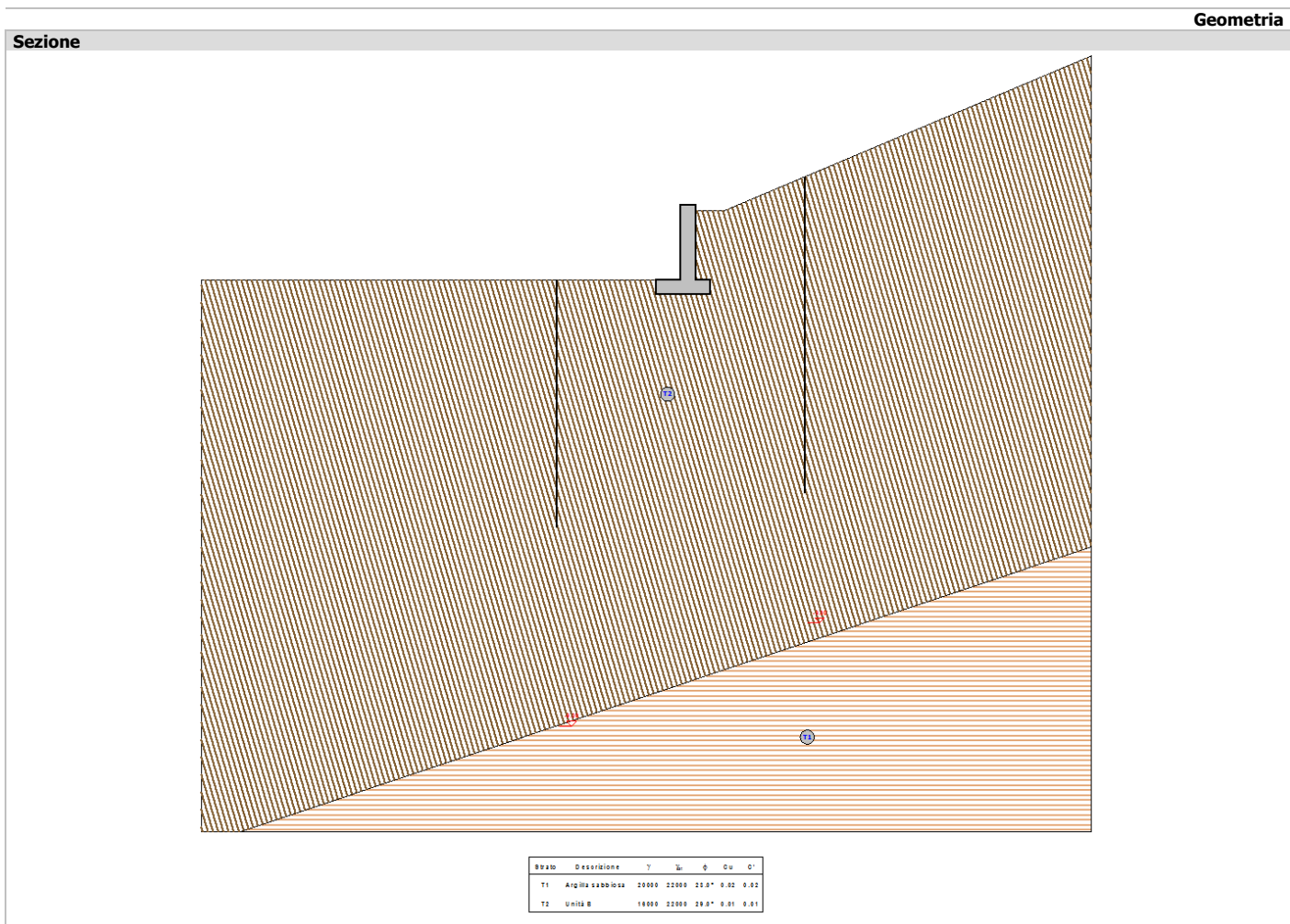
Longitudine

Longitudine geografica del sito [gradi].

Altitudine

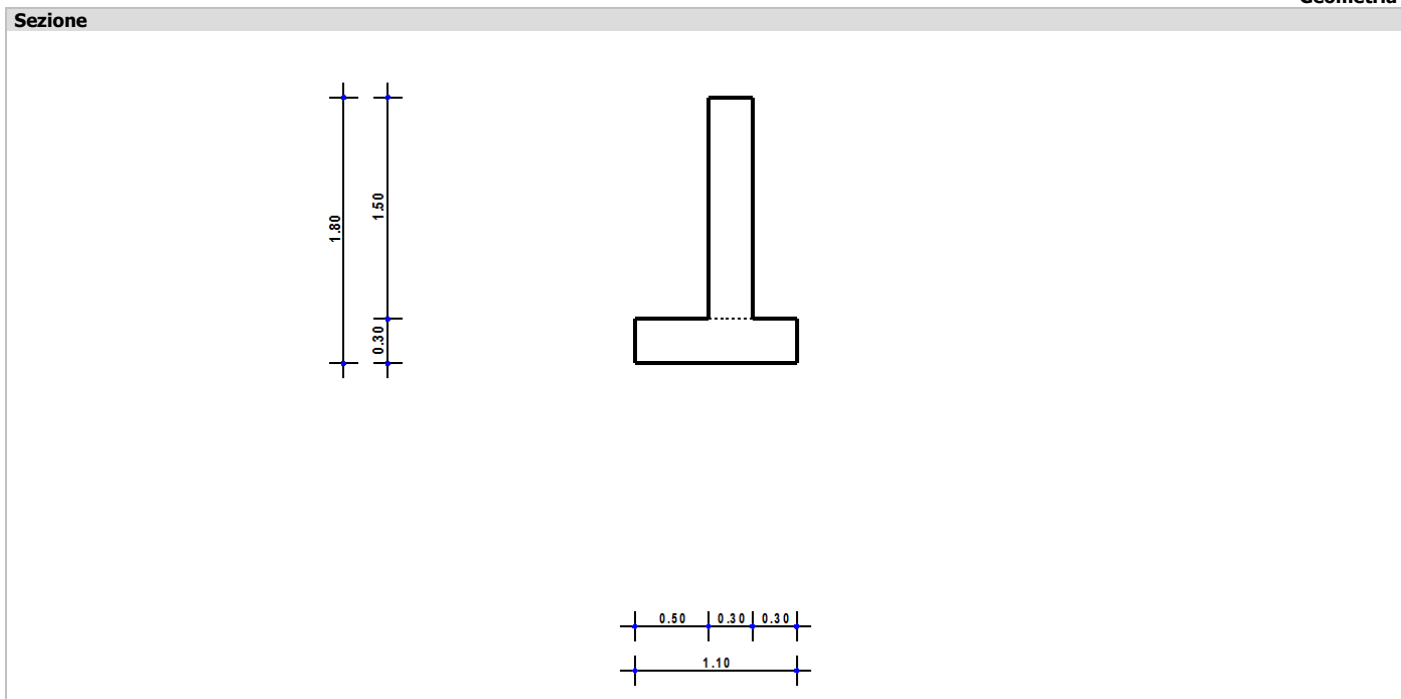
Altitudine geografica del sito sul livello medio del mare [m].

GEOMETRIA



GEOMETRIA

Geometria



CARATTERISTICHE MECCANICHE DEGLI STRATI

N	Caratt. Geotecnica	Addens. Strato	Var. Mod. Edom.	NSPT	Alfa		Caratteristiche meccaniche degli strati		Kp	PrsMenard
					IGU	IRS	Res. Tang. [N/mm²]	IRS [N/mm²]		
Sezione...										
1	Sabbia media	Sciolto	Nulla	24	1,2	1,5	0,120	0,175	1,20	1,20
2	Argilla	Sciolto	Nulla	24	1,2	1,9	0,134	0,234	1,60	1,60

LEGENDA Caratteristiche meccaniche degli strati

N Numero identificativo dello strato.

Caratt. Geotecnica Caratterizzazione geotecnica per micropali.

Addens. Strato Addensamento dello strato

Var. Mod. Edom. Variazione del Modulo Edometrico.

NSPT Numero di colpi dello Standard Penetration Test

Alfa Coefficiente maggiorativo diametro perforazione per micropali.

Res. Tang. Resistenza tangenziale tra zona iniettata e terreno per micropali.

Kp Coefficiente di calcolo resistenza alla punta per micropali.

PrsMenard Pressione limite terreno determinata col pressiometro Menard.

SPINTE SUL PARAMENTO ALLO SLU

SPINTE SUL PARAMENTO ALLO SLU - Approccio 2, Combinazione (A1+M1+R3)						
Stato limite	Sisma	Fx [N]	Fz [N]	Angolo [gradi]	PtApp [m]	
Sezione...						
SLU	NO	0	0	26	X: 0,30; Z: 0,00	
SLU	NO	0	0	26	X: 0,30; Z: 0,00	
SLV	SI	0	0	26	X: 0,30; Z: NAN	
SLV	SI	0	0	26	X: 0,30; Z: NAN	

LEGENDA Spinte sul paramento allo SLU

Stato limite Tipo di Stato Limite.

Sisma Sisma agente nella Combinazione.

Fx Spinta Orizzontale [N].

Fz Spinta Verticale [N].

Angolo Angolo della retta delimitante il cuneo di Spinta [gradi].

PtApp Punto di applicazione della Spinta [m].

SPINTE SUL CUNEO ALLO SLU

SPINTE SUL CUNEO ALLO SLU - Approccio 2, Combinazione (A1+M1+R3)						
Stato limite	Sisma	Fx [N]	Fz [N]	Angolo [gradi]	PtApp [m]	
Sezione...						
SLU	NO	0	0	26	X: 0,60; Z: -0,30	
SLU	NO	0	0	26	X: 0,60; Z: -0,30	
SLV	SI	891	315	55	X: 0,60; Z: -0,25	

SPINTE SUL CUNEO ALLO SLU - Approccio 2, Combinazione (A1+M1+R3)						
Stato limite	Sisma	Fx [N]	Fz [N]	Angolo [gradi]	PtApp [m]	
SLV	SI	0	0	55		X: 0,60; Z: NAN

LEGENDA Spinte sul cuneo allo SLU

Stato limite	Tipo di Stato Limite.
Sisma	Sisma agente nella Combinazione.
Fx	Spinta Orizzontale [N].
Fz	Spinta Verticale [N].
Angolo	Angolo della retta delimitante il cuneo di Spinta [gradi].
PtApp	Punto di applicazione della Spinta [m].

SPINTE SUL PARAMENTO ALLO SLE

SPINTE SUL PARAMENTO ALLO SLE						
Combinazione	Sisma	Fx [N]	Fz [N]	Angolo [gradi]	PtApp [m]	
Sezione...						
RARA	NO	0	0	26		X: 0,30; Z: 0,00
RARA	NO	0	0	26		X: 0,30; Z: 0,00
FREQUENTE	NO	0	0	26		X: 0,30; Z: 0,00
QUASI PERMANENTE	NO	0	0	26		X: 0,30; Z: 0,00

LEGENDA Spinte sul paramento allo SLE

Combinazione	Combinazione di Carico allo SLE.
Sisma	Sisma agente nella Combinazione.
Fx	Spinta Orizzontale [N].
Fz	Spinta Verticale [N].
Angolo	Angolo della retta delimitante il cuneo di Spinta [gradi].
PtApp	Punto di applicazione della Spinta [m].

SPINTE SUL CUNEO ALLO SLE

SPINTE SUL CUNEO ALLO SLE						
Combinazione	Sisma	Fx [N]	Fz [N]	Angolo [gradi]	PtApp [m]	
Sezione...						
RARA	NO	0	0	26		X: 0,60; Z: -0,30
RARA	NO	0	0	26		X: 0,60; Z: -0,30
FREQUENTE	NO	0	0	26		X: 0,60; Z: -0,30
QUASI PERMANENTE	NO	0	0	26		X: 0,60; Z: -0,30

LEGENDA Spinte sul cuneo allo SLE

Combinazione	Combinazione di Carico allo SLE.
Sisma	Sisma agente nella Combinazione.
Fx	Spinta Orizzontale [N].
Fz	Spinta Verticale [N].
Angolo	Angolo della retta delimitante il cuneo di Spinta [gradi].
PtApp	Punto di applicazione della Spinta [m].

SOLLECITAZIONI SUL PARAMENTO

SOLLECITAZIONI SUL PARAMENTO						
Approccio	Stato limite	Sisma	N [N]	My [Nm]	Tx [N]	
Sezione...						
Sez. calcolo n.1 - Dis: 0,00						
Approccio 2, Combinazione (A1+M1+R3)	SLU	NO	14333	0,00	0,00	
Approccio 2, Combinazione (A1+M1+R3)	SLU	NO	11025	0,00	0,00	
Approccio 2, Combinazione (A1+M1+R3)	SLV	SI	12034	-1483,00	-2018,00	
Approccio 2, Combinazione (A1+M1+R3)	SLV	SI	10016	-1483,00	-2018,00	
-	SLE: Combinazione RARA	NO	11025	0,00	0,00	
-	SLE: Combinazione RARA	NO	11025	0,00	0,00	
-	SLE: Combinazione FREQUENTE	NO	11025	0,00	0,00	
-	SLE: Combinazione QUASI PERMANENTE	NO	11025	0,00	0,00	
Sez. calcolo n.2 - Dis: 0,18						
Approccio 2, Combinazione (A1+M1+R3)	SLU	NO	12578	0,00	0,00	
Approccio 2, Combinazione (A1+M1+R3)	SLU	NO	9675	0,00	0,00	
Approccio 2, Combinazione (A1+M1+R3)	SLV	SI	10561	-1142,00	-1771,00	
Approccio 2, Combinazione (A1+M1+R3)	SLV	SI	8789	-1142,00	-1771,00	
-	SLE: Combinazione RARA	NO	9675	0,00	0,00	
-	SLE: Combinazione RARA	NO	9675	0,00	0,00	
-	SLE: Combinazione	NO	9675	0,00	0,00	

SOLLECITAZIONI SUL PARAMENTO						
Approccio	Stato limite	Sisma	N [N]	My [Nm]	Tx [N]	
Sez. calcolo n.3 - Dis: 0,36		FREQUENTE SLE: Combinazione QUASI PERMANENTE	NO	9675	0,00	0,00
Approccio 2, Combinazione (A1+M1+R3)		SLU	NO	10823	0,00	0,00
Approccio 2, Combinazione (A1+M1+R3)		SLU	NO	8325	0,00	0,00
Approccio 2, Combinazione (A1+M1+R3)		SLV	SI	9087	-846,00	-1524,00
Approccio 2, Combinazione (A1+M1+R3)		SLV	SI	7563	-846,00	-1524,00
-		SLE: Combinazione RARA	NO	8325	0,00	0,00
-		SLE: Combinazione RARA	NO	8325	0,00	0,00
-		SLE: Combinazione FREQUENTE	NO	8325	0,00	0,00
-		SLE: Combinazione QUASI PERMANENTE	NO	8325	0,00	0,00
Sez. calcolo n.4 - Dis: 0,54		SLU	NO	9068	0,00	0,00
Approccio 2, Combinazione (A1+M1+R3)		SLU	NO	6975	0,00	0,00
Approccio 2, Combinazione (A1+M1+R3)		SLV	SI	7613	-594,00	-1277,00
Approccio 2, Combinazione (A1+M1+R3)		SLV	SI	6337	-594,00	-1277,00
-		SLE: Combinazione RARA	NO	6975	0,00	0,00
-		SLE: Combinazione RARA	NO	6975	0,00	0,00
-		SLE: Combinazione FREQUENTE	NO	6975	0,00	0,00
-		SLE: Combinazione QUASI PERMANENTE	NO	6975	0,00	0,00
Sez. calcolo n.5 - Dis: 0,72		SLU	NO	7312	0,00	0,00
Approccio 2, Combinazione (A1+M1+R3)		SLU	NO	5625	0,00	0,00
Approccio 2, Combinazione (A1+M1+R3)		SLV	SI	6140	-386,00	-1030,00
Approccio 2, Combinazione (A1+M1+R3)		SLV	SI	5110	-386,00	-1030,00
-		SLE: Combinazione RARA	NO	5625	0,00	0,00
-		SLE: Combinazione RARA	NO	5625	0,00	0,00
-		SLE: Combinazione FREQUENTE	NO	5625	0,00	0,00
-		SLE: Combinazione QUASI PERMANENTE	NO	5625	0,00	0,00
Sez. calcolo n.6 - Dis: 0,90		SLU	NO	5557	0,00	0,00
Approccio 2, Combinazione (A1+M1+R3)		SLU	NO	4275	0,00	0,00
Approccio 2, Combinazione (A1+M1+R3)		SLV	SI	4666	-223,00	-783,00
Approccio 2, Combinazione (A1+M1+R3)		SLV	SI	3884	-223,00	-783,00
-		SLE: Combinazione RARA	NO	4275	0,00	0,00
-		SLE: Combinazione RARA	NO	4275	0,00	0,00
-		SLE: Combinazione FREQUENTE	NO	4275	0,00	0,00
-		SLE: Combinazione QUASI PERMANENTE	NO	4275	0,00	0,00
Sez. calcolo n.7 - Dis: 1,08		SLU	NO	3802	0,00	0,00
Approccio 2, Combinazione (A1+M1+R3)		SLU	NO	2925	0,00	0,00
Approccio 2, Combinazione (A1+M1+R3)		SLV	SI	3193	-105,00	-536,00
Approccio 2, Combinazione (A1+M1+R3)		SLV	SI	2657	-105,00	-536,00
-		SLE: Combinazione RARA	NO	2925	0,00	0,00
-		SLE: Combinazione RARA	NO	2925	0,00	0,00

SOLLECITAZIONI SUL PARAMENTO						
Approccio	Stato limite	Sisma	N [N]	My [Nm]	Tx [N]	
-	SLE: Combinazione FREQUENTE	NO	2925	0,00	0,00	
	SLE: Combinazione QUASI PERMANENTE		2925	0,00	0,00	
Sez. calcolo n.8 - Dis: 1.26						
Approccio 2, Combinazione (A1+M1+R3)	SLU	NO	2048	0,00	0,00	
Approccio 2, Combinazione (A1+M1+R3)	SLU		1575	0,00	0,00	
Approccio 2, Combinazione (A1+M1+R3)	SLV	SI	1719	-30,00	-288,00	
Approccio 2, Combinazione (A1+M1+R3)	SLV	SI	1431	-30,00	-288,00	
-	SLE: Combinazione RARA	NO	1575	0,00	0,00	
	SLE: Combinazione RARA		1575	0,00	0,00	
-	SLE: Combinazione FREQUENTE	NO	1575	0,00	0,00	
	SLE: Combinazione QUASI PERMANENTE		1575	0,00	0,00	
Sez. calcolo n.9 - Dis: 1.44						
Approccio 2, Combinazione (A1+M1+R3)	SLU	NO	292	0,00	0,00	
Approccio 2, Combinazione (A1+M1+R3)	SLU		225	0,00	0,00	
Approccio 2, Combinazione (A1+M1+R3)	SLV	SI	246	-1,00	-41,00	
Approccio 2, Combinazione (A1+M1+R3)	SLV	SI	204	-1,00	-41,00	
-	SLE: Combinazione RARA	NO	225	0,00	0,00	
	SLE: Combinazione RARA		225	0,00	0,00	
-	SLE: Combinazione FREQUENTE	NO	225	0,00	0,00	
	SLE: Combinazione QUASI PERMANENTE		225	0,00	0,00	

LEGENDA Sollecitazioni sul Paramento

Approccio Tipo di Approccio seguito.

Stato limite Tipo di Stato Limite.

Sisma Sisma agente nella Combinazione.

N Sforzo Normale [N].

My Vettore Momento ortogonale al piano dell'elemento [Nm].

Tx Taglio orizzontale nel piano dell'elemento [N].

SOLLECITAZIONI SULLA FONDAZIONE

SOLLECITAZIONI SULLA FONDAZIONE						
Approccio	Stato limite	Sisma	N [N]	My [Nm]	Tx [N]	
Sezione...						
Sez. calcolo n.10 - Dis: 0.00(Valle)						
Approccio 2, Combinazione (A1+M1+R3)	SLU	NO	0	1,00	84,00	
	SLU		0	1,00	65,00	
Approccio 2, Combinazione (A1+M1+R3)	SLV	SI	0	-4,00	-300,00	
	SLV	SI	0	-4,00	-267,00	
-	SLE: Combinazione RARA	NO	0	1,00	65,00	
	SLE: Combinazione RARA		0	1,00	65,00	
-	SLE: Combinazione FREQUENTE	NO	0	1,00	65,00	
	SLE: Combinazione QUASI PERMANENTE		0	1,00	65,00	
Sez. calcolo n.11 - Dis: 0.06(Valle)						
Approccio 2, Combinazione (A1+M1+R3)	SLU	NO	0	8,00	134,00	
	SLU		0	6,00	103,00	
Approccio 2, Combinazione (A1+M1+R3)	SLV	SI	0	-37,00	-882,00	
	SLV	SI	0	-33,00	-782,00	
-	SLE: Combinazione RARA	NO	0	6,00	103,00	
	SLE: Combinazione RARA		0	6,00	103,00	
-	SLE: Combinazione	NO	0	6,00	103,00	

SOLLECITAZIONI SULLA FONDAZIONE						
Approccio	Stato limite	Sisma	N [N]	My [Nm]	Tx [N]	
-	FREQUENTE SLE: Combinazione QUASI PERMANENTE	NO	0	6,00	103,00	
Sez. calcolo n.12 - Dis: 0.11(Valle)						
Approccio 2, Combinazione (A1+M1+R3)	SLU	NO	0	14,00	49,00	
Approccio 2, Combinazione (A1+M1+R3)	SLU	NO	0	10,00	38,00	
Approccio 2, Combinazione (A1+M1+R3)	SLV	SI	0	-102,00	-1504,00	
Approccio 2, Combinazione (A1+M1+R3)	SLV	SI	0	-91,00	-1334,00	
-	SLE: Combinazione RARA	NO	0	10,00	38,00	
-	SLE: Combinazione RARA	NO	0	10,00	38,00	
-	SLE: Combinazione FREQUENTE	NO	0	10,00	38,00	
-	SLE: Combinazione QUASI PERMANENTE	NO	0	10,00	38,00	
Sez. calcolo n.13 - Dis: 0.17(Valle)						
Approccio 2, Combinazione (A1+M1+R3)	SLU	NO	0	11,00	-170,00	
Approccio 2, Combinazione (A1+M1+R3)	SLU	NO	0	8,00	-131,00	
Approccio 2, Combinazione (A1+M1+R3)	SLV	SI	0	-203,00	-2165,00	
Approccio 2, Combinazione (A1+M1+R3)	SLV	SI	0	-180,00	-1922,00	
-	SLE: Combinazione RARA	NO	0	8,00	-131,00	
-	SLE: Combinazione RARA	NO	0	8,00	-131,00	
-	SLE: Combinazione FREQUENTE	NO	0	8,00	-131,00	
-	SLE: Combinazione QUASI PERMANENTE	NO	0	8,00	-131,00	
Sez. calcolo n.14 - Dis: 0.22(Valle)						
Approccio 2, Combinazione (A1+M1+R3)	SLU	NO	0	-7,00	-522,00	
Approccio 2, Combinazione (A1+M1+R3)	SLU	NO	0	-6,00	-402,00	
Approccio 2, Combinazione (A1+M1+R3)	SLV	SI	0	-341,00	-2866,00	
Approccio 2, Combinazione (A1+M1+R3)	SLV	SI	0	-303,00	-2545,00	
-	SLE: Combinazione RARA	NO	0	-6,00	-402,00	
-	SLE: Combinazione RARA	NO	0	-6,00	-402,00	
-	SLE: Combinazione FREQUENTE	NO	0	-6,00	-402,00	
-	SLE: Combinazione QUASI PERMANENTE	NO	0	-6,00	-402,00	
Sez. calcolo n.15 - Dis: 0.28(Valle)						
Approccio 2, Combinazione (A1+M1+R3)	SLU	NO	0	-49,00	-1010,00	
Approccio 2, Combinazione (A1+M1+R3)	SLU	NO	0	-38,00	-777,00	
Approccio 2, Combinazione (A1+M1+R3)	SLV	SI	0	-519,00	-3607,00	
Approccio 2, Combinazione (A1+M1+R3)	SLV	SI	0	-461,00	-3204,00	
-	SLE: Combinazione RARA	NO	0	-38,00	-777,00	
-	SLE: Combinazione RARA	NO	0	-38,00	-777,00	
-	SLE: Combinazione FREQUENTE	NO	0	-38,00	-777,00	
-	SLE: Combinazione QUASI PERMANENTE	NO	0	-38,00	-777,00	
Sez. calcolo n.16 - Dis: 0.33(Valle)						
Approccio 2, Combinazione (A1+M1+R3)	SLU	NO	0	-121,00	-1632,00	
Approccio 2, Combinazione (A1+M1+R3)	SLU	NO	0	-93,00	-1255,00	
Approccio 2, Combinazione (A1+M1+R3)	SLV	SI	0	-739,00	-4387,00	
Approccio 2, Combinazione (A1+M1+R3)	SLV	SI	0	-656,00	-3899,00	
-	SLE: Combinazione RARA	NO	0	-93,00	-1255,00	
-	SLE: Combinazione RARA	NO	0	-93,00	-1255,00	

SOLLECITAZIONI SULLA FONDAZIONE						
Approccio	Stato limite	Sisma	N [N]	My [Nm]	Tx [N]	
-	SLE: Combinazione FREQUENTE	NO	0	-93,00	-1255,00	
	SLE: Combinazione QUASI PERMANENTE					
Sez. calcolo n.17 - Dis: 0,39(Valle)						
Approccio 2, Combinazione (A1+M1+R3)	SLU	NO	0	-231,00	-2389,00	
Approccio 2, Combinazione (A1+M1+R3)	SLU					
Approccio 2, Combinazione (A1+M1+R3)	SLV	SI	0	-1002,00	-5208,00	
Approccio 2, Combinazione (A1+M1+R3)	SLV					
-	SLE: Combinazione RARA	NO	0	-178,00	-1837,00	
	SLE: Combinazione RARA					
-	SLE: Combinazione FREQUENTE	NO	0	-178,00	-1837,00	
	SLE: Combinazione QUASI PERMANENTE					
Sez. calcolo n.18 - Dis: 0,44(Valle)						
Approccio 2, Combinazione (A1+M1+R3)	SLU	NO	0	-386,00	-3279,00	
Approccio 2, Combinazione (A1+M1+R3)	SLU					
Approccio 2, Combinazione (A1+M1+R3)	SLV	SI	0	-1312,00	-6067,00	
Approccio 2, Combinazione (A1+M1+R3)	SLV					
-	SLE: Combinazione RARA	NO	0	-297,00	-2522,00	
	SLE: Combinazione RARA					
-	SLE: Combinazione FREQUENTE	NO	0	-297,00	-2522,00	
	SLE: Combinazione QUASI PERMANENTE					
Sez. calcolo n.19 - Dis: 0,00(Monte)						
Approccio 2, Combinazione (A1+M1+R3)	SLU	NO	0	-461,00	-1905,00	
Approccio 2, Combinazione (A1+M1+R3)	SLU					
Approccio 2, Combinazione (A1+M1+R3)	SLV	SI	0	48,00	644,00	
Approccio 2, Combinazione (A1+M1+R3)	SLV					
-	SLE: Combinazione RARA	NO	0	-355,00	-1465,00	
	SLE: Combinazione RARA					
-	SLE: Combinazione FREQUENTE	NO	0	-355,00	-1465,00	
	SLE: Combinazione QUASI PERMANENTE					
Sez. calcolo n.20 - Dis: 0,03(Monte)						
Approccio 2, Combinazione (A1+M1+R3)	SLU	NO	0	-390,00	-3794,00	
Approccio 2, Combinazione (A1+M1+R3)	SLU					
Approccio 2, Combinazione (A1+M1+R3)	SLV	SI	0	42,00	-968,00	
Approccio 2, Combinazione (A1+M1+R3)	SLV					
-	SLE: Combinazione RARA	NO	0	-300,00	-2918,00	
	SLE: Combinazione RARA					
-	SLE: Combinazione FREQUENTE	NO	0	-300,00	-2918,00	
	SLE: Combinazione QUASI PERMANENTE					
Sez. calcolo n.21 - Dis: 0,06(Monte)						
Approccio 2, Combinazione (A1+M1+R3)	SLU	NO	0	-292,00	-2732,00	
Approccio 2, Combinazione (A1+M1+R3)	SLU					
Approccio 2, Combinazione (A1+M1+R3)	SLV	SI	0	62,00	-328,00	
Approccio 2, Combinazione (A1+M1+R3)	SLV					
-	SLE: Combinazione RARA	NO	0	-225,00	-2101,00	
	SLE: Combinazione QUASI PERMANENTE					

SOLLECITAZIONI SULLA FONDAZIONE						
Approccio	Stato limite	Sisma	N [N]	My [Nm]	Tx [N]	
	RARA					
-	SLE: Combinazione FREQUENTE	NO	0	-225,00	-2101,00	
-	SLE: Combinazione QUASI PERMANENTE	NO	0	-225,00	-2101,00	
Sez. calcolo n.22 - Dis: 0.09(Monte)						
Approccio 2, Combinazione (A1+M1+R3)	SLU	NO	0	-226,00	-1629,00	
Approccio 2, Combinazione (A1+M1+R3)	SLU	NO	0	-174,00	-1253,00	
Approccio 2, Combinazione (A1+M1+R3)	SLV	SI	0	62,00	323,00	
Approccio 2, Combinazione (A1+M1+R3)	SLV	SI	0	18,00	760,00	
-	SLE: Combinazione RARA	NO	0	-174,00	-1253,00	
-	SLE: Combinazione RARA	NO	0	-174,00	-1253,00	
-	SLE: Combinazione FREQUENTE	NO	0	-174,00	-1253,00	
-	SLE: Combinazione QUASI PERMANENTE	NO	0	-174,00	-1253,00	
Sez. calcolo n.23 - Dis: 0.12(Monte)						
Approccio 2, Combinazione (A1+M1+R3)	SLU	NO	0	-195,00	-487,00	
Approccio 2, Combinazione (A1+M1+R3)	SLU	NO	0	-150,00	-375,00	
Approccio 2, Combinazione (A1+M1+R3)	SLV	SI	0	42,00	986,00	
Approccio 2, Combinazione (A1+M1+R3)	SLV	SI	0	-14,00	1354,00	
-	SLE: Combinazione RARA	NO	0	-150,00	-375,00	
-	SLE: Combinazione RARA	NO	0	-150,00	-375,00	
-	SLE: Combinazione FREQUENTE	NO	0	-150,00	-375,00	
-	SLE: Combinazione QUASI PERMANENTE	NO	0	-150,00	-375,00	
Sez. calcolo n.24 - Dis: 0.15(Monte)						
Approccio 2, Combinazione (A1+M1+R3)	SLU	NO	0	-110,00	-2217,00	
Approccio 2, Combinazione (A1+M1+R3)	SLU	NO	0	-85,00	-1705,00	
Approccio 2, Combinazione (A1+M1+R3)	SLV	SI	0	70,00	-579,00	
Approccio 2, Combinazione (A1+M1+R3)	SLV	SI	0	4,00	-282,00	
-	SLE: Combinazione RARA	NO	0	-85,00	-1705,00	
-	SLE: Combinazione RARA	NO	0	-85,00	-1705,00	
-	SLE: Combinazione FREQUENTE	NO	0	-85,00	-1705,00	
-	SLE: Combinazione QUASI PERMANENTE	NO	0	-85,00	-1705,00	
Sez. calcolo n.25 - Dis: 0.18(Monte)						
Approccio 2, Combinazione (A1+M1+R3)	SLU	NO	0	-62,00	-994,00	
Approccio 2, Combinazione (A1+M1+R3)	SLU	NO	0	-48,00	-765,00	
Approccio 2, Combinazione (A1+M1+R3)	SLV	SI	0	77,00	109,00	
Approccio 2, Combinazione (A1+M1+R3)	SLV	SI	0	3,00	332,00	
-	SLE: Combinazione RARA	NO	0	-48,00	-765,00	
-	SLE: Combinazione RARA	NO	0	-48,00	-765,00	
-	SLE: Combinazione FREQUENTE	NO	0	-48,00	-765,00	
-	SLE: Combinazione QUASI PERMANENTE	NO	0	-48,00	-765,00	
Sez. calcolo n.26 - Dis: 0.21(Monte)						
Approccio 2, Combinazione (A1+M1+R3)	SLU	NO	0	-51,00	268,00	
Approccio 2, Combinazione (A1+M1+R3)	SLU	NO	0	-39,00	206,00	
Approccio 2, Combinazione (A1+M1+R3)	SLV	SI	0	63,00	807,00	
Approccio 2, Combinazione (A1+M1+R3)	SLV	SI	0	-16,00	958,00	
-	SLE: Combinazione RARA	NO	0	-39,00	206,00	

SOLLECITAZIONI SULLA FONDAZIONE						
Approccio	Stato limite	Sisma	N [N]	My [Nm]	Tx [N]	
Sez. calcolo n.27 - Dis: 0,24(Monte)	-	SLE: Combinazione RARA	NO	0	-39,00	206,00
	-	SLE: Combinazione FREQUENTE	NO	0	-39,00	206,00
	-	SLE: Combinazione QUASI PERMANENTE	NO	0	-39,00	206,00
Approccio 2, Combinazione (A1+M1+R3)	SLU		NO	0	-20,00	-1342,00
Approccio 2, Combinazione (A1+M1+R3)	SLU		NO	0	-16,00	-1032,00
Approccio 2, Combinazione (A1+M1+R3)	SLV		SI	0	73,00	-722,00
Approccio 2, Combinazione (A1+M1+R3)	SLV		SI	0	-10,00	-647,00
-	SLE: Combinazione RARA		NO	0	-16,00	-1032,00
-	SLE: Combinazione RARA		NO	0	-16,00	-1032,00
-	SLE: Combinazione FREQUENTE		NO	0	-16,00	-1032,00
-	SLE: Combinazione QUASI PERMANENTE		NO	0	-16,00	-1032,00

LEGENDA Sollecitazioni sulla fondazione

Approccio Tipo di Approccio seguito.

Stato limite Tipo di Stato Limite.

Sisma Sisma agente nella Combinazione.

N Sforzo Normale [N].

My Vettore Momento ortogonale al piano dell'elemento [Nm].

Tx Taglio orizzontale nel piano dell'elemento [N].

TENSIONI SUL TERRENO

TENSIONI SUL TERRENO - Approccio 2, Combinazione (A1+M1+R3)						
Stato Limite	Sisma	Pt[i] [m]	Pr[i] [N/mm ²]	Pt[f] [m]	Pr[f] [N/mm ²]	
Sezione...						
SLU	NO	X: -0,50; Y: -0,30	0,006	X: 0,60; Y: -0,30	0,055	
SLU	NO	X: -0,50; Y: -0,30	0,005	X: 0,60; Y: -0,30	0,042	
SLV	SI	X: -0,50; Y: -0,30	0,018	X: 0,60; Y: -0,30	0,032	
SLV	SI	X: -0,50; Y: -0,30	0,016	X: 0,60; Y: -0,30	0,029	

LEGENDA Tensioni sul terreno

Stato limite Stato limite di riferimento.

Sisma Sisma agente nella Combinazione.

Pt[i]/Pt[f] Coordinate del punto iniziale e finale del tratto di terreno di fondazione su cui sono esercitate le tensioni sul terreno [m].

Pr[i]/Pr[f] Pressione iniziale e finale in corrispondenza dei relativi punti [N/mm²].

VERIFICHE DI STABILITÀ'

Bishop							Fellenius							VERIFICHE DI STABILITÀ'		
CS	FrzRbit [N]	FrzRes [N]	Centro [m]	Raggio [m]	CS	FrzRbit [N]	FrzRes [N]	Centro [m]	Raggio [m]	CS	FrzRbit [N]	FrzRes [N]	Centro [m]	Raggio [m]		
Sezione...																
Verifica 1																
Approccio 1, Combinazione 2 Stato Limite Ultimo senza sisma																
1,62	42 738	69 446	X: 0,30; Y: 4,00	4,37	1,67	42 738	71 436	X: 0,30; Y: 4,00						4,37		
2,47	203 689	503 097	X: 0,30; Y: 4,00	8,37	2,27	203 689	462 729	X: 0,30; Y: 4,00						8,37		
1,67	36 163	60 292	X: -0,20; Y: 4,00	4,37	1,72	36 163	62 090	X: -0,20; Y: 4,00						4,37		
2,56	191 576	490 506	X: -0,20; Y: 4,00	8,37	2,35	191 576	450 013	X: -0,20; Y: 4,00						8,37		
1,72	34 648	59 695	X: -0,70; Y: 4,00	4,49	1,76	34 648	61 120	X: -0,70; Y: 4,00						4,49		
2,75	180 384	495 463	X: -0,70; Y: 4,00	8,49	2,51	180 384	452 546	X: -0,70; Y: 4,00						8,49		
1,91	33 040	63 208	X: -1,20; Y: 4,00	4,66	1,93	33 040	63 692	X: -1,20; Y: 4,00						4,66		
2,91	175 826	511 262	X: -1,20; Y: 4,00	8,66	2,65	175 826	465 135	X: -1,20; Y: 4,00						8,66		
2,34	30 414	71 028	X: -1,70; Y: 4,00	4,88	2,31	30 414	70 164	X: -1,70; Y: 4,00						4,88		
3,11	171 713	534 616	X: -1,70; Y: 4,00	8,88	2,82	171 713	484 351	X: -1,70; Y: 4,00						8,88		
2,84	29 109	82 627	X: -2,20; Y: 4,00	5,13	2,76	29 109	80 291	X: -2,20; Y: 4,00						5,13		
3,39	166 782	565 404	X: -2,20; Y: 4,00	9,13	3,06	166 782	510 121	X: -2,20; Y: 4,00						9,13		
3,44	28 731	98 909	X: -2,70; Y: 4,00	5,42	3,30	28 731	94 898	X: -2,70; Y: 4,00						5,42		
3,71	162 463	603 098	X: -2,70; Y: 4,00	9,42	3,34	162 463	542 003	X: -2,70; Y: 4,00						9,42		
4,32	27 543	118 938	X: -3,20; Y: 4,00	5,74	4,10	27 543	112 891	X: -3,20; Y: 4,00						5,74		
3,97	163 600	649 697	X: -3,20; Y: 4,00	9,74	3,56	163 600	581 891	X: -3,20; Y: 4,00						9,74		
5,28	27 253	143 890	X: -3,70; Y: 4,00	6,08	4,97	27 253	135 466	X: -3,70; Y: 4,00						6,08		
4,42	158 639	700 697	X: -3,70; Y: 4,00	10,08	3,94	158 639	625 616	X: -3,70; Y: 4,00						10,08		
6,44	26 927	173 289	X: -4,20; Y: 4,00	6,44	6,02	26 927	162 034	X: -4,20; Y: 4,00						6,44		
4,76	159 484	759 809	X: -4,20; Y: 4,00	10,44	4,24	159 484	676 460	X: -4,20; Y: 4,00						10,44		
1,55	48 460	75 240	X: 0,30; Y: 4,50	4,87	1,61	48 460	77 787	X: 0,30; Y: 4,50						4,87		
2,41	217 733	524 715	X: 0,30; Y: 4,50	8,87	2,22	217 733	483 766	X: 0,30; Y: 4,50						8,87		
1,59	41 305	65 666	X: -0,20; Y: 4,50	4,87	1,65	41 305	67 953	X: -0,20; Y: 4,50						4,87		
2,43	211 202	513 844	X: -0,20; Y: 4,50	8,87	2,24	211 202	473 003	X: -0,20; Y: 4,50						8,87		
1,71	37 856	64 547	X: -0,70; Y: 4,50	4,97	1,75	37 856	66 162	X: -0,70; Y: 4,50						4,97		
2,59	199 475	517 332	X: -0,70; Y: 4,50	8,97	2,38	199 475	474 361	X: -0,70; Y: 4,50						8,97		
1,87	35 841	67 027	X: -1,20; Y: 4,50	5,13	1,89	35 841	67 788	X: -1,20; Y: 4,50						5,13		

VERIFICHE DI STABILITÀ'

Bishop					Fellenius				
CS	FrzRbit	FrzRes	Centro	Raggio	CS	FrzRbit	FrzRes	Centro	Raggio
[N]	[N]	[m]	[m]	[m]	[N]	[N]	[m]	[m]	[m]
1,40	66 619	93 030	X: -1,70; Y: 8,00	8,61	1,42	66 619	94 322	X: -1,70; Y: 8,00	8,61
1,48	414 780	613 368	X: -1,70; Y: 8,00	12,61	1,38	414 780	570 919	X: -1,70; Y: 8,00	12,61
1,52	63 246	95 879	X: -2,20; Y: 8,00	8,76	1,52	63 246	96 211	X: -2,20; Y: 8,00	8,76
1,54	405 141	623 032	X: -2,20; Y: 8,00	12,76	1,43	405 141	577 975	X: -2,20; Y: 8,00	12,76
1,66	61 319	101 613	X: -2,70; Y: 8,00	8,93	1,65	61 319	100 937	X: -2,70; Y: 8,00	8,93
1,60	399 387	638 643	X: -2,70; Y: 8,00	12,93	1,48	399 387	590 458	X: -2,70; Y: 8,00	12,93
1,82	60 718	110 315	X: -3,20; Y: 8,00	9,13	1,79	60 718	108 546	X: -3,20; Y: 8,00	9,13
1,66	396 105	659 097	X: -3,20; Y: 8,00	13,13	1,53	396 105	607 349	X: -3,20; Y: 8,00	13,13
1,98	61 699	122 183	X: -3,70; Y: 8,00	9,35	1,93	61 699	119 257	X: -3,70; Y: 8,00	9,35
1,74	394 407	684 463	X: -3,70; Y: 8,00	13,35	1,59	394 407	628 706	X: -3,70; Y: 8,00	13,35
2,17	63 100	137 075	X: -4,20; Y: 8,00	9,59	2,11	63 100	132 916	X: -4,20; Y: 8,00	9,59
1,81	395 119	714 608	X: -4,20; Y: 8,00	13,59	1,66	395 119	654 393	X: -4,20; Y: 8,00	13,59
1,11	109 131	120 836	X: 0,30; Y: 8,50	8,84	1,15	109 131	125 085	X: 0,30; Y: 8,50	8,84
1,30	502 732	651 997	X: 0,30; Y: 8,50	12,84	1,22	502 732	614 892	X: 0,30; Y: 8,50	12,84
1,14	94 846	108 398	X: -0,20; Y: 8,50	8,84	1,18	94 846	112 265	X: -0,20; Y: 8,50	8,84
1,33	478 214	634 483	X: -0,20; Y: 8,50	12,84	1,25	478 214	597 343	X: -0,20; Y: 8,50	12,84
1,20	84 691	101 728	X: -0,70; Y: 8,50	8,90	1,24	84 691	104 917	X: -0,70; Y: 8,50	8,90
1,37	459 570	627 613	X: -0,70; Y: 8,50	12,90	1,28	459 570	589 323	X: -0,70; Y: 8,50	12,90
1,27	77 312	98 036	X: -1,20; Y: 8,50	8,98	1,30	77 312	100 521	X: -1,20; Y: 8,50	8,98
1,41	445 967	626 648	X: -1,20; Y: 8,50	12,98	1,32	445 967	586 749	X: -1,20; Y: 8,50	12,98
1,37	70 782	97 293	X: -1,70; Y: 8,50	9,10	1,40	70 782	98 813	X: -1,70; Y: 8,50	9,10
1,46	432 748	630 170	X: -1,70; Y: 8,50	13,10	1,36	432 748	588 182	X: -1,70; Y: 8,50	13,10
1,49	66 815	99 434	X: -2,20; Y: 8,50	9,23	1,50	66 815	100 021	X: -2,20; Y: 8,50	9,23
1,51	423 435	639 297	X: -2,20; Y: 8,50	13,23	1,40	423 435	594 746	X: -2,20; Y: 8,50	13,23
1,62	64 381	104 431	X: -2,70; Y: 8,50	9,40	1,62	64 381	104 031	X: -2,70; Y: 8,50	9,40
1,57	415 416	652 696	X: -2,70; Y: 8,50	13,40	1,46	415 416	605 223	X: -2,70; Y: 8,50	13,40
1,78	63 304	112 370	X: -3,20; Y: 8,50	9,59	1,75	63 304	110 888	X: -3,20; Y: 8,50	9,59
1,64	410 777	671 657	X: -3,20; Y: 8,50	13,59	1,51	410 777	620 784	X: -3,20; Y: 8,50	13,59
1,94	63 567	123 234	X: -3,70; Y: 8,50	9,79	1,90	63 567	120 629	X: -3,70; Y: 8,50	9,79
1,70	408 557	695 321	X: -3,70; Y: 8,50	13,79	1,57	408 557	640 638	X: -3,70; Y: 8,50	13,79
2,11	65 075	137 104	X: -4,20; Y: 8,50	10,02	2,05	65 075	133 291	X: -4,20; Y: 8,50	10,02
1,77	407 907	723 748	X: -4,20; Y: 8,50	14,02	1,63	407 907	664 833	X: -4,20; Y: 8,50	14,02

LEGENDA Verifiche di stabilità'
Approccio

Tipo di Approccio seguito.

Stato limite

Tipo di Stato Limite.

Sisma

Sisma agente nella Combinazione.

CS

Coefficiente di sicurezza.

FrzRbit

Forza Ribaltante [N].

FrzRes

Forza Resistente [N].

Centro

Coordinate del centro della circonferenza che delinea la superficie di scorrimento [m].

Raggio

Raggio della circonferenza che delinea la superficie di scorrimento [m].

VERIFICHE A SCORRIMENTO
VERIFICHE A SCORRIMENTO - Approccio 2, Combinazione (A1+M1+R3)

Stato limite	Sisma	CS	FrzP [N]	FrzR [N]
Sezione...				
Verifica 1			-	0
Verifica 2	SLU	NO	-	0
Verifica 3	SLU	NO	-	0
Verifica 4	SLV	SI	3,78	5 691
	SLV	SI	3,90	4 800

LEGENDA Verifiche a scorrimento
Stato limite

Tipo di Stato Limite.

Sisma

Sisma agente nella Combinazione.

CS

Coefficiente di sicurezza.

FrzP

Forza di scorrimento di Progetto [N].

FrzR

Forza Resistente a scorrimento [N].

VERIFICHE A RIBALTIMENTO
VERIFICHE A RIBALTIMENTO - Approccio 2, Combinazione (A1+M1+R3)

Stato limite	Sisma	CS	Mrblt [Nm]	Mstbl [Nm]
Sezione...				
Verifica 1			-	0
Verifica 2	SLU	NO	-	0
Verifica 3	SLU	NO	-	0
Verifica 4	SLV	SI	5,38	4 033
	SLV	SI	4,31	3 787

LEGENDA Verifiche a ribaltamento
Stato limite

Tipo di Stato Limite.

Sisma

Sisma agente nella Combinazione.

CS

Coefficiente di sicurezza.

VERIFICHE A RIBALTIMENTO - Approccio 2, Combinazione (A1+M1+R3)				
Stato limite	Sisma	CS	Mrblt [Nm]	Mstbl [Nm]

Mrblt Momento ribaltante di Progetto [Nm].
Mstbl Momento Stabilizzante [Nm].

VERIFICHE A CARICO LIMITE

VERIFICHE A CARICO LIMITE - Approccio 2, Combinazione (A1+M1+R3)				
Stato limite	Sisma	CS	QMedP [N/mm ²]	QLim [N/mm ²]
Sezione...				
Verifica 1	SLU	NO	8,66	0,03
Verifica 2	SLU	NO	11,25	0,02
Verifica 3	SLV	SI	11,65	0,03
Verifica 4	SLV	SI	13,36	0,02

LEGENDA Verifiche a Carico Limite

Stato limite Tipo di Stato Limite.
Sisma Sisma agente nella Combinazione.
CS Coefficiente di sicurezza.
QMedP Tensione media di Progetto [N/mm²].
QLim Carico Limite [N/mm²].

VERIFICHE A PRESSOFLESSIONE RETTA ALLO SLU

VERIFICHE A PRESSOFLESSIONE RETTA ALLO SLU								
CS _{Sup}	CS _{Inf}	N _{Sup} [N]	My _{Sup} [Nm]	Sollecitazioni	N _{Inf} [N]	My _{Inf} [Nm]	Af _{Sup} [cm ²]	Af _{Inf} [cm ²]
Sezione...								
Paramento								
Sez. calcolo n.1 - Dis: 0,00	-	43,69	11 025	0,00	10 016	-1 483,00	6,16	6,16
Sez. calcolo n.2 - Dis: 0,18	-	56,61	9 675	0,00	8 789	-1 142,00	6,16	6,16
Sez. calcolo n.3 - Dis: 0,36	-	76,24	8 325	0,00	7 563	-846,00	6,16	6,16
Sez. calcolo n.4 - Dis: 0,54	-	6 975	0,00	6 975	0,00	6,16	6,16	
Sez. calcolo n.5 - Dis: 0,72	-	5 625	0,00	5 625	0,00	6,16	6,16	
Sez. calcolo n.6 - Dis: 0,90	-	4 275	0,00	4 275	0,00	6,16	6,16	
Sez. calcolo n.7 - Dis: 1,08	-	2 925	0,00	2 925	0,00	6,16	6,16	
Sez. calcolo n.8 - Dis: 1,26	-	1 575	0,00	1 575	0,00	6,16	6,16	
Sez. calcolo n.9 - Dis: 1,44	-	225	0,00	225	0,00	6,16	6,16	
Fondazione muro								
Sez. calcolo n.10 - Dis: 0,00(Valle)	-	0	0,00	0	0,00	6,16	6,16	
Sez. calcolo n.11 - Dis: 0,06(Valle)	NS	NS	0	8,00	0	-37,00	6,16	6,16
Sez. calcolo n.12 - Dis: 0,11(Valle)	NS	NS	0	14,00	0	-102,00	6,16	6,16
Sez. calcolo n.13 - Dis: 0,17(Valle)	NS	NS	0	11,00	0	-203,00	6,16	6,16
Sez. calcolo n.14 - Dis: 0,22(Valle)	NS	NS	0	0,00	0	-341,00	6,16	6,16
Sez. calcolo n.15 - Dis: 0,28(Valle)	NS	NS	0	0,00	0	-519,00	6,16	6,16
Sez. calcolo n.16 - Dis: 0,33(Valle)	-	86,02	0	0,00	0	-739,00	6,16	6,16
Sez. calcolo n.17 - Dis: 0,39(Valle)	-	63,44	0	0,00	0	-1 002,00	6,16	6,16
Sez. calcolo n.18 - Dis: 0,44(Valle)	-	48,45	0	0,00	0	-1 312,00	6,16	6,16
Sez. calcolo n.19 - Dis: 0,00(Monte)	NS	NS	0	53,00	0	-461,00	6,16	6,16
Sez. calcolo n.20 - Dis: 0,03(Monte)	NS	NS	0	42,00	0	-390,00	6,16	6,16
Sez. calcolo n.21 - Dis: 0,06(Monte)	NS	NS	0	62,00	0	-292,00	6,16	6,16
Sez. calcolo n.22 - Dis: 0,09(Monte)	NS	NS	0	62,00	0	-226,00	6,16	6,16
Sez. calcolo n.23 - Dis: 0,12(Monte)	NS	NS	0	42,00	0	-195,00	6,16	6,16
Sez. calcolo n.24 - Dis: 0,15(Monte)	NS	NS	0	70,00	0	-110,00	6,16	6,16
Sez. calcolo n.25 - Dis: 0,18(Monte)	NS	NS	0	77,00	0	-62,00	6,16	6,16

VERIFICHE A PRESSOFLESSIONE RETTA ALLO SLU

CS _{Sup}	CS _{Inf}	Sollecitazioni				Af _{Sup} [cm ²]	Af _{Inf} [cm ²]
		N _{Sup} [N]	M _y _{Sup} [Nm]	N _{Inf} [N]	M _y _{Inf} [Nm]		
Sez. calcolo n.26 - Dis: 0.21(Monte)	NS	NS	0 63,00	0	-51,00	6,16	6,16
Sez. calcolo n.27 - Dis: 0.24(Monte)	NS	NS	0 73,00	0	-20,00	6,16	6,16

LEGENDA Verifiche a pressoflessione retta allo SLU

CS
N
My
Af_{Sup}
Af_{Inf}
NOTE

Coefficiente di sicurezza per l'armatura superiore ed inferiore.
 Sforzo normale per l'armatura superiore ed inferiore [N].
 Vettore Momento intorno a Y per l'armatura superiore ed inferiore [Nm].
 Armatura Superiore Esecutiva [cm²].
 Armatura Inferiore Esecutiva [cm²].
 Per il paramento: sup=armatura a valle; inf=armatura a monte
 Per la fondazione: sup=armatura superiore; inf=armatura inferiore

VERIFICHE A PRESSOFLESSIONE RETTA ALLO SLE

VERIFICHE A PRESSOFLESSIONE RETTA ALLO SLE

Trazione calcestruzzo			Compressione calcestruzzo			Trazione acciaio		
σ_{ct} [N/mm ²]	N [N]	M _y [N·m]	σ_{cc} [N/mm ²]	N [N]	M _y [N·m]	σ_{at} [N/mm ²]	N [N]	M _y [N·m]
Sezione...								
Paramento								
Sez. calcolo n.1 - Dis: 0.00	AA= PCA	CA=FQR & sm=0,00000 Ae=0,0 cm ² sm=0 mm wk=0,00 mm	0,000 0 0,000 0 0	CA=QPR & sm=0,00000 Ae=0,0 cm ² sm=0 mm wk=0,00 mm	0 0,000 0,000 0 0	0 0 0 0 0	0 0 0 0 0	
Sez. calcolo n.2 - Dis: 0.18	AA= PCA	CA=FQR & sm=0,00000 Ae=0,0 cm ² sm=0 mm wk=0,00 mm	0,000 0 0,000 0 0	CA=QPR & sm=0,00000 Ae=0,0 cm ² sm=0 mm wk=0,00 mm	0 0,000 0,000 0 0	0 0 0 0 0	0 0 0 0 0	
Sez. calcolo n.3 - Dis: 0.36	AA= PCA	CA=FQR & sm=0,00000 Ae=0,0 cm ² sm=0 mm wk=0,00 mm	0,000 0 0,000 0 0	CA=QPR & sm=0,00000 Ae=0,0 cm ² sm=0 mm wk=0,00 mm	0 0,000 0,000 0 0	0 0 0 0 0	0 0 0 0 0	
Sez. calcolo n.4 - Dis: 0.54	AA= PCA	CA=FQR & sm=0,00000 Ae=0,0 cm ² sm=0 mm wk=0,00 mm	0,000 0 0,000 0 0	CA=QPR & sm=0,00000 Ae=0,0 cm ² sm=0 mm wk=0,00 mm	0 0,000 0,000 0 0	0 0 0 0 0	0 0 0 0 0	
Sez. calcolo n.5 - Dis: 0.72	AA= PCA	CA=FQR & sm=0,00000 Ae=0,0 cm ² sm=0 mm wk=0,00 mm	0,000 0 0,000 0 0	CA=QPR & sm=0,00000 Ae=0,0 cm ² sm=0 mm wk=0,00 mm	0 0,000 0,000 0 0	0 0 0 0 0	0 0 0 0 0	
Sez. calcolo n.6 - Dis: 0.90	AA= PCA	CA=FQR & sm=0,00000 Ae=0,0 cm ² sm=0 mm wk=0,00 mm	0,000 0 0,000 0 0	CA=QPR & sm=0,00000 Ae=0,0 cm ² sm=0 mm wk=0,00 mm	0 0,000 0,000 0 0	0 0 0 0 0	0 0 0 0 0	
Sez. calcolo n.7 - Dis: 1.08	AA= PCA	CA=FQR & sm=0,00000 Ae=0,0 cm ² sm=0 mm wk=0,00 mm	0,000 0 0,000 0 0	CA=QPR & sm=0,00000 Ae=0,0 cm ² sm=0 mm wk=0,00 mm	0 0,000 0,000 0 0	0 0 0 0 0	0 0 0 0 0	
Sez. calcolo n.8 - Dis: 1.26	AA= PCA	CA=FQR & sm=0,00000 Ae=0,0 cm ² sm=0 mm wk=0,00 mm	0,000 0 0,000 0 0	CA=QPR & sm=0,00000 Ae=0,0 cm ² sm=0 mm wk=0,00 mm	0 0,000 0,000 0 0	0 0 0 0 0	0 0 0 0 0	
Sez. calcolo n.9 - Dis: 1.44	AA= PCA	CA=FQR & sm=0,00000 Ae=0,0 cm ² sm=0 mm wk=0,00 mm	0,000 0 0,000 0 0	CA=QPR & sm=0,00000 Ae=0,0 cm ² sm=0 mm wk=0,00 mm	0 0,000 0,000 0 0	0 0 0 0 0	0 0 0 0 0	
Fondazione muro								
Sez. calcolo n.10 - Dis: 0.00(Value)	AA= PCA	CA=FQR & sm=0,00000 Ae=0,0 cm ² sm=0 mm wk=0,00 mm	0,000 0 1 0,000 0	CA=QPR & sm=0,00000 Ae=0,0 cm ² sm=0 mm wk=0,00 mm	1 0,001 0 0 0	0 0 0 0 0	1 0 0 0 0	
Sez. calcolo n.11 - Dis: 0.06(Value)	AA= PCA	CA=FQR & sm=0,00000 Ae=0,0 cm ² sm=0 mm wk=0,00 mm	0,000 0 6 0,000 0	CA=QPR & sm=0,00000 Ae=0,0 cm ² sm=0 mm wk=0,00 mm	6 0,005 0 0 0	0 0 0 0 0	6 0 0 0 0	
Sez. calcolo n.12 - Dis: 0.11(Value)	AA= PCA	CA=FQR & sm=0,00000 Ae=0,0 cm ² sm=0 mm wk=0,00 mm	0,001 0 10 -0,001 0	CA=QPR & sm=0,00000 Ae=0,0 cm ² sm=0 mm wk=0,00 mm	10 0,008 0 0 0	0 0 0 0 0	10 0 0 0 0	
Sez. calcolo n.13 - Dis: 0.17(Value)	AA= PCA	CA=FQR & sm=0,00000 Ae=0,0 cm ² sm=0 mm wk=0,00 mm	0,000 0 8 0,000 0	CA=QPR & sm=0,00000 Ae=0,0 cm ² sm=0 mm wk=0,00 mm	8 0,006 0 0 0	0 0 0 0 0	8 0 0 0 0	
Sez. calcolo n.14 - Dis: 0.22(Value)	AA= PCA	CA=FQR & sm=0,00000 Ae=0,0 cm ² sm=0 mm wk=0,00 mm	0,000 0 -6 0,000 0	CA=QPR & sm=0,00000 Ae=0,0 cm ² sm=0 mm wk=0,00 mm	-6 0,005 0 0 0	0 0 0 0 0	-6 0 0 0 0	
Sez. calcolo n.15 - Dis: 0.28(Value)	AA= PCA	CA=FQR & sm=0,00000 Ae=0,0 cm ² sm=0 mm wk=0,00 mm	0,002 0 -38 -0,002 0	CA=QPR & sm=0,00000 Ae=0,0 cm ² sm=0 mm wk=0,00 mm	-38 0,029 0 0 0	0 0 0 0 0	-38 0 0 0 0	
Sez. calcolo n.16 - Dis: 0.33(Value)	AA= PCA	CA=FQR & sm=0,00000 Ae=0,0 cm ² sm=0 mm wk=0,00 mm	0,005 0 -93 -0,005 0	CA=QPR & sm=0,00000 Ae=0,0 cm ² sm=0 mm wk=0,00 mm	-93 0,071 0 0 0	0 0 0 0 0	-93 0 0 0 0	
Sez. calcolo n.17 - Dis: 0.39(Value)	AA= PCA	CA=FQR & sm=0,00000 Ae=0,0 cm ² sm=0 mm wk=0,00 mm	0,010 0 -178 -0,010 0	CA=QPR & sm=0,00000 Ae=0,0 cm ² sm=0 mm wk=0,00 mm	-178 0,135 0 0 0	0 0 0 0 0	-178 0 0 0 0	
Sez. calcolo n.18 - Dis: 0.44(Value)	AA= PCA	CA=FQR & sm=0,00000 Ae=0,0 cm ² sm=0 mm wk=0,00 mm	0,017 0 -297 -0,017 0	CA=QPR & sm=0,00000 Ae=0,0 cm ² sm=0 mm wk=0,00 mm	-297 0,226 0 0 0	0 0 0 0 0	-297 0 0 0 0	
Sez. calcolo n.19 - Dis: 0.00(Monte)	AA= PCA	CA=FQR & sm=0,00000 Ae=0,0 cm ² sm=0 mm wk=0,00 mm	0,021 0 -355 -0,021 0	CA=QPR & sm=0,00000 Ae=0,0 cm ² sm=0 mm wk=0,00 mm	-355 0,270 0 0 0	0 0 0 0 0	-355 0 0 0 0	
Sez. calcolo n.20 - Dis: 0.03(Monte)	AA= PCA	CA=FQR & sm=0,00000 Ae=0,0 cm ² sm=0 mm wk=0,00 mm	0,018 0 -300 -0,018 0	CA=QPR & sm=0,00000 Ae=0,0 cm ² sm=0 mm wk=0,00 mm	-300 0,228 0 0 0	0 0 0 0 0	-300 0 0 0 0	

VERIFICHE A PRESSOFLESSIONE RETTA ALLO SLE									
Trazione calcestruzzo			Compressione calcestruzzo			Trazione acciaio			
σ_{ct}	N	My	σ_{cc}	N	My	σ_{at}	N	My	
[N/mm ²]	[N]	[N·m]	[N/mm ²]	[N]	[N·m]	[N/mm ²]	[N]	[N·m]	
Sez. calcolo n.21 - Dis: 0.06(Monte)									
AA= PCA	CA=FQR & sm=0,00000 Ae=0,0 cm ² sm=0 mm wk=0,00 mm	0,013	0	-225	-0,013	0	-225	0,171	0
AA= PCA	CA=FQR & sm=0,00000 Ae=0,0 cm ² sm=0 mm wk=0,00 mm	0,010	0	-174	-0,010	0	-174	0,132	0
Sez. calcolo n.23 - Dis: 0.12(Monte)									
AA= PCA	CA=FQR & sm=0,00000 Ae=0,0 cm ² sm=0 mm wk=0,00 mm	0,009	0	-150	-0,009	0	-150	0,114	0
Sez. calcolo n.24 - Dis: 0.15(Monte)									
AA= PCA	CA=FQR & sm=0,00000 Ae=0,0 cm ² sm=0 mm wk=0,00 mm	0,005	0	-85	-0,005	0	-85	0,065	0
Sez. calcolo n.25 - Dis: 0.18(Monte)									
AA= PCA	CA=FQR & sm=0,00000 Ae=0,0 cm ² sm=0 mm wk=0,00 mm	0,003	0	-48	-0,003	0	-48	0,037	0
Sez. calcolo n.26 - Dis: 0.21(Monte)									
AA= PCA	CA=FQR & sm=0,00000 Ae=0,0 cm ² sm=0 mm wk=0,00 mm	0,002	0	-39	-0,002	0	-39	0,030	0
Sez. calcolo n.27 - Dis: 0.24(Monte)									
AA= PCA	CA=FQR & sm=0,00000 Ae=0,0 cm ² sm=0 mm wk=0,00 mm	0,001	0	-16	-0,001	0	-16	0,012	0
									-16

LEGENDA Verifiche a pressoflessione retta allo SLE

AA	Identificativo dell'aggressività dell'ambiente: [PCA] = Poco aggressivo - [MDA] = Moderatamente aggressivo - [MLA] = Molto aggressivo.
CA	Identificativo della Combinazione di Azione: [QPR] = Quasi Permanente - [FQR] = Frequente - [RAR] = Rara.
& sm	Deformazione media nel calcestruzzo.
Ae	Area efficace del calcestruzzo tesò.
sm	Distanza media tra le fessure.
wk	Apertura massima delle fessure.
σ_{ct}, N, My	Valori, rispettivamente della tensione massima di trazione nel calcestruzzo e delle componenti della sollecitazione agenti che l'hanno generata, riferite all'asse baricentrico della sezione trasversale(N) ed al sistema baricentrico x, y della sezione trasversale.
σ_{cc}, N, My	Valori, rispettivamente della tensione massima di compressione nel calcestruzzo e delle componenti della sollecitazione agenti che l'hanno generata, riferite all'asse baricentrico della sezione trasversale(N) ed al sistema baricentrico x, y della sezione trasversale.
σ_{at}, N, My	Valori, rispettivamente della tensione massima di trazione nell'acciaio e delle componenti della sollecitazione agenti che l'hanno generata, riferite all'asse baricentrico della sezione trasversale(N) ed al sistema baricentrico x, y della sezione trasversale.

VERIFICHE A TAGLIO PER PRESSOFLESSIONE RETTA ALLO SLU

VERIFICHE A TAGLIO PER PRESSOFLESSIONE RETTA ALLO SLU															
CS+	CS-	Tx+	Tx-	Vcc+	Vcc-	Vwd+	Vwd-	Nd+	Nd-	Vwp+	Vwp-	ctgθ+	ctgθ	AfTe+	AfTe-
Sezione...															
Paramento															
Sez. calcolo n.1 - Dis: 0.00	-	-	0	135 510	135 510	0	0	0	0	0	0	0,00	0,00	0,0000	0,0000
Sez. calcolo n.2 - Dis: 0.18	-	-	0	135 510	135 510	0	0	0	0	0	0	0,00	0,00	0,0000	0,0000
Sez. calcolo n.3 - Dis: 0.36	-	-	0	135 510	135 510	0	0	0	0	0	0	0,00	0,00	0,0000	0,0000
Sez. calcolo n.4 - Dis: 0.54	-	-	0	135 510	135 510	0	0	0	0	0	0	0,00	0,00	0,0000	0,0000
Sez. calcolo n.5 - Dis: 0.72	-	-	0	135 510	135 510	0	0	0	0	0	0	0,00	0,00	0,0000	0,0000
Sez. calcolo n.6 - Dis: 0.90	-	-	0	135 510	135 510	0	0	0	0	0	0	0,00	0,00	0,0000	0,0000
Sez. calcolo n.7 - Dis: 1.08	-	-	0	135 510	135 510	0	0	0	0	0	0	0,00	0,00	0,0000	0,0000
Sez. calcolo n.8 - Dis: 1.26	-	-	0	135 510	135 510	0	0	0	0	0	0	0,00	0,00	0,0000	0,0000
Sez. calcolo n.9 - Dis: 1.44	-	-	0	135 510	135 510	0	0	0	0	0	0	0,00	0,00	0,0000	0,0000
Fondazione muro															
Sez. calcolo n.10 - Dis: 0.00(Valle)	NS	-	84	0	135 510	135 510	0	0	0	0	0	0,00	0,00	0,0000	0,0000
Sez. calcolo n.11 - Dis: 0.06(Valle)	NS	-	134	0	135 510	135 510	0	0	0	0	0	0,00	0,00	0,0000	0,0000
Sez. calcolo n.12 - Dis: 0.11(Valle)	NS	-	49	0	135 510	135 510	0	0	0	0	0	0,00	0,00	0,0000	0,0000
Sez. calcolo n.13 - Dis: 0.17(Valle)	-	NS	0	-170	135 510	135 510	0	0	0	0	0	0,00	0,00	0,0000	0,0000
Sez. calcolo n.14 - Dis: 0.22(Valle)	-	NS	0	-522	135 510	135 510	0	0	0	0	0	0,00	0,00	0,0000	0,0000
Sez. calcolo n.15 - Dis: 0.28(Valle)	-	NS	0	-1 010	135 510	135 510	0	0	0	0	0	0,00	0,00	0,0000	0,0000
Sez. calcolo n.16 - Dis: 0.33(Valle)	-	83,03	0	-1 632	135 510	135 510	0	0	0	0	0	0,00	0,00	0,0000	0,0000
Sez. calcolo n.17 - Dis: 0.39(Valle)	-	56,72	0	-2 389	135 510	135 510	0	0	0	0	0	0,00	0,00	0,0000	0,0000
Sez. calcolo n.18 - Dis: 0.44(Valle)	-	41,33	0	-3 279	135 510	135 510	0	0	0	0	0	0,00	0,00	0,0000	0,0000
Sez. calcolo n.19 - Dis: 0.00(Monte)	-	71,13	0	-1 905	135 510	135 510	0	0	0	0	0	0,00	0,00	0,0000	0,0000

VERIFICHE A TAGLIO PER PRESSOFLESSIONE RETTA ALLO SLU															
CS+	CS-	Tx+ [N]	Tx- [N]	Vcc+ [N]	Vcc- [N]	Vwd+ [N]	Vwd- [N]	Nd+ [N]	Nd- [N]	Vwp+ [N]	Vwp- [N]	ctgθ+ [cm ² /cm]	ctgθ [cm ² /cm]	AfTe+ [cm ² /cm]	AfTe- [cm ² /cm]
Sez. calcolo n.20 - Dis: 0,03(Monte)															
-	35,72	0	-3 794	135 510	135 510	0	0	0	0	0	0	0,00	0,00	0,0000	0,0000
Sez. calcolo n.21 - Dis: 0,06(Monte)															
-	49,60	0	-2 732	135 510	135 510	0	0	0	0	0	0	0,00	0,00	0,0000	0,0000
Sez. calcolo n.22 - Dis: 0,09(Monte)															
-	83,19	0	-1 629	135 510	135 510	0	0	0	0	0	0	0,00	0,00	0,0000	0,0000
Sez. calcolo n.23 - Dis: 0,12(Monte)															
-	NS	0	-487	135 510	135 510	0	0	0	0	0	0	0,00	0,00	0,0000	0,0000
Sez. calcolo n.24 - Dis: 0,15(Monte)															
-	61,12	0	-2 217	135 510	135 510	0	0	0	0	0	0	0,00	0,00	0,0000	0,0000
Sez. calcolo n.25 - Dis: 0,18(Monte)															
-	NS	0	-994	135 510	135 510	0	0	0	0	0	0	0,00	0,00	0,0000	0,0000
Sez. calcolo n.26 - Dis: 0,21(Monte)															
NS	-	268	0	135 510	135 510	0	0	0	0	0	0	0,00	0,00	0,0000	0,0000
Sez. calcolo n.27 - Dis: 0,24(Monte)															
-	NS	0	-1 342	135 510	135 510	0	0	0	0	0	0	0,00	0,00	0,0000	0,0000

LEGENDA Verifiche a taglio per pressoflessione retta allo SLU

CS+, CS-

Coefficienti di sicurezza relativi alle sollecitazioni "Tx+" e "Tx-" : [NS] = Non Significativo - Per valori di CS maggiori o uguali a 100.

Tx+, Tx-

Valori massimo e minimo della sollecitazione di taglio.

Vcc+, Vcc-

Valori massimo e minimo del taglio ultimo, per conglomerato compresso.

Vwd+, Vwd-

Contributi dell'acciaio al taglio ultimo dovuto alle staffe, relativi alle sollecitazioni "Tx+" e "Tx-".

Nd+, Nd-

Sforzo normale.

Vwp+, Vwp-

Contributo acciaio al Taglio ultimo dovuto ai ferri piegati, relativi alle sollecitazioni "Tx+" e "Tx-".

ctgθ+, ctgθ

ctg(θ) utilizzato nel calcolo di Vcc, Vwd e Vwp.

AfTe+, AfTe-

Aree di ferro per il taglio in un centimetro, relativi alle sollecitazioni "Tx+" e "Tx-".

VERIFICHE DEGLI SPOSTAMENTI

VERIFICHE DEGLI SPOSTAMENTI						
in assenza di sisma allo SLE			in presenza di sisma allo SLD			
CS	SpAmm [cm]	Sp [cm]	CS	SpAmm [cm]	Sp [cm]	
Sezione	-	10,0000	0,0000	-	10,0000	0,0000

LEGENDA Verifiche degli spostamenti

CS

Coefficiente di sicurezza.

SpAmm

Spostamento ammissibile della testa del muro [cm].

Sp

Spostamento calcolato alla testa del muro [cm].

INDICE

<u>INFORMAZIONI GENERALI</u>	pag.	2
<u>MATERIALI</u>	pag.	2
<u>TERRENI</u>	pag.	2
<u>CONDIZIONI DI CARICO</u>	pag.	2
<u>SLE: COMBINAZIONE DI AZIONI QUASI PERMANENTE - COEFFICIENTI</u>	pag.	2
<u>SLE: COMBINAZIONE DI AZIONI FREQUENTE - COEFFICIENTI</u>	pag.	3
<u>SLE: COMBINAZIONE DI AZIONI RARA - COEFFICIENTI</u>	pag.	3
<u>SLU: COMBINAZIONI DI CARICO IN ASSENZA DI SISMA - COEFFICIENTI</u>	pag.	3
<u>SLU: COMBINAZIONI DI CARICO IN PRESENZA DI SISMA - COEFFICIENTI</u>	pag.	3
<u>DATI GENERALI ANALISI SISMICA</u>	pag.	3
<u>GEOMETRIA</u>	pag.	3
<u>CARATTERISTICHE MECCANICHE DEGLI STRATI</u>	pag.	6
<u>SPINTE SUL PARAMENTO ALLO SLU</u>	pag.	6
<u>SPINTE SUL CUNEO ALLO SLU</u>	pag.	6
<u>SPINTE SUL PARAMENTO ALLO SLE</u>	pag.	7
<u>SPINTE SUL CUNEO ALLO SLE</u>	pag.	7
<u>SOLLECITAZIONI SUL PARAMENTO</u>	pag.	7
<u>SOLLECITAZIONI SULLA FONDAZIONE</u>	pag.	9
<u>TENSIONI SUL TERRENO</u>	pag.	13
<u>VERIFICHE DI STABILITA'</u>	pag.	13
<u>VERIFICHE A SCORRIMENTO</u>	pag.	23
<u>VERIFICHE A RIBALTIMENTO</u>	pag.	24

<u>VERIFICHE A CARICO LIMITE</u> pag.	24
<u>VERIFICHE A PRESSOFLESSIONE RETTA ALLO SLU</u> pag.	24
<u>VERIFICHE A PRESSOFLESSIONE RETTA ALLO SLE</u> pag.	25
<u>VERIFICHE A TAGLIO PER PRESSOFLESSIONE RETTA ALLO SLU</u> pag.	26
<u>VERIFICHE DEGLI SPOSTAMENTI</u> pag.	27

Relazione di calcolo muro di sottoscarpa su pali

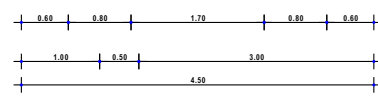
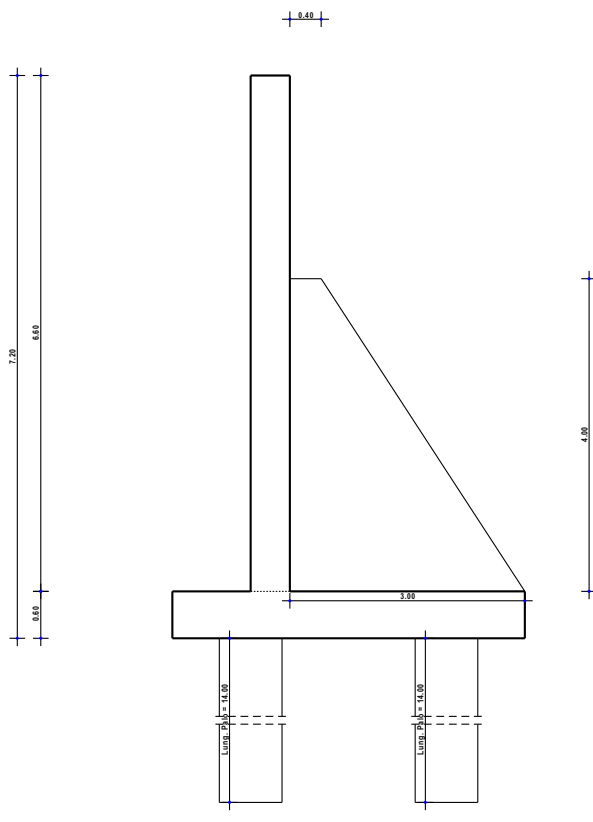
H=6.6m

1 - DESCRIZIONE GENERALE DELL'OPERA

Il muro oggetto della relazione di calcolo ha lo scopo di contenere il terreno per la realizzazione di un muro di sottoscarpa. La tipologia di muro impiegata è quella di muro a mensola in c.a. Il muro ha un'altezza di 6.6 m e spessore del paramento costante lungo l'altezza di 0.5 m.

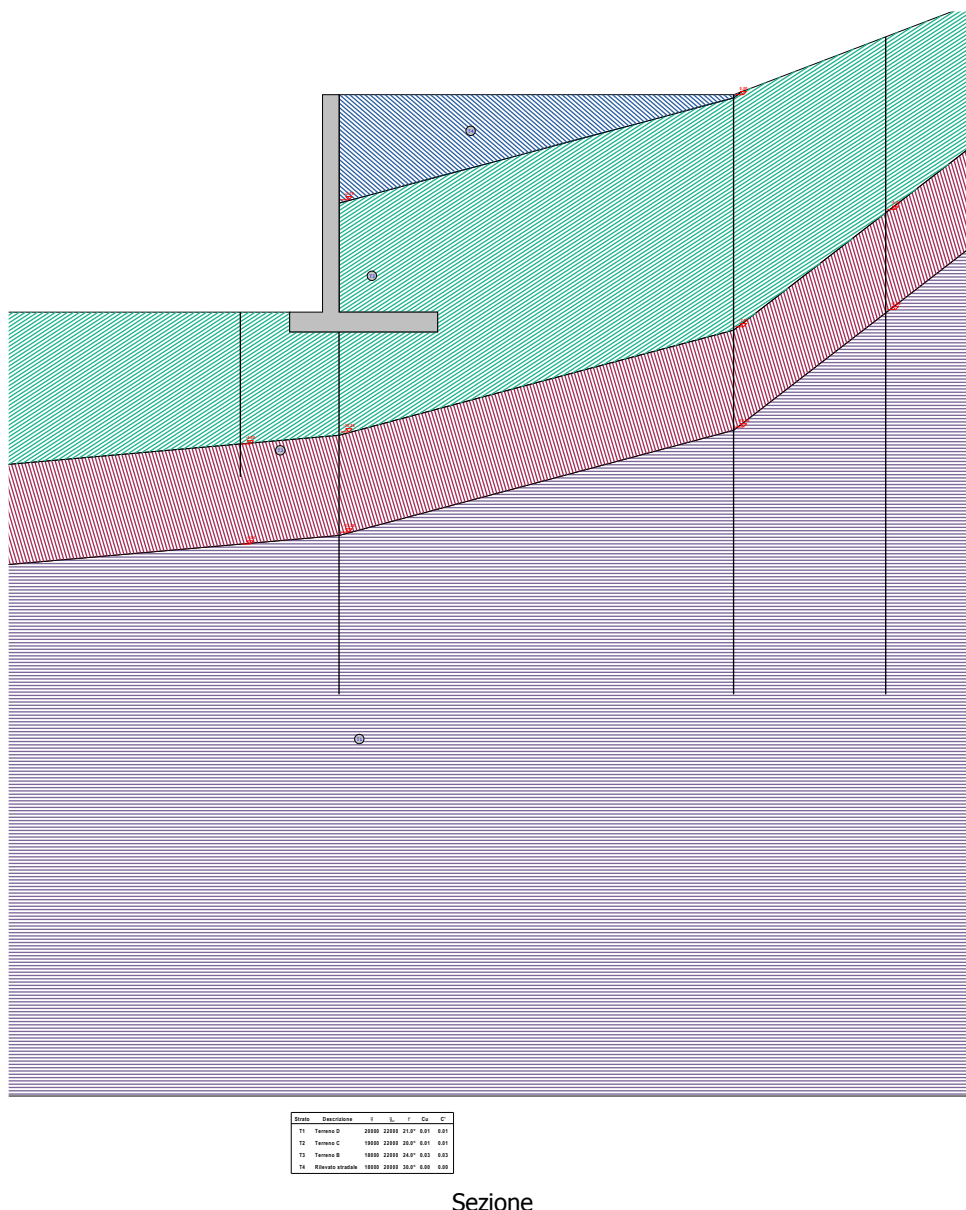
Vengono di seguito riportate delle viste, in sezione, allo scopo di consentire una migliore comprensione dell'opera in oggetto della presente relazione:

Vista in Sezione



Vista Sezione

Vista Stratigrafica



2 - NORMATIVA DI RIFERIMENTO

Le fasi di analisi e verifica della struttura sono state condotte in accordo alle seguenti disposizioni normative, per quanto applicabili in relazione al criterio di calcolo adottato dal progettista, evidenziato nel prosieguo della presente relazione:

Legge 5 novembre 1971 n. 1086 (G. U. 21 dicembre 1971 n. 321)

"Norme per la disciplina delle opere di conglomerato cementizio armato, normale e precompresso ed a struttura metallica"

Legge 2 febbraio 1974 n. 64 (G. U. 21 marzo 1974 n. 76)

"Provvedimenti per le costruzioni con particolari prescrizioni per le zone sismiche"

Indicazioni progettive per le nuove costruzioni in zone sismiche a cura del Ministero per la Ricerca Scientifica - Roma 1981.

C.N.R. n. 10024/1986

"Analisi di strutture mediante elaboratore. Impostazione e Redazione delle relazioni di calcolo"

D. M. Infrastrutture Trasporti 17 gennaio 2018 (G.U. 20 febbraio 2018 n. 42 - Suppl. Ord.)
"Norme tecniche per le Costruzioni"

Inoltre, in mancanza di specifiche indicazioni, ad integrazione della norma precedente e per quanto con esse non in contrasto, sono state utilizzate le indicazioni contenute nella:

Circolare 2 febbraio 2009 n. 617 del Ministero delle Infrastrutture e dei Trasporti (G.U. 26 febbraio 2009 n. 27 – Suppl. Ord.)
"Istruzioni per l'applicazione delle 'Norme Tecniche delle Costruzioni' di cui al D.M. 14 gennaio 2008".

Eurocodice 7 – "Progettazione geotecnica" - ENV 1997-1.

3 - MATERIALI IMPIEGATI E RESISTENZE DI CALCOLO

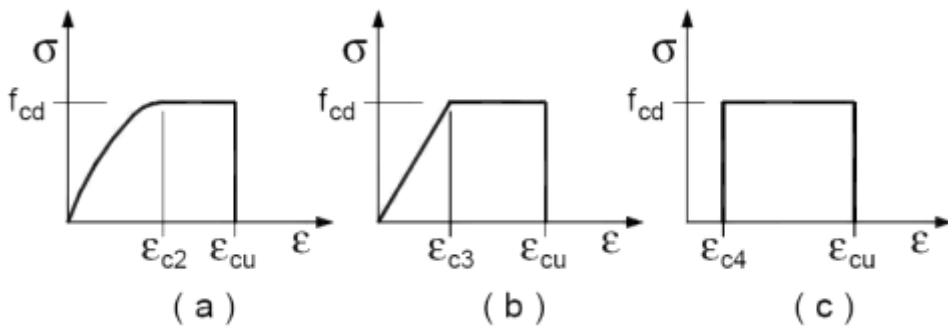
Per la realizzazione dell'opera in oggetto saranno impiegati i seguenti materiali:

- Calcestruzzo di tipo C25/30 (Resistenza caratteristica $R_{ck} = 30 \text{ N/mm}^2$) armato con barre di acciaio ad aderenza migliorata di tipo B450C (Resistenza caratteristica $F_{yk} = 450 \text{ N/mm}^2$)
I valori dei parametri caratteristici dei suddetti materiali sono riportati nei tabulati di calcolo, nella relativa sezione.

Per ciascuna classe di calcestruzzo impiegata sono riportati i valori di:

Resistenza di calcolo a trazione (f_{ctd})
Resistenza a rottura per flessione (f_{cfm})
Resistenza tangenziale di calcolo (τ_{Rd})
Modulo elastico normale (E)
Modulo elastico tangenziale (G)
Coefficiente di sicurezza allo Stato Limite Ultimo del materiale (γ_c)
Resistenza cubica caratteristica del materiale (R_{ck})
Coefficiente di Omogeneizzazione
Peso Specifico
Coefficiente di dilatazione termica

I diagrammi costitutivi del calcestruzzo sono stati adottati in conformità alle indicazioni riportate al punto 4.1.2.1.2.1 del D.M. 17 gennaio 2018; in particolare per le verifiche effettuate a pressoflessione retta è stato adottato il modello riportato in fig. (a).



Diagrammi di calcolo tensione/deformazione del calcestruzzo.

La deformazione massima $\varepsilon_{c,max}$ è assunta pari a 0.0035.

Per l'acciaio sono riportati i valori di:

Tensione caratteristica di snervamento trazione (f_{yk})
Modulo elastico normale (E)

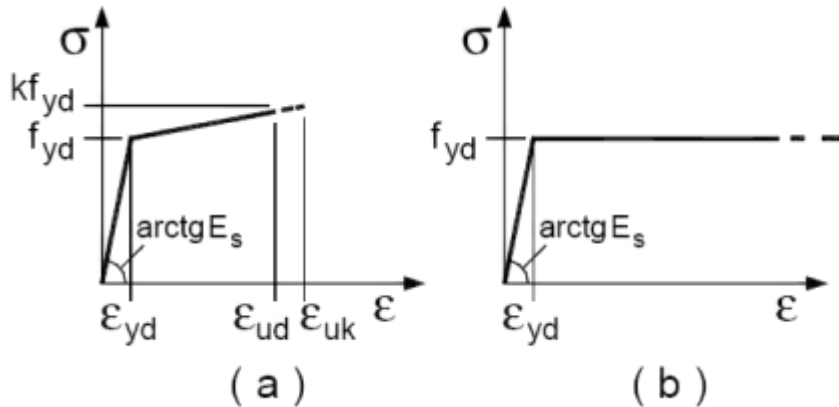
Modulo elastico tangenziale (G)

Coefficiente di sicurezza allo Stato Limite Ultimo del materiale (γ_f)

Peso Specifico

Coefficiente di dilatazione termica

I diagrammi costitutivi dell'acciaio sono stati adottati in conformità alle indicazioni riportate al punto 4.1.2.1.2.2 del D.M. 17 gennaio 2018; in particolare è stato adottato il modello elastico perfettamente plastico descritto in b).



La resistenza di calcolo è data da f_{yk} / γ_f . Il coefficiente di sicurezza γ_f si assume pari a 1.15.

Tutti i materiali impiegati dovranno essere comunque verificati con opportune prove di laboratorio secondo le prescrizioni della vigente Normativa.

4 - TERRENO DI FONDAZIONE

Le indagini effettuate, mirate alla valutazione della velocità delle onde di taglio (V_{S30}) e/o del numero di colpi dello Standard Penetration Test (NSPT), permettono di classificare il profilo stratigrafico, ai fini della determinazione dell'azione sismica, di categoria **C [Depositi di terreni a grana grossa mediamente addensati o terreni a grana fina mediamente consistenti con profondità del substrato superiori a 30 m, caratterizzati da un miglioramento delle proprietà meccaniche con la profondità e da valori di velocità equivalenti compresi tra 180 m/s e 360 m/s.]**.

Tutti i parametri che caratterizzano i terreni di fondazione sono riportati nei tabulati di calcolo, nella relativa sezione. Per ulteriori dettagli si rimanda alle relazioni geologica e geotecnica.

5 - METODO DI CALCOLO DELLA SPINTA DEL TERRAPIENO

La pressione esercitata da un terreno contro un muro è simile alla spinta idrostatica; infatti, essa aumenta in funzione della profondità **h** e può essere così espressa:

$$p = K \cdot h \cdot \gamma$$

dove γ è il peso dell'unità di volume del terreno e **K** è un coefficiente che dipende dall'angolo di attrito interno, dagli angoli di inclinazione del terrapieno e del paramento del muro, dall'angolo di attrito terra-muro, nonché dal tipo di spinta che si vuole calcolare (attiva e passiva).

Esistono due modalità di calcolo della spinta:

- Spinta attiva: quando il muro subisce una rotazione, sia pure piccola, verso l'esterno (valle).
- Spinta passiva: quando il muro subisce una rotazione, sia pure piccola, premendo contro il terrapieno (monte).

Tra le varie ipotesi che si utilizzano per il calcolo della spinta, si è utilizzata quella dovuta al **Coulomb**,

opportunamente modificata ed ampliata per tener conto di tutte le eventualità che possono presentarsi:

- Attrito terra-muro.
- Paramento inclinato.
- Profilo del piano di campagna di forma generica.
- Carichi distribuiti/concentrati disposti in maniera arbitraria sul profilo.
- Stratigrafia costituita da un numero illimitato di strati o lenti, costituiti da terreni coerenti e/o incoerenti.
- Falda acquifera, eventualmente inclinata.

Il metodo di Coulomb presuppone una linea di rottura piana del terreno che parte dalla base del muro; la spinta è l'integrale delle pressioni agenti calcolate lungo la verticale del cuneo di spinta.

Vengono esaminate tutte le possibili superfici di scorrimento per individuare in automatico quella per la quale la spinta è massima.

Il calcolo della distribuzione delle pressioni lungo l'altezza del paramento del muro avviene col metodo delle strisce dovuto a **Huntington**, che consiste nel considerare tante ipotetiche linee di frattura lungo l'altezza parallele a quella della superficie di scorrimento. Costruito il diagramma delle pressioni sul muro è quindi possibile trovare la risultante ed il punto di applicazione della spinta.

Questo procedimento viene applicato:

- sul cuneo che parte dal vertice in basso a monte del paramento, ciò al fine di ottenere le azioni con cui si andranno a verificare le sezioni del paramento stesso.
- sul cuneo che parte dal vertice in basso della fondazione a monte, ciò al fine di ottenere le azioni massime necessarie per le verifiche allo scorrimento e al carico limite sulla fondazione stessa.

Nel caso di presenza di falda acquifera retrostante al muro e assenza di drenaggio, se ne tiene conto sia nel calcolo della spinta che nella verifica a carico limite della fondazione, considerando la sottospinta di galleggiamento.

Per quanto riguarda le azioni sismiche, per ognuna delle strisce prima menzionate e per ogni spinta ad esse afferente, viene calcolato il corrispondente incremento sismico valutando la massa della striscia e moltiplicandola per il coefficiente sismico orizzontale k_h .

6 - VALUTAZIONE DELL'AZIONE SISMICA

La valutazione della spinta del terreno in zona sismica, secondo quanto prevede il D.M. 17 gennaio 2018 "Norme tecniche per le Costruzioni" al § 3.2.3 e al § 7.11.6.2.1, è stata eseguita utilizzando metodi *pseudo-statici*.

In particolare il procedimento per la definizione dei parametri sismici di progetto per i vari Stati Limite per cui sono state effettuate le verifiche è stato il seguente:

- definizione della Vita Nominale e della Classe d'Uso della struttura, il cui uso combinato ha portato alla definizione del Periodo di Riferimento dell'azione sismica.
- Individuazione, tramite latitudine e longitudine, dei parametri sismici di base a_g , F_0 e T_c^* per tutti e quattro gli Stati Limite previsti (SLO, SLD, SLV e SLC); l'individuazione è stata effettuata interpolando tra i 4 punti più vicini al punto di riferimento dell'edificio.
- Determinazione dei coefficienti d'amplificazione stratigrafica e topografica.
- Calcolo del periodo T_c corrispondente all'inizio del tratto a velocità costante dello Spettro.

L'utilizzo di metodi pseudo-statici, consente di ricondurre l'azione sismica, che è un'azione dinamica variabile nel tempo e nello spazio, ad un insieme di forze statiche equivalenti, orizzontali e verticali, mediante l'utilizzo di coefficienti sismici, che dipendono dalla zona sismica, dalle condizioni locali e dall'entità degli spostamenti ammessi per l'opera considerata. Tali coefficienti vengono utilizzati, oltre che per valutare le forze di inerzia sull'opera, anche per determinare la spinta retrostante il muro, mediante l'utilizzo della teoria di Mononobe Okabe.

Come specificato al § 7.11.6.2.1, in assenza di studi specifici, i coefficienti sismici orizzontale k_h e verticale

k_v , devono essere calcolati come:

$$k_h = \beta_m \cdot \frac{a_{\max}}{g} \quad [7.11.6]$$

$$k_v = \pm 0.5 \cdot k_h \quad [7.11.7]$$

dove:

a_{\max} = accelerazione orizzontale massima attesa al sito.

In assenza di analisi specifiche della risposta sismica locale, l'accelerazione massima è valutata con la relazione:

$$a_{\max} = S_s \cdot S_t \cdot a_g \quad [7.11.8]$$

dove:

S = coefficiente che comprende l'effetto dell'amplificazione stratigrafica (S_s) e dell'amplificazione topografica (S_t), di cui al §3.2.3.2;

a_g = accelerazione orizzontale massima attesa su sito di riferimento rigido.

Nella precedente espressione, il coefficiente β_m di riduzione dell'accelerazione massima attesa al sito è pari a:

$\beta_m = 0.38$ nelle verifiche allo stato limite ultimo (SLV)

$\beta_m = 0.47$ nelle verifiche allo stato limite di esercizio (SLD)

Lo stato limite di ribaltamento è trattato impiegando coefficienti parziali unitari sulle azioni e sui parametri geotecnici (§ 7.11.1) e utilizzando valori di β_m incrementati del 50% rispetto a quelli innanzi indicati e comunque non superiori all'unità.

Si riportano di seguito le coordinate geografiche del sito ed i relativi dati di pericolosità sismica:

Latitudine: $41^{\circ} 11' 55.00''$ Longitudine: $14^{\circ} 50' 56.00''$ Altitudine: 345

DATI GENERALI ANALISI SISMICA

TP	Coef Ampl Topog	Dati generali analisi sismica						
		β_s	β_m	K_{Stbl}	K_{Muro}	Latitudine	Longitudine	Altitudine
C	1,20	0,28	0,38	0,13	0,18	$41^{\circ} 11' 55.00''$	$14^{\circ} 50' 56.00''$	345

Classe Edificio	Vita Nominale	Periodo di Riferimento	Dati generali analisi sismica		
			[adim]	[anni]	[anni]
			3	50	75

SL	Tr	Ag	Ss	F0	T*c	Dati generali analisi sismica	
						[adim]	[anni]
SLO	45	0,0785	1,500	2,360	0,294		
SLD	75	0,1033	1,500	2,336	0,318		
SLV	712	0,3175	1,262	2,297	0,386		
SLC	1462	0,4215	1,106	2,350	0,410		

LEGENDA Dati generali analisi sismica

TP	Tipo terreno prevalente, categoria di suolo di fondazione come definito al punto 3.2.2 delle Norme tecniche per le costruzioni.
Coef Ampl Topog	Coefficiente di amplificazione topografica.
β_s	Coefficiente di riduzione di accelerazione massima per Verifica di stabilità'.
β_m	Coefficiente di riduzione di accelerazione massima per Muro di sostegno.
K_{Stbl}	Coefficiente per il calcolo della spinta per Verifica di stabilità'.
K_{Muro}	Coefficiente per il calcolo della spinta per Muro di sostegno.
Latitudine	Latitudine geografica del sito [gradi].

**Longitudine
Altitudine**

SL	Tr	Ag	Ss	F0	T*c
[adim]	[anni]	[adim]	[adim]	[adim]	[s]

Longitudine geografica del sito [gradi].
Altitudine geografica del sito sul livello medio del mare [m].

7 - SCENARI DI CARICO

I calcoli e le verifiche sono condotti con il metodo semiprobabilistico degli stati limite secondo le indicazioni del D.M. 17 gennaio 2018.

Le azioni introdotte direttamente sono combinate con le altre (carichi permanenti, accidentali e sisma) mediante le combinazioni di carico di seguito descritte. Da esse si ottengono i valori probabilistici da impiegare successivamente nelle verifiche.

La **verifica di stabilità globale** del complesso opera di sostegno-terreno deve essere effettuata, analogamente a quanto previsto al § 6.8, secondo l'**Approccio 1**, con la **Combinazione 2 (A2+M2+R2)**, tenendo conto dei coefficienti parziali riportati nelle Tabelle 6.2.I e 6.2.II per le azioni e i parametri geotecnici e nella Tab. 6.8.I per le verifiche di sicurezza di opere di materiali sciolti e fronti di scavo.

Le rimanenti verifiche devono essere effettuate secondo l'**Approccio 2**, con la **combinazione (A1+M1+R3)**, tenendo conto dei valori dei coefficienti parziali riportati nelle Tabelle 6.2.I, 6.2.II e 6.5.I.

Nella verifica a ribaltamento i coefficienti R3 della Tab. 6.5.I si applicano agli effetti delle azioni stabilizzanti.

Tab. 6.2.II – Coefficienti parziali per i parametri geotecnici del terreno

PARAMETRO	Grandezza alla quale applicare il coefficiente parziale	Coefficiente parziale γ_M	M1	M2
Tangente dell'angolo di resistenza al taglio	$\tan \varphi'$	$\gamma_{\varphi'}$	1.00	1.25
Coesione efficace	c'_k	$\gamma_{c'}$	1.00	1.25
Resistenza non drenata	c_{uk}	γ_{cu}	1.00	1.40

Tab. 6.5.I – Coefficienti parziali γ_R per le verifiche agli stati limite ultimi STR e GEO di muri di sostegno.

VERIFICA	Coefficiente parziale γ_R (R3)
Capacità portante della fondazione	1.4
Scorrimento	1.1
Ribaltoamento	1.5
Resistenza del terreno a valle	1.4

Nelle verifiche di sicurezza per effetto delle azioni sismiche si controlla che la resistenza del sistema sia maggiore delle azioni nel rispetto della condizione [6.2.1], ponendo pari all'unità i coefficienti parziali sulle azioni e sui parametri geotecnici (§ 7.11.1) e impiegando le resistenze di progetto con i coefficienti parziali γ_R indicati nella tabella 7.11.III.

Tab. 7.11.III – Coefficienti parziali γ_R per le verifiche agli stati limite ultimi (SLV) dei muri di sostegno.

VERIFICA	Coefficiente parziale γ_R
----------	----------------------------------

Capacità portante della fondazione	1.2
Scorrimento	1.0
Ribaltamento	1.0
Resistenza del terreno a valle	1.2

Sono stati considerati i seguenti Stati Limite.

7.1 Stato Limite Ultimo e di Salvaguardia della Vita

Le azioni sulla costruzione sono state cumulate in modo da determinare condizioni di carico tali da risultare più sfavorevoli ai fini delle singole verifiche, tenendo conto della probabilità ridotta di intervento simultaneo di tutte le azioni con i rispettivi valori più sfavorevoli, come consentito dalle norme vigenti.

Per gli stati limite ultimi sono state adottate le combinazioni del tipo:

$$\gamma_{G1} \cdot G_1 + \gamma_{G2} \cdot G_2 + \gamma_P \cdot P + \gamma_{Q1} \cdot Q_{k1} + \gamma_{Q2} \cdot \psi_{02} \cdot Q_{k2} + \gamma_{Q3} \cdot \psi_{03} \cdot Q_{k3} + \dots$$

dove:

G_1 rappresenta il peso proprio di tutti gli elementi strutturali; peso proprio del terreno, quando pertinente; forze indotte dal terreno (esclusi gli effetti di carichi variabili applicati al terreno); forze risultanti dalla pressione dell'acqua (quando si configurino costanti nel tempo);

G_2 rappresenta il peso proprio di tutti gli elementi non strutturali;

P rappresenta pretensione e precompressione;

Q azioni sulla struttura o sull'elemento strutturale con valori istantanei che possono risultare sensibilmente diversi fra loro nel tempo:

- di lunga durata: agiscono con un'intensità significativa, anche non continuativamente, per un tempo non trascurabile rispetto alla vita nominale della struttura;
- di breve durata: azioni che agiscono per un periodo di tempo breve rispetto alla vita nominale della struttura;

Q_{ki} rappresenta il valore caratteristico della i -esima azione variabile;

$\gamma_G, \gamma_Q, \gamma_P$ coefficienti parziali come definiti nella Tab. 6.2.I del DM 17 gennaio 2018;

ψ_{0i} sono i coefficienti di combinazione per tenere conto della ridotta probabilità di concomitanza delle azioni variabili con i rispettivi valori caratteristici.

Tab. 6.2.I D.M 17/01/2018

CARICHI	EFFETTO	Coefficiente γ_F (o γ_E)	EQU	(A1) STR	(A2) GEO
Carichi permanenti	favorevoli	γ_{G1}	0.9	1.0	1.0
	sfavorevoli		1.1	1.3	1.0
Carichi permanenti non strutturali ⁽¹⁾	favorevoli	γ_{G21}	0.8	0.8	0.8
	sfavorevoli		1.5	1.5	1.3
Carichi variabili	favorevoli	γ_{Qi}	0.0	0.0	0.0
	sfavorevoli		1.5	1.5	1.3

⁽¹⁾ Nel caso in cui i carichi permanenti non strutturali (ad es. carichi permanenti portati) siano compiutamente definiti si potranno adottare per essi gli stessi coefficienti validi per le azioni permanenti.

Le combinazioni risultanti sono state costruite a partire dalle sollecitazioni caratteristiche calcolate per ogni condizione di carico elementare: ciascuna condizione di carico accidentale, a rotazione, è stata considerata sollecitazione di base (Q_{k1} nella formula precedente).

I coefficienti relativi a tali combinazioni di carico sono riportati negli allegati tabulati di calcolo.

In zona sismica, oltre alle sollecitazioni derivanti dalle generiche condizioni di carico statiche, devono essere considerate anche le sollecitazioni derivanti dal sisma. L'azione sismica è stata combinata

con le altre azioni secondo la seguente relazione:

$$G_1 + G_2 + P + E + \sum \psi_{2i} \cdot Q_{ki}$$

dove:

- E azione sismica per lo stato limite e per la classe di importanza in esame;
- G_1 rappresenta peso proprio di tutti gli elementi strutturali;
- G_2 rappresenta il peso proprio di tutti gli elementi non strutturali;
- P_k rappresenta pretensione e precompressione;
- ψ_{2i} coefficiente di combinazione delle azioni variabili Q_i ;
- Q_{ki} valore caratteristico dell'azione variabile Q_i .

I valori dei coefficienti ψ_{2i} sono riportati nella seguente tabella:

Categoria/Azione	ψ_{2i}
Categoria A – Ambienti ad uso residenziale	0,3
Categoria B – Uffici	0,3
Categoria C – Ambienti suscettibili di affollamento	0,6
Categoria D – Ambienti ad uso commerciale	0,6
Categoria E – Biblioteche, archivi, magazzini e ambienti ad uso industriale	0,8
Categoria F – Rimesse e parcheggi (per autoveicoli di peso ≤ 30 kN)	0,6
Categoria G – Rimesse e parcheggi (per autoveicoli di peso > 30 kN)	0,3
Categoria H – Coperture accessibili per sola manutenzione	0,0
Categoria I – Coperture praticabili	da valutarsi caso per caso
Vento	0,0
Neve (a quota ≤ 1000 m s.l.m.)	0,0
Neve (a quota > 1000 m s.l.m.)	0,2
Variazioni termiche	0,0

7.2 Stati Limite di Esercizio

Allo Stato Limite di Esercizio le sollecitazioni con cui sono state semiprogettate le aste in c.a. sono state ricavate applicando le formule riportate nel D.M. 17 gennaio 2018 - Norme tecniche per le costruzioni - al punto 2.5.3. Per le verifiche agli stati limite di esercizio, a seconda dei casi, si fa riferimento alle seguenti combinazioni di carico:

combinazione caratteristica o rara $F_d = \sum_{j=1}^m (G_{kj}) + Q_{k1} + \sum_{i=2}^n (\psi_{0i} \cdot Q_{ki}) + \sum_{h=1}^l (P_{kh})$

combinazione frequente $F_d = \sum_{j=1}^m (G_{kj}) + \psi_{11} \cdot Q_{k1} + \sum_{i=2}^n (\psi_{2i} \cdot Q_{ki}) + \sum_{h=1}^l (P_{kh})$

combinazione quasi permanente $F_d = \sum_{j=1}^m (G_{kj}) + \psi_{21} \cdot Q_{k1} + \sum_{i=2}^n (\psi_{2i} \cdot Q_{ki}) + \sum_{h=1}^l (P_{kh})$

dove:

- G_{kj} valore caratteristico della j-esima azione permanente;
- P_{kh} valore caratteristico della h-esima deformazione impressa;
- Q_{k1} valore caratteristico dell'azione variabile di base di ogni combinazione;
- Q_{ki} valore caratteristico della i-esima azione variabile;
- ψ_{0i} coefficiente atto a definire i valori delle azioni ammissibili di durata breve ma ancora significativi nei riguardi della possibile concomitanza con altre azioni variabili;

- ψ_{1i} coefficiente atto a definire i valori delle azioni ammissibili ai frattili di ordine 0,95 delle distribuzioni dei valori istantanei;
- ψ_{2i} coefficiente atto a definire i valori quasi permanenti delle azioni ammissibili ai valori medi delle distribuzioni dei valori istantanei.

Ai coefficienti ψ_{0i} , ψ_{1i} , ψ_{2i} sono attribuiti i seguenti valori:

Azione	ψ_{0i}	ψ_{1i}	ψ_{2i}
Categoria A – Ambienti ad uso residenziale	0,7	0,5	0,3
Categoria B – Uffici	0,7	0,5	0,3
Categoria C – Ambienti suscettibili di affollamento	0,7	0,7	0,6
Categoria D – Ambienti ad uso commerciale	0,7	0,7	0,6
Categoria E – Biblioteche, archivi, magazzini e ambienti ad uso industriale	1,0	0,9	0,8
Categoria F – Rimesse e parcheggi (per autoveicoli di peso ≤ 30 kN)	0,7	0,7	0,6
Categoria G – Rimesse e parcheggi (per autoveicoli di peso > 30 kN)	0,7	0,5	0,3
Categoria H – Coperture	0,0	0,0	0,0
Categoria I – Coperture praticabili	da valutarsi caso per caso		
Vento	0,6	0,2	0,0
Neve (a quota ≤ 1000 m s.l.m.)	0,5	0,2	0,0
Neve (a quota > 1000 m s.l.m.)	0,7	0,5	0,2
Variazioni termiche	0,6	0,5	0,0

In maniera analoga a quanto illustrato nel caso dello SLU le combinazioni risultanti sono state costruite a partire dalle sollecitazioni caratteristiche calcolate per ogni condizione di carico; a turno ogni condizione di carico variabile è stata considerata sollecitazione di base, con ciò dando origine a tanti valori combinati. Per ognuna delle combinazioni ottenute, in funzione dell'elemento, sono state effettuate le verifiche allo SLE (tensioni, deformazioni e fessurazione).

Negli allegati tabulati di calcolo sono riportanti i coefficienti relativi alle combinazioni di calcolo generate relativamente alle combinazioni di azioni "Quasi Permanente", "Frequente" e "Rara".

Nelle sezioni relative alle verifiche allo SLE dei citati tabulati, inoltre, sono riportati i valori delle sollecitazioni relativi alle combinazioni che hanno originato i risultati più gravosi.

8 - VERIFICHE

8.1 Verifica a Ribaltamento

Nella verifica a ribaltamento è stato scelto come punto di rotazione il vertice in basso a valle della fondazione.

- Il Momento Ribaltante è dovuto alla componente orizzontale della spinta, all'incremento sismico di essa e ad eventuali carichi esterni che possono contribuire al ribaltamento.
- Il Momento Stabilizzante è dovuto al peso proprio del muro, del terreno su esso agente, ad eventuali carichi esterni che possono contribuire alla stabilità ed ai tiranti.

Il coefficiente di sicurezza è dato dal rapporto Momento Stabilizzante/Momento Ribaltante. Tale valore è stato calcolato per tutte le combinazioni di carico previste dall'approccio adottato, considerando il sistema come un corpo rigido.

8.2 Verifica a Scorrimento

Nella verifica a scorrimento sono state prese in considerazione tutte le forze agenti che innescano un meccanismo di traslazione lungo il piano di posa della fondazione per superamento dei limiti di attrito e coesione, tenendo conto dell'inclinazione del piano di posa e dell'eventuale presenza di speroni.

La **Forza Agente** è la spinta con i suoi incrementi sismici ed eventuali forze esterne che agiscono nello stesso verso.

La **Forza Resistente** è rappresentata dall'attrito e dalla coesione agente sulla fondazione, dalla presenza di tiranti e di pali, da particolari costruttivi quali gli speroni che servono ad aumentare la resistenza allo scorrimento oltre ad eventuali forze esterne che agiscono nello stesso verso.

Il coefficiente di sicurezza è dato dal rapporto Forza Resistente/Forza Agente. Tale valore è stato calcolato per tutte le combinazioni di carico previste dall'approccio adottato e il rapporto più gravoso, in relazione al corrispondente coefficiente R, dipendente dall'approccio e dalla combinazione considerata, è stato riportato come Coefficiente di Sicurezza a Scorrimento.

8.3 Verifica a Carico Limite

Il carico limite verticale dei pali è stato calcolato col metodo di **Berezantzev**, tenendo conto della stratigrafia, delle condizioni del terreno (drenato/non drenato), se trattasi di pali con grosso diametro (>80 cm), dell'eventuale presenza della falda e della riduzione dovuta agli effetti d'interazione per gruppi di pali.

Per i pali sottoposti a trazione, viene effettuata una verifica allo sfilamento considerando i termini di attrito e di adesione.

Il carico limite orizzontale viene invece ricavato secondo la metodologia indicata da Broms per pali vincolati in testa. Viene calcolata l'armatura principale e secondaria del palo rispettivamente a pressoflessione ed a taglio, il meccanismo di rottura del complesso palo-terreno (palco corto/medio/lungo) e l'eventuale profondità di formazione della cerniera plastica in caso di palo lungo.

Il coefficiente di sicurezza, sia per azioni verticali che orizzontali, è dato dal rapporto Carico Limite / Carichi Agenti. Tale valore è stato calcolato per tutte le combinazioni di carico previste dall'approccio adottato ed il rapporto più gravoso, in relazione al corrispondente coefficiente R, dipendente dall'approccio e dalla combinazione considerata, è stato riportato come Coefficiente di Sicurezza a Carico Limite.

8.4 Verifica di Stabilità Globale

Per la verifica di stabilità globale è stato assimilato tutto il complesso muro-terreno ad un pendio. Esso deve essere al sicuro da fenomeni d'instabilità che in genere si sviluppano su superfici di scorrimento assimilabili a circonferenze.

Sono state ipotizzate varie superfici di scorrimento in modo da interessare tutta la parte di terreno potenzialmente soggetta ad instabilità. Sono state escluse le superfici che intercettano il muro, i pali e i tiranti. Per ognuna di esse sono state calcolate le forze motrici e le forze resistenti.

Il calcolo è stato effettuato secondo i metodi classici di **Fellenius** o di **Bishop**, suddividendo il complesso terreno-muro incluso nel cerchio in esame in settori verticali sufficientemente piccoli, e calcolando le forze resistenti per attrito e coesione alla base, che si oppongono alla forza di scorrimento del settore. Il coefficiente di sicurezza in condizioni statiche (NON sismiche) è dato dal rapporto fra le forze resistenti e quelle motrici. Tale valore è stato calcolato per tutte le combinazioni di carico previste dall'approccio 1 Combinazione 2 (A2+M2+R2), tenendo conto dei coefficienti parziali riportati nelle Tabelle 6.2.I e 6.2.II per le azioni e i parametri geotecnici e nella Tab. 6.8.I per le verifiche di sicurezza di opere di materiali sciolti e fronti di scavo. Le verifiche di sicurezza per effetto delle azioni sismiche, invece, si controlla che la resistenza del sistema sia maggiore delle azioni (condizione [6.2.1]), ponendo pari all'unità i coefficienti parziali sulle azioni e sui parametri geotecnici (§ 7.11.1) e impiegando le resistenze di progetto calcolate con un coefficiente parziale pari a $\gamma_R = 1.2$.

L'azione sismica è stata valutata come previsto dal D.M. 17.01.2018 al § 7.11.3.5.2.

8.5 Progetto e Verifica degli elementi strutturali

Le sollecitazioni per le successive verifiche vengono calcolate in una serie di sezioni predefinite sia sul paramento che sulla fondazione a monte ed a valle (muri a mensola).

Esse sono in genere a passo costante, ma se esistono delle singolarità, come ad es. gradoni, speroni, mensole esse vengono opportunamente posizionate in corrispondenza di tali punti.

La verifica degli elementi allo SLU avviene col seguente procedimento:

- si costruiscono le combinazioni in base al D.M. 17.01.2018, ottenendo un insieme di sollecitazioni;
- si combinano tali sollecitazioni con quelle dovute all'eventuale azione del sisma.
- per sollecitazioni semplici (flessione retta, taglio, etc.) si individuano i valori minimo e massimo con cui progettare o verificare l'elemento considerato; per sollecitazioni composte (pressoflessione retta/deviata) vengono eseguite le verifiche per tutte le possibili combinazioni e solo a seguito di ciò si individua quella che ha originato il minimo coefficiente di sicurezza.

Per quanto concerne il progetto degli elementi in c.a. illustriamo in dettaglio il procedimento seguito in presenza di pressoflessione retta, utilizzato per verificare le seguenti sezioni:

- Paramento: attacco con la fondazione, a mezza altezza e ad ogni variazione non continua di sezione.
- Fondazione: le due sezioni, rispettivamente a valle e a monte, di attacco con il Paramento.
- Mensola: la sezione di attacco con il Paramento.
- Sperone: la sezione di attacco con la Fondazione.

Viene ipotizzata un'armatura iniziale che rispetti i minimi normativi, quindi per tutte le coppie (N, M_x), individuate secondo la modalità precedentemente illustrata, si calcola il momento ultimo in funzione di N , quindi il coefficiente di sicurezza rapportando tale momento ultimo a M_x .

Se per almeno una di queste coppie il coefficiente di sicurezza risulta inferiore a 1 si incrementa l'armatura e si ripete il procedimento fino a che per tutte le coppie (N, M_x) il coefficiente di sicurezza risulta al più pari a 1.

Nei tabulati di calcolo, per brevità, non potendo riportare una così grossa mole di dati, si riporta la coppia (N, M_x) che ha dato luogo al minimo coefficiente di sicurezza.

Una volta semiprogettate le armature allo SLU, si procede alla verifica delle sezioni allo Stato Limite di Esercizio con le sollecitazioni derivanti dalle combinazioni rare, frequenti e quasi permanenti; se necessario, le armature vengono integrate per far rientrare le tensioni entro i massimi valori previsti.

Successivamente si procede alle verifiche alla deformazione, quando richiesto, ed alla fessurazione che, come è noto, sono tese ad assicurare la durabilità dell'opera nel tempo.

Per quanto riguarda le verifiche al Taglio è stata utilizzata la formulazione [4.1.23] riportata al § 4.1.2.3.5.1 valida per elementi senza armatura resistente a taglio in quanto non sono state utilizzate armature specifiche per l'assorbimento del taglio. Anche qui per tutte le combinazioni di carico è stata controllata la relazione [4.1.22] ed è stato riportato il minimo coefficiente di sicurezza fra tutti i rapporti V_{Rd}/V_{Ed} .

8.6 Modello di Calcolo

Il modello della struttura viene creato automaticamente dal codice di calcolo, individuando i vari elementi strutturali e fornendo le loro caratteristiche geometriche e meccaniche.

Il calcolo delle sollecitazioni è eseguito in due modi diversi a seconda della tipologia di muri scelta:

- **muro senza contrafforti:** viene eseguito il calcolo a mensola sia per il paramento che per la fondazione considerando la striscia di un metro.
- **muro con contrafforti:** le porzioni di paramento e di fondazione comprese fra due contrafforti vengono trattate come piastre vincolate su tre lati.

Nel modello di calcolo, i seguenti elementi sono stati schematizzati nel seguente modo:

- **terreno:** letto di molle reagenti solo a compressione (suolo elastico monodirezionale);
- **pali:** molle concentrate reagenti a trazione/compressione e a momento;
- **micropali:** molle concentrate reagenti a trazione/compressione;
- **tiranti:** molle concentrate reagenti a sola trazione, col loro eventuale sforzo di pretensione.

Il vincolo offerto dai pali è del tipo incastro cedevole con rigidezze traslazionali in direzione X,Z e rotazionali in X. In direzione Z la rigidezza rotazionale è trascurata. Il calcolo delle rigidezze traslazionali è effettuato in Z con un metodo geotecnico che tiene conto dello spessore deformabile, mentre le altre sono ricavate da

relazioni riportate in EC8 parte 5 appendice C.

9 - CODICE DI CALCOLO IMPIEGATO

9.1 Denominazione

Nome del Software	GeoMurus
Versione	8.00b
Caratteristiche del Software	Software per la progettazione ed il calcolo dei muri di sostegno per Windows
Numero di serie	17020152
Intestatario Licenza	GENERAL ENGINEERING s.r.l.
Produzione e Distribuzione	ACCA software S.p.A. Contrada Rosole 13 83043 BAGNOLI IRPINO (AV) - Italy Tel. 0827/69504 r.a. - Fax 0827/601235 e-mail: info@acca.it - Internet: www.acca.it

9.2 Sintesi delle funzionalità generali

Il pacchetto consente di modellare la struttura, di effettuare il dimensionamento e le verifiche di tutti gli elementi strutturali e di generare gli elaborati grafici esecutivi.

È una procedura integrata dotata di tutte le funzionalità necessarie per consentire il calcolo completo di un muro di sostegno.

L'input della struttura avviene per oggetti (paramento, fondazione, scarpa, contrafforte, mensola, sperone, pali, tiranti, etc.) in un ambiente grafico integrato.

Aposite funzioni consentono la creazione e la manutenzione di archivi Materiali, Terreni e Carichi; tali archivi sono generali, nel senso che sono creati una tantum e sono pronti per ogni calcolo, potendoli comunque integrare/modificare in ogni momento.

L'utente non può modificare il codice ma soltanto eseguire delle scelte come:

- modificare i parametri necessari alla definizione dell'azione sismica;
- definire condizioni di carico.

Il programma è dotato di un manuale tecnico ed operativo. L'assistenza è effettuata direttamente dalla casa produttrice, mediante linea telefonica o e-mail.

Tutti i risultati del calcolo sono forniti, oltre che in formato numerico, anche in formato grafico permettendo così di evidenziare agevolmente eventuali incongruenze.

Il programma consente la stampa di tutti i dati di input, dei dati del modello strutturale utilizzato, dei risultati del calcolo e delle verifiche dei diagrammi delle sollecitazioni e delle deformate.

10 - TABULATI DI CALCOLO

Per quanto non espressamente sopra riportato, ed in particolar modo per ciò che concerne i dati numerici di calcolo, si rimanda all'allegato "Tabulati di calcolo" costituente parte integrante della presente relazione.

11 - DESCRIZIONE GENERALE DELL'OPERA

La presente relazione geotecnica riguarda le indagini, la caratterizzazione e modellazione geotecnica del "volume significativo" per l'opera in esame e valuta l'interazione opera / terreno ai fini del dimensionamento delle relative fondazioni.

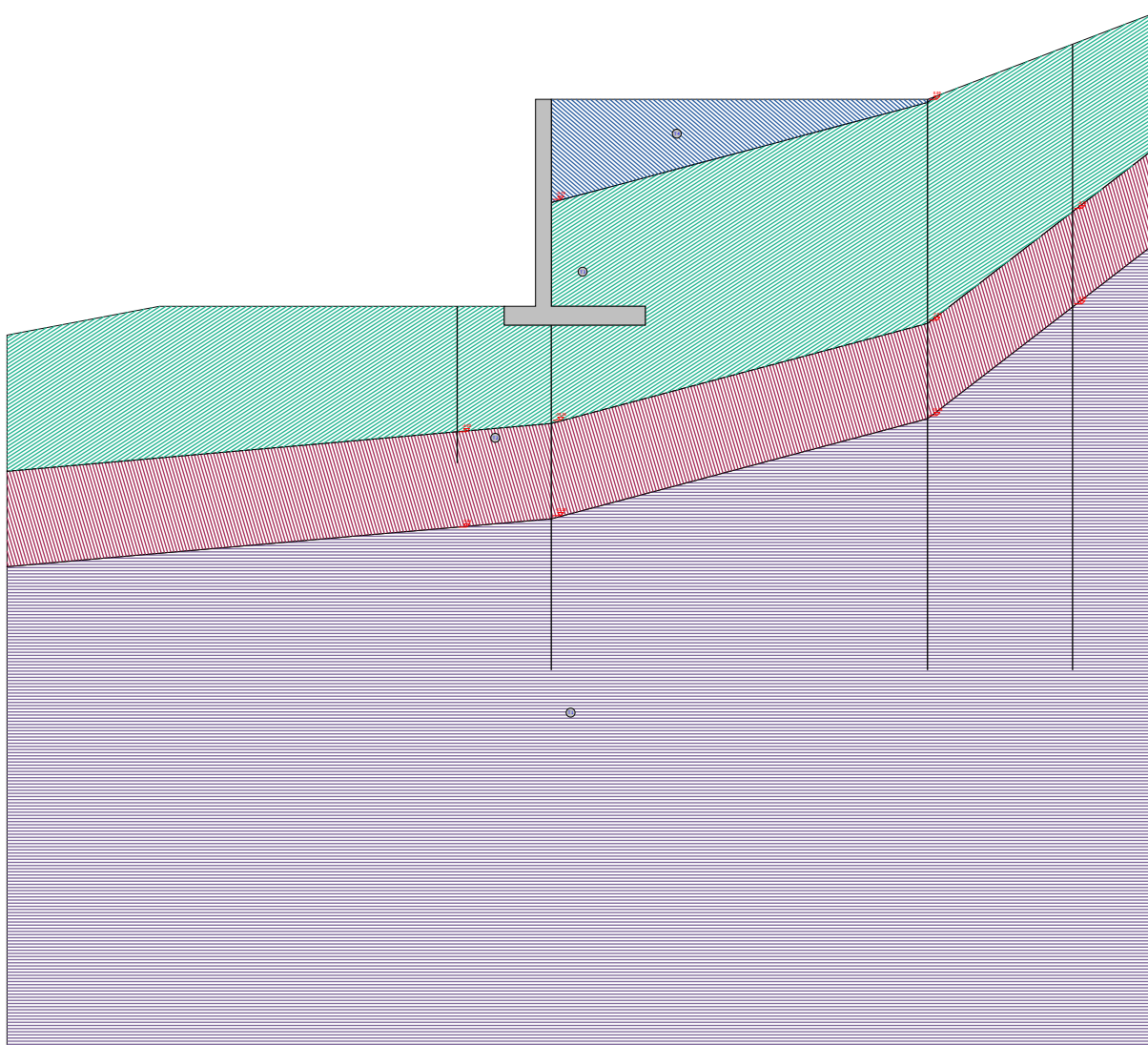
Questa relazione è stata redatta dal tecnico sulla base dei dati risultanti dalle prove di campagna e/o di laboratorio.

12 - INDAGINI GEOGNOSTICHE

Sulla base di quanto dettagliato nella relazione geologica dell'area di sito, si è proceduto alla progettazione della campagna di indagini geognostiche finalizzate alla determinazione delle caratteristiche geotecniche dei terreni interessati dal "volume significativo" dell'opera in esame.

Al fine della determinazione delle caratteristiche geotecniche dei terreni coinvolti nel "volume significativo" dell'opera in esame, sono state condotte delle prove geotecniche, riassunte nella relazione geologica.

Le indagini realizzate hanno permesso di ricostruire le seguenti stratigrafie per ognuna delle quali sono state definite le proprietà geotecniche dei singoli terreni coinvolti.



Strato	Descrizione	I	l _c	r	C _a	C _c
T1	Terreno D	20000	22000	21,0°	0,01	0,11
T2	Terreno C	10000	22000	20,0°	0,01	0,11
T3	Terreno B	10000	22000	24,0°	0,02	0,12
T4	Rilevato stradale	10000	20000	20,0°	0,02	0,02

Sezione

13 - CARATTERIZZAZIONE GEOTECNICA, MODELLAZIONE GEOTECNICA E PERICOLOSITÀ SISMICA DEL SITO

Le indagini effettuate, permettono di classificare il profilo stratigrafico, ai fini della determinazione dell'azione sismica, di categoria **C [Depositi di terreni a grana grossa mediamente addensati o terreni a grana fina mediamente consistenti con profondità del substrato superiori a 30 m, caratterizzati da un miglioramento delle proprietà meccaniche con la profondità e da valori di velocità equivalente compresi tra 180 m/s e 360 m/s.]**, basandosi sulla valutazione della velocità delle onde di taglio (V_{S30}) e/o del numero di colpi dello Standard Penetration Test (N_{SPT}) e/o della resistenza non drenata equivalente ($C_{u,30}$).

Tutti i parametri che caratterizzano i terreni di fondazione sono riportati nei seguenti paragrafi.

13.1 Caratterizzazione geotecnica

La caratterizzazione geotecnica dei terreni è riassunta nella seguente tabella:

TERRENI

N	Descrizione	γ	γ_{saturo}	ϕ	C_u	C'	Ed	Costante di sottofondo			Terreni
								X	Y	Z	
1	Rilevato stradale	18000	20000	30	0,00	0,00	80	30	30	90	
2	Terreno B	18000	22000	24	0,03	0,03	80	30	30	90	
3	Terreno C	19000	22000	20	0,01	0,01	72	30	30	90	
4	Terreno D	20000	22000	21	0,01	0,01	80	30	30	90	

LEGENDA Terreni

N	Numero identificativo del terreno.
Descrizione	Descrizione del terreno.
γ	Peso per unità di volume [N/m^3].
γ_{saturo}	Peso per unità di volume saturo [N/m^3].
ϕ	Angolo di attrito [$^{\circ}ssdc$].
C_u	Coesione [N/mm^2].
C'	Coesione Efficace [N/mm^2].
Ed	Modulo edometrico [N/mm^2].
Costante di sottofondo	Valori della costante di sottofondo del terreno nelle direzioni degli assi del riferimento globale X, Y, e Z.

13.2 Modellogeotecnica

Ai fini del calcolo strutturale, il terreno sottostante l'opera viene modellato secondo lo schema di Winkler, cioè un sistema costituito da un letto di molle elastiche mutuamente indipendenti. Ciò consente di ricavare le rigidezze offerte dai manufatti di fondazione, siano queste profonde o superficiali, che sono state introdotte direttamente nel modello strutturale per tener conto dell'interazione opera / terreno.

13.3 Pericolosità sismica

Ai fini della pericolosità sismica sono stati analizzati i dati relativi alla sismicità dell'area di interesse e ad eventuali effetti di amplificazione stratigrafica e topografica. Si sono tenute in considerazione anche la classe dell'edificio e la vita nominale.

Per tale caratterizzazione si riportano di seguito i dati di pericolosità come da normativa:

DATI GENERALI ANALISI SISMICA

TP	Coef Ampl Topog	β_s	β_m	K_{Stbl}	K_{Muro}	Latitudine	Dati generali analisi sismica	
							[gradi]	[gradi]
C	1,20	0,28	0,38	0,13	0,18	41° 11' 55.00"	14° 50' 56.00"	345

Classe Edificio	Vita Nominale	Periodo di Riferimento	[adim]	[anni]	[anni]
			3	50	75

SL	Tr	Ag	Ss	F0	T*c	
					[adim]	[anni]
SLO	45	0,0785	1,500	2,360	0,294	
SLD	75	0,1033	1,500	2,336	0,318	
SLV	712	0,3175	1,262	2,297	0,386	
SLC	1462	0,4215	1,106	2,350	0,410	

LEGENDA Dati generali analisi sismica

TP

Tipo terreno prevalente, categoria di suolo di fondazione come definito al punto 3.2.2 delle Norme tecniche per le costruzioni.

Coef Ampl Topog

Coefficiente di amplificazione topografica.

β_s

Coefficiente di riduzione di accelerazione massima per Verifica di stabilità'.

β_m

Coefficiente di riduzione di accelerazione massima per Muro di sostegno.

K_{Stbl}

Coefficiente per il calcolo della spinta per Verifica di stabilità'.

K_{Muro}

Coefficiente per il calcolo della spinta per Muro di sostegno.

Latitudine

Latitudine geografica del sito [gradi].

Longitudine

Longitudine geografica del sito [gradi].

Altitudine

Altitudine geografica del sito sul livello medio del mare [m].

14 - SCELTA TIPOLOGICA DELLE OPERE DI FONDAZIONE

La tipologia delle opere di fondazione sono consone alle caratteristiche meccaniche del terreno definite in base ai risultati delle indagini geognostiche.

Nel caso in esame, la struttura di fondazione è costituita da:
fondazioni indirette di tipo a pali

15 - VERIFICHE DI SICUREZZA

Nelle verifiche allo stato limite ultimo deve essere rispettata la condizione:

$$E_d \leq R_d$$

dove:

E_d è il valore di progetto dell'azione o dell'effetto dell'azione;

R_d è il valore di progetto della resistenza del sistema geotecnico.

Le verifiche di sicurezza sono state condotte, con riferimento all'**APPROCCIO 2 Combinazione (A1+M1+R3)**, sulla base delle tipologie di fondazioni descritte nel paragrafo precedente.

Le azioni sono ottenute, applicando ai valori caratteristici delle stesse, i coefficienti parziali γ_F di cui nella tabella 6.2.I delle NTC 2018, che vengono di seguito riportati.

CARICHI	EFFETTO	Coefficiente parziale γ_F (o γ_E)	A1 (STR)
Permanenti	Favorevole	γ_{G1}	1.0
	Sfavorevole		1.3
Permanenti non strutturali	Favorevole	γ_{G2}	0.8
	Sfavorevole		1.5
Variabili	Favorevole	γ_{Qi}	0.0
	Sfavorevole		1.5

Il valore di progetto della resistenza R_d è determinato in modo analitico con riferimento al valore caratteristico dei parametri geotecnici del terreno, diviso per il valore del coefficiente parziale γ_M , specificato nella tabella 6.2.II delle NTC 2018, e tenendo conto, ove necessario, dei coefficienti parziali γ_R specifici per ciascun tipo di opera come specificato nella tabella 6.5.I delle NTC 2018.

Tab. 6.2.II – Coefficienti parziali per i parametri geotecnici del terreno

PARAMETRO	Grandezza alla quale applicare il coefficiente parziale	Coefficiente parziale γ_M	M1
Tangente dell'angolo di resistenza al taglio	$\tan \varphi'$	γ_φ'	1.0
Coesione efficace	c'_k	$\gamma_{c'}$	1.00
Resistenza non drenata	$c_u k$	γ_{cu}	1.00

Tab. 6.5.I – Coefficienti parziali γ_R per le verifiche agli stati limite ultimi STR e GEO di muri di sostegno

VERIFICA	Coefficiente parziale γ_R (R3)
Capacità portante della fondazione	1.4
Scorrimento	1.1
Ribaltamento	1.15
Resistenza del terreno a valle	1.4

Nelle verifiche di sicurezza per effetto delle azioni sismiche si deve controllare che la resistenza del sistema sia maggiore delle azioni nel rispetto della condizione [6.2.1], ponendo pari all'unità i coefficienti parziali sulle azioni e sui parametri geotecnici (§ 7.11.1) e impiegando le resistenze di progetto con i coefficienti parziali γ_R indicati nella tabella 7.11.III.

Tab. 7.11.III – Coefficienti parziali γ_R per le verifiche agli stati limite ultimi (SLV) dei muri di sostegno.

VERIFICA	Coefficiente parziale γ_R
Capacità portante della fondazione	1.2
Scorrimento	1.0
Ribaltamento	1.0
Resistenza del terreno a valle	1.2

Per le varie tipologie di fondazioni sono di seguito elencate le metodologie ed i modelli usati per il calcolo del carico limite ed i risultati di tale calcolo.

15.1 Carico limite per i pali

Calcolo del carico limite verticale

Per il calcolo del carico limite verticale viene adottato il metodo dell'equilibrio limite in base al quale il carico limite verticale Q_{lim} è dato dalla somma della resistenza laterale P_l e della resistenza alla punta P_p :

$$Q_{lim} = P_p + P_l$$

Stimando il carico limite sia in condizione drenate che non drenate è fondamentale nella stratigrafia il comportamento del singolo strato (coerente/incoerente).

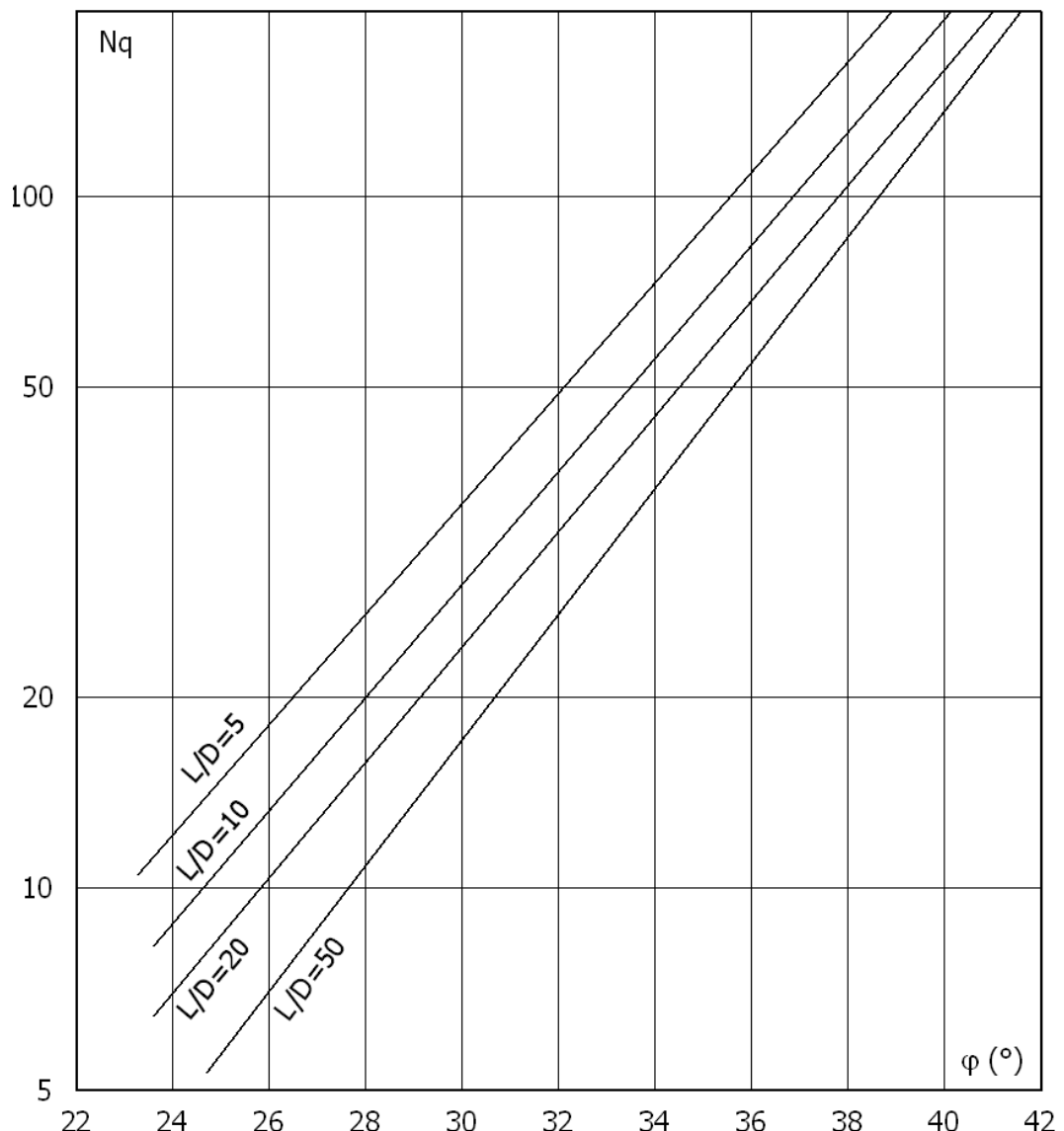
In particolare se uno strato è stato dichiarato incoerente il suo contributo al carico limite viene sempre valutato in condizioni drenate a prescindere dal metodo di calcolo richiesto (drenato/non drenato).

La resistenza alla punta P_p si calcola con la seguente formula:

$$P_p = \frac{\pi \cdot D^2}{4} \cdot (c \cdot N_c + q \cdot N_q)$$

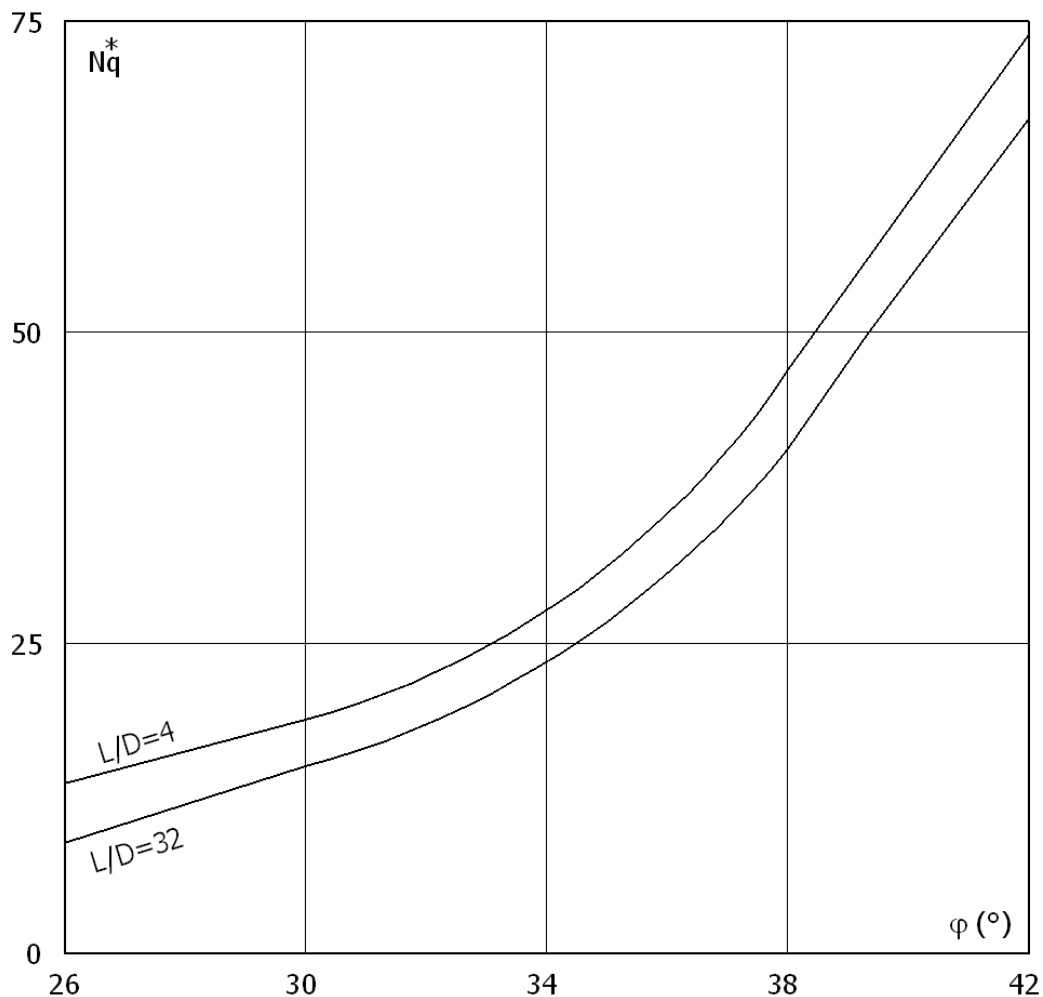
dove:

- Per la determinazione dei valori di N_q vengono usati i grafici di Berezantzev $N_q = N_q(L/D; \phi)$ in cui L è lunghezza del palo, D il diametro e ϕ l'angolo di attrito;
- $N_c = (N_q - 1) \cot(\phi)$;
- c è la coesione;
- q è la pressione litostatica alla punta del palo.



Nel calcolo della resistenza alla punta si fa distinzione tra condizioni drenate e non drenate. In caso di condizioni drenate si assume $c=c'$ (coesione efficace) e q calcolata per pressioni effettive. In condizioni non drenate si assume $q=q_{tot}$ (pressione totale), $c=c_u$ (coesione non drenata), $\phi=0$ e $N_c=9$.

Se lo strato in cui arriva il palo è stato dichiarato coerente la stima della resistenza alla punta viene fatta in condizioni drenate o non drenate a seconda del metodo di calcolo richiesto. Viceversa, se lo strato in cui arriva il palo è stato dichiarato incoerente la stima della resistenza alla punta viene fatta sempre in condizioni drenate indipendentemente dal tipo di calcolo richiesto (drenato o non drenato). La portanza viene valutata portando in conto che la resistenza alla punta di un palo si mobilita per determinati valori di cedimento proporzionali al diametro del palo. Pertanto, viene fatta la distinzione fra pali di medio e grande diametro (>80 cm), per i quali la resistenza alla punta non viene mobilitata se non dopo un cedimento che può essere notevole (in tal caso si utilizza un valore di N_q^* ridotto rispetto a N_q).



Per il calcolo della resistenza laterale si usa invece la formula:

$$P_l = \pi \cdot D \cdot L \cdot s$$

in cui **s** è la somma di un termine di adesione **a** indipendente dalla tensione normale (orizzontale σ_h) e da un termine attrattivo dipendente da quest'ultima e dalla tecnologia con cui viene realizzato il palo (battuto, trivellato, ...):

$$s = a + \sigma_h \cdot \mu$$

con μ dipendente dalla scabrezza dell'interfaccia palo/terreno.

Anche per il calcolo della resistenza laterale si distingue tra condizioni drenate e non drenate. In condizioni drenate si assume $a = 0$, pertanto, $s = \sigma_h \cdot \mu$ (con $\mu = A \cdot \tan \phi$, dove A è il coefficiente riduttivo relativo all'attrito palo-terreno). In condizioni non drenate si assume che l'adesione sia un'aliquota della coesione non drenata, per cui $a = \alpha c_u$ con α dipendente dalla tecnologia esecutiva del palo stesso. In caso di terreni stratificati la resistenza laterale è la somma delle resistenze offerte dai singoli strati, calcolate a seconda della tipologia del terreno (coerente/incoerente).

Pertanto, il calcolo del palo in condizioni non drenate, per gli strati coerenti il contributo alla portanza laterale del singolo strato viene stimato in funzione della coesione non drenata, mentre per gli strati incoerenti in funzione dell'attrito.

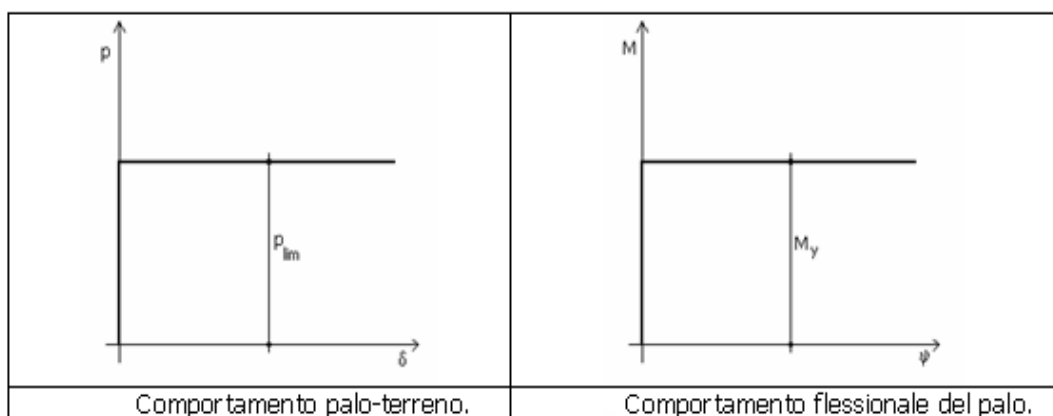
Invece, richiesto un calcolo del palo in condizioni drenate, sia per gli strati coerenti che per quelli incoerenti il contributo alla portanza laterale del singolo strato viene stimato in funzione dell'attrito.

Calcolo del Carico Limite Orizzontale

Per la valutazione del carico limite orizzontale si è fatto riferimento alla teoria di Broms e al caso di pali supposti vincolati in testa (rotazione impedita).

Le ipotesi assunte da Broms sono le seguenti:

1. comportamento dell'interfaccia palo-terreno di tipo rigido-perfettamente plastico, cioè la resistenza del terreno si mobilita interamente per un qualsiasi valore non nullo dello spostamento e resta poi costante al crescere dello spostamento;
2. forma del palo ininfluente rispetto al carico limite orizzontale il quale risulta influenzato solo dal diametro del palo stesso;
3. in presenza di forze orizzontali la resistenza della sezione strutturale del palo può essere chiamata in causa poiché il regime di sollecitazione di flessione e taglio che consegue all'applicazione di forze orizzontali è molto più gravoso dello sforzo normale che consegue all'applicazione di carichi verticali;
4. anche il comportamento flessionale del palo è assunto di tipo rigido-perfettamente plastico, cioè le rotazioni plastiche del palo sono trascurabili finché il momento flettente non attinge al valore M_{plast} ovvero Momento di plasticizzazione. A questo punto nella sezione si forma una cerniera plastica ovvero la rotazione continua indefinitamente sotto momento costante.

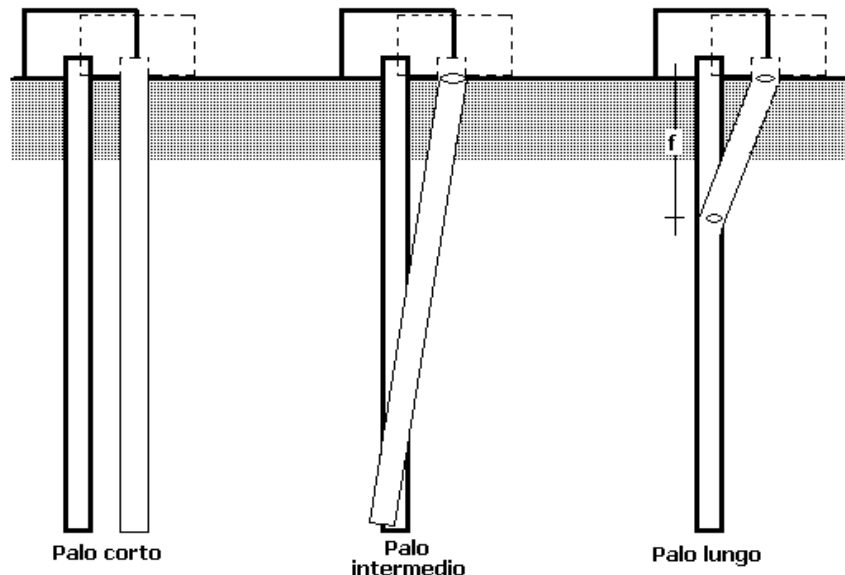


La resistenza limite laterale di un palo è determinata dal minimo valore fra:

- il carico orizzontale necessario per produrre il collasso del terreno lungo il fusto del palo;
- il carico orizzontale necessario per produrre la plasticizzazione del palo.

Il primo meccanismo (plasticizzazione del terreno) si verifica nel caso di pali molto rigidi in terreni poco resistenti (meccanismo di palo corto).

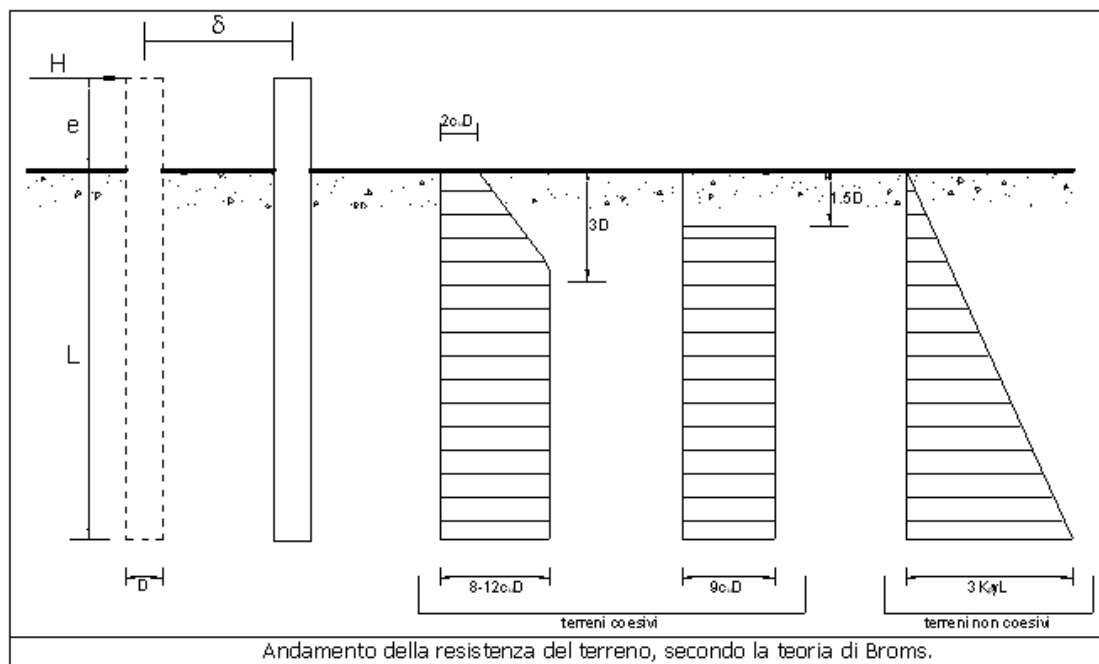
Mentre, il secondo meccanismo si verifica nel caso di pali aventi rigidezze non eccessive rispetto al terreno d'infissione (meccanismo di palo lungo o intermedio, con la formazione rispettivamente di due ed una cerniera plastica).



La resistenza limite del terreno rappresenta il valore limite di resistenza che esso può esplicare quando il palo è soggetto ad un carico orizzontale e dipende dalle caratteristiche del terreno e dalla geometria del palo.

Per quanto riguarda la resistenza del terreno, secondo la teoria di Broms, si considerano separatamente i casi di:

- terreni **coesivi o coerenti** (rottura non drenata);
- terreni **non coesivi o incoerenti** (rottura drenata).



Quindi, nella fase di calcolo, occorre verificare se il meccanismo di rottura del palo è per:

- **Palo corto** ⇒ (plasticizzazione terreno);
- **Palo intermedio** ⇒ (plasticizzazione palo).
- **Palo lungo**

Nel caso di terreni **non coesivi** ($c=0$), la teoria di **Broms** assume che la resistenza laterale sia variabile linearmente con la profondità dal valore $p=0$ (in testa) fino al valore $p=3k_p \cdot \gamma \cdot L$ (alla base), essendo K_p il coefficiente di resistenza passiva.

Per quanto riguarda i terreni **coesivi** la resistenza laterale parte in testa al palo con un valore di

$p=2c_u D$, cresce linearmente fino alla profondità 3D per poi rimanere costante e pari a $p=8-12c_u D$ per tutta la lunghezza del palo. In alternativa, è possibile utilizzare un diagramma semplificato, di valore $p=0$ fino alla profondità 1.5D e con valore costante e pari a $9c_u D$ per tutta la lunghezza del palo.

La teoria di Broms è formulata per terreni omogenei, di tipo coerente o incoerente; in caso di terreni stratificati il programma effettua un controllo sul tipo di comportamento per capire quale sia la tipologia prevalente ed i parametri meccanici medi. In base a tali parametri viene poi condotto il calcolo.

Oltre ai parametri meccanici del terreno viene considerato anche il Momento Ultimo del palo che è funzione oltre che dell'armatura anche dello sforzo assiale agente ed è fondamentale per il calcolo delle sezioni che si plasticizzano. Di ciò viene tenuto correttamente conto. Se il comportamento è a palo lungo viene calcolata anche la profondità di formazione della seconda cerniera plastica.

Verifiche nei confronti degli stati limite ultimi (SLU)

Di seguito si riporta una tabella riepilogativa relativa alle verifiche delle fondazioni su pali eseguite per i seguenti stati limite:

- collasso per carico limite della palificata nei riguardi dei carichi assiali;
- collasso per carico limite della palificata nei riguardi dei carichi trasversali.

Si precisa che i valori relativi alle colonne Q_{lim} , di cui nella tabella relativa alle verifiche, sono da intendersi come il valore di progetto della resistenza R_d (determinato come sopra esposto e diviso per il valore del coefficiente parziale γ_R). Nel caso in esame tali valori, come indicato nelle tabelle 6.4.II. 6.4.VI delle NTC 2018, sono sinteticamente riportati nelle seguenti tabelle:

Coefficienti parziali γ_R da applicare alle resistenze di pali soggetti a carichi assiali

Resistenza	Simbolo	Pali infissi	Pali trivellati	Pali ad elica continua
		(R3)	(R3)	(R3)
Base	γ_b	1.15	1.35	1.30
Laterale in compressione	γ_s	1.15	1.15	1.15
Laterale in trazione	γ_{st}	1.25	1.25	1.25
Totale ^(*)	γ_t	1.15	1.30	1.25

(*) da applicare alle resistenze caratteristiche dedotte dai risultati di prove di carico di progetto

Con riferimento alle procedure analitiche che prevedono l'utilizzo dei parametri geotecnici, il valore caratteristico della resistenza R_k è dato dal valore ottenuto applicando alle resistenze calcolate R_{cal} i fattori di correlazione ξ riportati nella Tab. 6.4.IV delle NTC 2018, in funzione del numero n di verticali di indagine:

$$R_k = \frac{R_{cal}}{\xi_3}$$

Fattori di correlazione ξ per il calcolo della resistenza caratteristica in funzione del numero di verticali indagate

Numero di verticali indagate	1	2	3	4	5	7	≥ 10
ξ_3	1.70	1.65	1.60	1.55	1.50	1.45	1.40

Coefficiente parziale γ_T da applicare alle resistenze di pali soggetti a carichi trasversali

γ_T (R3)
1.30

Si precisa che, nella sottostante tabella, la coppia Q_{max} e Q_{lim} è relativa alla combinazione di carico, fra tutte quelle esaminate, che da luogo al minimo coefficiente di sicurezza (CS).

PALI - VERIFICHE A CARICO LIMITE VERTICALE E ORIZZONTALE

pali - Verifiche a carico limite verticale e orizzontale

Palo	QMaxVrt	QMaxOrz	QLimVrt	QLimVPnt	QLimVlterl	QLimOrz	MMaxOrz	Tipo Rottura	Prof Cern	CS Vert	CS Oriz
------	---------	---------	---------	----------	------------	---------	---------	--------------	-----------	---------	---------

Sezione...	[N]	[N]	[N]	[N]	[N]	[N]	[Nm]		[m]		
Fila di pali n.1	935921	148025	959848	526146	433702	148452	252600	Palo Lungo	2,45	1,03	1,00
Fila di pali n.2	874857	148130	957413	524904	432510	148452	252600	Palo Lungo	2,45	1,09	1,00

LEGENDA pali - Verifiche a carico limite verticale e orizzontale

Palo	Identificativo del palo.
QMaxVrt	Carico verticale di progetto allo SLU.
QMaxOrz	Carico orizzontale di progetto allo SLU.
QLimVrt	Carico limite verticale.
QLimVPnt	Aliquota carico limite verticale dovuto alla resistenza alla punta.
QLimVLtrl	Aliquota carico limite verticale dovuto alla resistenza laterale.
QLimOrz	Carico limite orizzontale.
MMaxOrz	Momento massimo lungo il palo per carichi orizzontali.
Tipo	
Rottura	Modalita' di rottura per carico limite orizzontale(Palo Corto, Palo Medio, Palo Lungo).
Prof Cern	Profondita' della seconda cerniera plastica.
CS Vert	Coefficiente di sicurezza per carichi verticali: [NS]= Non significativo.
CS Oriz	Coefficiente di sicurezza per carichi orizzontali: [NS]= Non significativo.

INFORMAZIONI GENERALI

Provincia	Provincia di Benevento
Normativa di riferimento	D.M. 17/01/2018
Analisi sismica	Orizzontale e Verticale
Classe struttura	3
Vita nominale	50 anni
Periodo di riferimento	75

MATERIALI

N	Tipo	Descrizione	Sigla	Peso Specifico	Coeff. Dil. Termica	Modulo elastico			γ	ridFmk	n	ft	fc	τR	N Act	Materiali
						E	G	Rk								[N/mm ²]
1	CA	Cls C25/30-B450C	C25/30	25000	0,000010	31447	13103	30,0	1,50	85	15	1,19	3,07	0,34	Acciaio B450C	
2	AcT	Acciaio B450C	B450C	78500	0,000010	210000	80769	450,0	1,15	0	1	0,00	0,00	0,00	0,00	

LEGENDA Materiali

N	Numero identificativo del materiale.
Tipo	Tipologia del materiale: [CA] = Calcestruzzo armato - [AcT] = Acciaio in tondini - [AcP] = Acciaio in profilati - [M] = Muratura - [AcA] = Acciaio armonico per trefoli - [Mt] = Malta per tiranti.
Sigla	Sigla del materiale.
Coeff. Dil. Termica	Coefficiente di dilatazione termica.
E	Modulo elastico normale.
G	Modulo elastico tangenziale.
Rk	Resistenza caratteristica del materiale. Il valore riportato è "Rck" per il calcestruzzo, "f yk" per l'acciaio, "fmk" per la muratura ed "fk" nel caso di altro materiale.
γ	Coefficiente di sicurezza allo Stato Limite Ultimo del materiale. Il valore riportato è " γ_c " per il calcestruzzo, " γ_f " per l'acciaio, " γ_m " per la muratura e " γ_g " in caso di altro materiale.
ridFmk	Percentuale di riduzione di Rcfmk.
n	Coefficiente di omogeneizzazione.
ft	Il valore riportato è la "Resistenza di calcolo a trazione" per il calcestruzzo armato, la "Resistenza caratteristica a trazione" per la muratura.
fc	Il valore riportato è la "Resistenza a rottura per flessione" per il calcestruzzo armato, la "Resistenza caratteristica a compressione orizzontale" per la muratura.
τR	Il valore riportato è la "Resistenza tangenziale di calcolo" per il calcestruzzo armato, la "Resistenza caratteristica a taglio in assenza di compressione - fv0" per la muratura.
N Act	Identificativo, nella tabella materiali, dell'acciaio utilizzato.

TERRENI

N	Descrizione	γ	γ_{saturo}	ϕ	Cu	C'	Ed	Costante di sottofondo			Terreni		
								X	Y	Z	[N/cm ³]	[N/cm ³]	[N/cm ³]
1	Rilevato stradale	18000	20000	30	0,00	0,00	80	30	30	90			
2	Terreno B	18000	22000	24	0,03	0,03	80	30	30	90			
3	Terreno C	19000	22000	20	0,01	0,01	72	30	30	90			
4	Terreno D	20000	22000	21	0,01	0,01	80	30	30	90			

LEGENDA Terreni

N	Numero identificativo del terreno.
Descrizione	Descrizione del terreno.
γ	Peso per unità di volume [N/m ³].
γ_{saturo}	Peso per unità di volume saturo [N/m ³].
ϕ	Angolo di attrito [$^{\circ}$ ssdc].
Cu	Coesione [N/mm ²].
C'	Coesione Efficace [N/mm ²].
Ed	Modulo edometrico [N/mm ²].
Costante di sottofondo	Valori della costante di sottofondo del terreno nelle direzioni degli assi del riferimento globale X, Y, e Z.

CONDIZIONI DI CARICO

N	Condizioni Carico Utente			Tipologia Carico Accidentale			Condizioni di carico		
	Descrizione	AgS	Alt	Descrizione	$\psi 0$	$\psi 1$	$\psi 2$		
1	Carico Verticale	SI	NO	Traffico Veicolare	0,4	0,4	0,0		
2	Carico permanente	SI	NO	Carico permanente	1,0	1,0	1,0		

LEGENDA Condizioni di carico

N	Numero identificativo della condizione di carico.
AgS	Indica se la condizione di carico considerata è Agente con il Sisma.
Alt	Indica se la condizione di carico è Alternata (cioè considerata due volte con segno opposto) o meno.
$\psi 0$	Coefficiente riduttivo dei carichi allo SLU e SLE (Carichi rari).
$\psi 1$	Coefficiente riduttivo dei carichi allo SLE (Carichi frequenti).

N	Condizioni Carico Utente		Alt	Tipologia Carico Accidentale	Condizioni di carico		
	Descrizione	AgS			ψ 0	ψ 1	ψ 2

ψ 2 Coefficiente riduttivo dei carichi allo SLE (Carichi frequenti e quasi permanenti).

SLE: COMBINAZIONE DI AZIONI QUASI PERMANENTE - COEFFICIENTI

SLE: Combinazione di azioni Quasi permanente - Coefficienti		
COMB.	CC 01	CC 02
	Carico Verticale (Traffico Veicolare)	Carico permanente (Carico permanente)
01	0,00	1,00
02	0,00	1,00

LEGENDA SLE: Combinazione di azioni Quasi permanente - Coefficienti

COMB. Numero identificativo della Combinazione di Carico.
CC Condizione di carico considerata.
 CC 01= Carico Verticale (Traffico Veicolare)
 CC 02= Carico permanente (Carico permanente)

SLE: COMBINAZIONE DI AZIONI FREQUENTE - COEFFICIENTI

SLE: Combinazione di azioni Frequente - Coefficienti		
COMB.	CC 01	CC 02
	Carico Verticale (Traffico Veicolare)	Carico permanente (Carico permanente)
01	0,40	1,00
02	0,40	1,00

LEGENDA SLE: Combinazione di azioni Frequente - Coefficienti

COMB. Numero identificativo della Combinazione di Carico.
CC Condizione di carico considerata.
 CC 01= Carico Verticale (Traffico Veicolare)
 CC 02= Carico permanente (Carico permanente)

SLE: COMBINAZIONE DI AZIONI RARA - COEFFICIENTI

SLE: Combinazione di azioni Rara - Coefficienti		
COMB.	CC 01	CC 02
	Carico Verticale (Traffico Veicolare)	Carico permanente (Carico permanente)
01	1,00	1,00
02	1,00	1,00

LEGENDA SLE: Combinazione di azioni Rara - Coefficienti

COMB. Numero identificativo della Combinazione di Carico.
CC Condizione di carico considerata.
 CC 01= Carico Verticale (Traffico Veicolare)
 CC 02= Carico permanente (Carico permanente)

SLU: COMBINAZIONI DI CARICO IN ASSENZA DI SISMA - COEFFICIENTI

SLU: Combinazioni di carico in assenza di sisma - Coefficienti		
COMB.	CC 01	CC 02
	Carico Verticale (Traffico Veicolare)	Carico permanente (Carico permanente)
Approccio 1, Combinazione 2 - Verifica di stabilità globale (A2+M2+R2)		
01	0	1
02	1,15	1
03	0	1
04	1,15	1
Approccio 2 - Rimanenti verifiche (A1+M1+R3)		
01	0	1
02	1,35	1
03	0	1,3
04	1,35	1,3

LEGENDA SLU: Combinazioni di carico in assenza di sisma - Coefficienti

COMB. Numero identificativo della Combinazione di Carico.
CC Condizione di carico considerata.
 CC 01= Carico Verticale (Traffico Veicolare)
 CC 02= Carico permanente (Carico permanente)

SLU: COMBINAZIONI DI CARICO IN PRESENZA DI SISMA - COEFFICIENTI

SLU: Combinazioni di carico in presenza di sisma - Coefficienti		
---	--	--

COMB.	CC 01		CC 02	
	Carico Verticale (Traffico Veicolare)		Carico permanente (Carico permanente)	
01	0		1	
02	0		1	

LEGENDA SLU: Combinazioni di carico in presenza di sisma - Coefficienti

COMB. Numero identificativo della Combinazione di Carico.

CC Condizione di carico considerata.

CC 01= Carico Verticale (Traffico Veicolare)

CC 02= Carico permanente (Carico permanente)

DATI GENERALI ANALISI SISMICA

TP	Coef Ampli Topog	β_s	β_m	K _{Stbl}	K _{Muro}	Dati generali analisi sismica		
						Latitudine	Longitudine	Altitudine
C	1,20	0,28	0,38	0,13	0,18	41° 11' 55.00"	14° 50' 56.00"	345

Classe Edificio	Vita Nominale	Periodo di Riferimento	Dati generali analisi sismica		
			[adim]	[anni]	[anni]
			3	50	75

SL	Tr	Ag	Ss	F0	T*c	
					[adim]	[anni]
SLO	45	0,0785	1,500	2,360		0,294
SLD	75	0,1033	1,500	2,336		0,318
SLV	712	0,3175	1,262	2,297		0,386
SLC	1462	0,4215	1,106	2,350		0,410

LEGENDA Dati generali analisi sismica

TP

Tipo terreno prevalente, categoria di suolo di fondazione come definito al punto 3.2.2 delle Norme tecniche per le costruzioni.

Coef Ampli Topog

Coefficiente di amplificazione topografica.

β_s

Coefficiente di riduzione di accelerazione massima per Verifica di stabilità.

β_m

Coefficiente di riduzione di accelerazione massima per Muro di sostegno.

K_{Stbl}

Coefficiente per il calcolo della spinta per Verifica di stabilità.

K_{Muro}

Coefficiente per il calcolo della spinta per Muro di sostegno.

Latitudine

Latitudine geografica del sito [gradi].

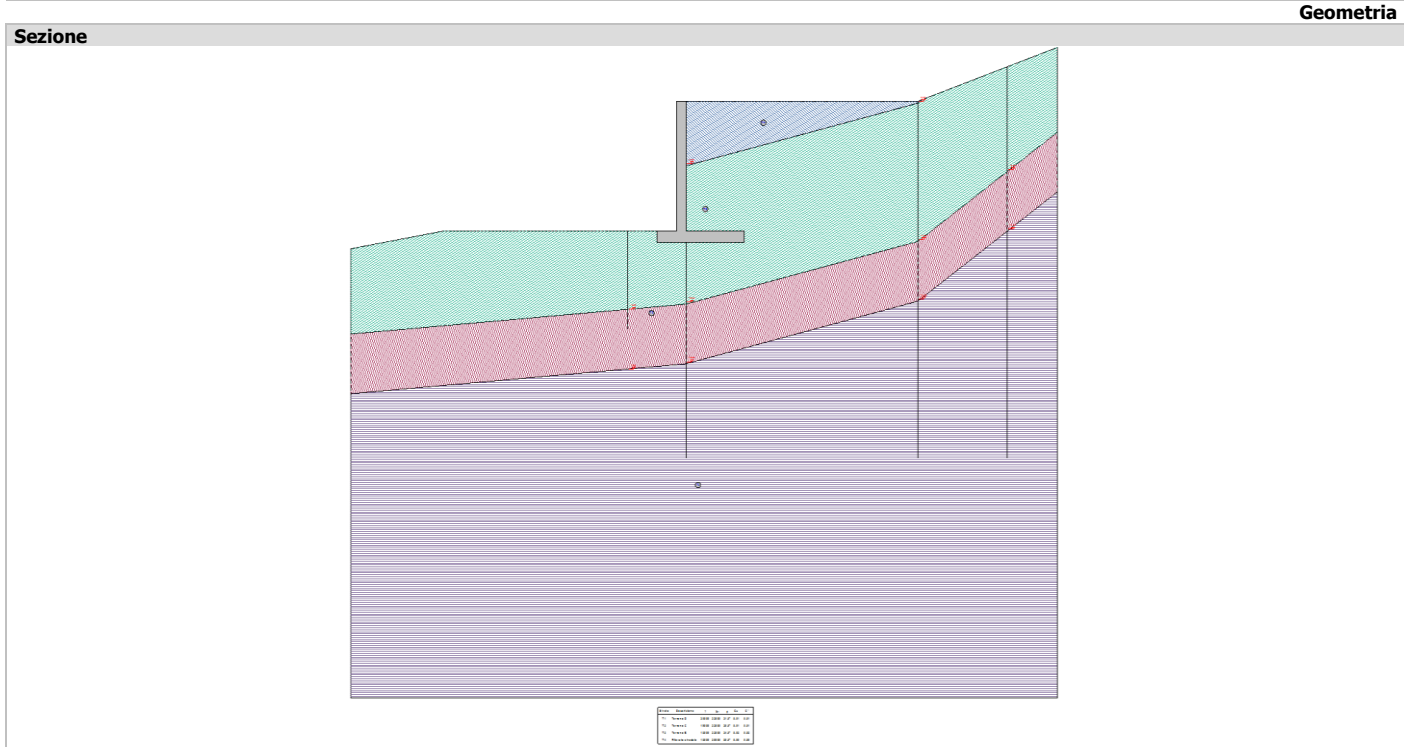
Longitudine

Longitudine geografica del sito [gradi].

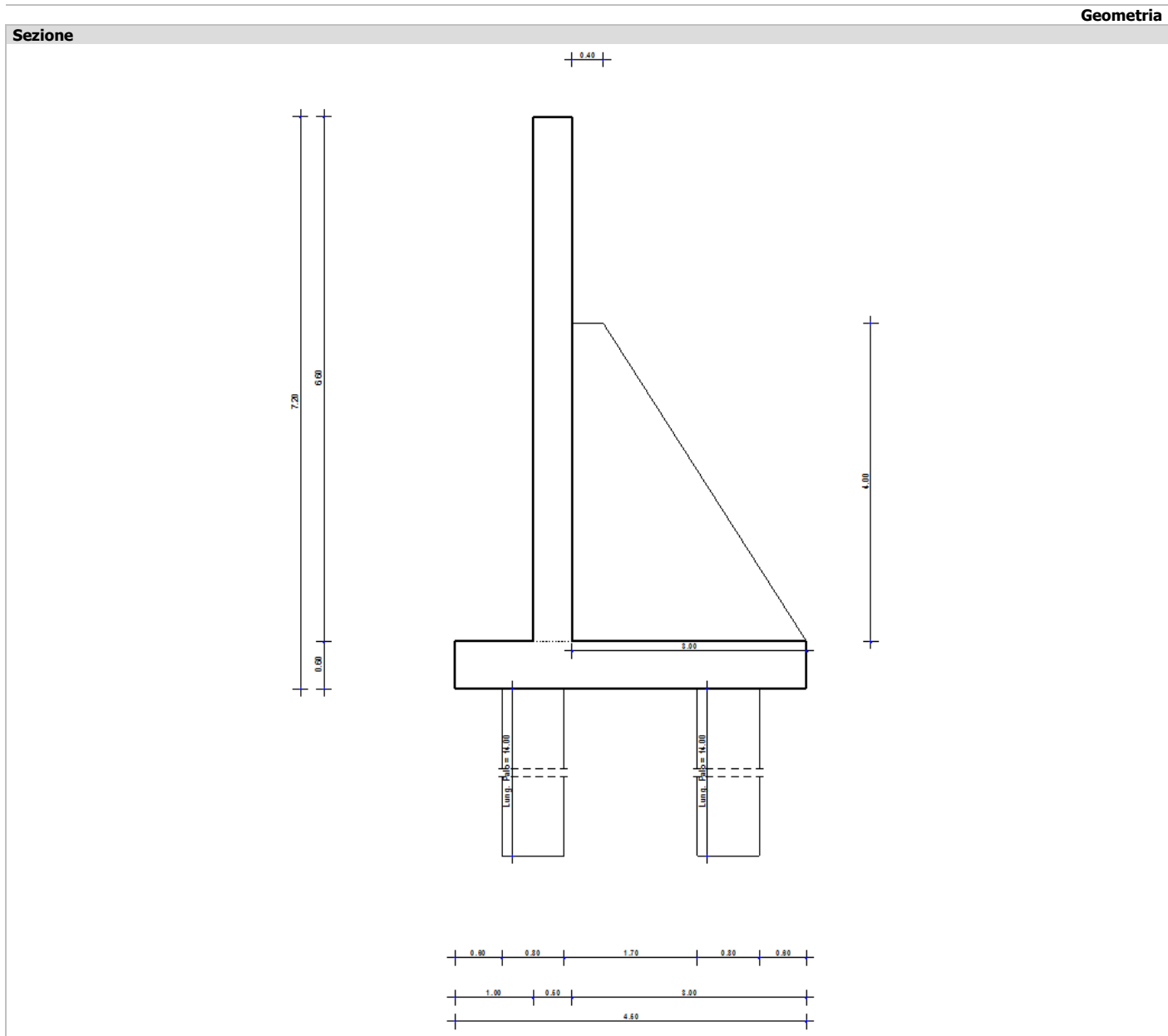
Altitudine

Altitudine geografica del sito sul livello medio del mare [m].

GEOMETRIA



GEOMETRIA



CARATTERISTICHE MECCANICHE DEGLI STRATI

N	Caratt. Geotecnica	Addens. Strato	Var. Mod. Edom.	NSPT	Alfa				Res. Tang.	Kp	PrsMenard
					IGU	IRS	IGU	IRS			
Caratteristiche meccaniche degli strati										[N/mm²]	[N/mm²]
Sezione...											
1	Sabbia media	Sciolto	Nulla	24	1,2	1,5	0,120	0,175	1,20	1,20	
2	Argilla	Sciolto	Nulla	24	1,2	1,9	0,134	0,234	1,60	1,60	
3	Argilla	Sciolto	Nulla	24	1,2	1,9	0,134	0,234	1,60	1,60	
4	Argilla	Sciolto	Nulla	24	1,2	1,9	0,134	0,234	1,60	1,60	

LEGENDA Caratteristiche meccaniche degli strati

N Numero identificativo dello strato.

Caratt. Geotecnica Caratterizzazione geotecnica per micropali.

Addens. Strato Addensamento dello strato

Var. Mod. Edom. Variazione del Modulo Edometrico.

NSPT Numero di colpi dello Standard Penetration Test

Alfa Coefficiente maggiorativo diametro perforazione per micropali.

Res. Tang. Resistenza tangenziale tra zona iniettata e terreno per micropali.

Kp Coefficiente di calcolo resistenza alla punta per micropali.

PrsMenard Pressione limite terreno determinata col pressiometro Menard.

CARICHI DISTRIBUITI SUL TERRAPIENO

Carico	CC	SR	Dis[i] [m]	Qx[i] [N] / [N/m]	Qz[i] [N] / [N/m]	Dis[f] [m]	Carichi distribuiti sul terrapieno	
							Qx[f] [N/m]	Qz[f] [N/m]
Sezione...								
Terreno								
	Carico Verticale (Trafficò Veicolare)	G	0,50	0	20 000	8,50	0	20 000
	Carico permanente (Carico permanente)	G	0,50	0	6 900	10,80	0	6 900

LEGENDA Carichi distribuiti sul terrapieno

Carico Descrizione del carico.

CC Identificativo della condizione di carico, nella relativa tabella.

SR Identificativo del sistema di riferimento considerato: [G] = Sistema di riferimento Globale X, Y, Z - [L] = Sistema di riferimento Locale 1, 2, 3.

Dis[i] Distanza del punto iniziale del tratto interessato dal carico distribuito.

Qx[i], Qz[i] Valore (nel punto iniziale) della forza distribuita riferita agli assi del sistema di riferimento indicato nella colonna "SR".

Dis[f] Distanza del punto finale del tratto interessato dal carico distribuito.

Qx[f], Qz[f] Valore (nel punto finale) della forza distribuita riferita agli assi del sistema di riferimento indicato nella colonna "SR".

SPINTE SUL PARAMENTO ALLO SLU

SPINTE SUL PARAMENTO ALLO SLU - Approccio 2, Combinazione (A1+M1+R3)						
Stato limite	Sisma	Fx [N]	Fz [N]	Angolo [gradi]	PtApp [m]	
Sezione...						
SLU	NO	30 688	11 312	58		X: 0,50; Z: 4,22
SLU	NO	62 684	22 049	58		X: 0,50; Z: 4,22
SLU	NO	39 894	14 706	58		X: 0,50; Z: 4,22
SLU	NO	71 890	25 443	58		X: 0,50; Z: 4,22
SLV	SI	85 842	28 451	51		X: 0,50; Z: 2,48
SLV	SI	58 484	20 110	51		X: 0,50; Z: 2,63

LEGENDA Spinte sul paramento allo SLU

Stato limite Tipo di Stato Limite.

Sisma Sisma agente nella Combinazione.

Fx Spinta Orizzontale [N].

Fz Spinta Verticale [N].

Angolo Angolo della retta delimitante il cuneo di Spinta [gradi].

PtApp Punto di applicazione della Spinta [m].

SPINTE SUL CUNEO ALLO SLU

SPINTE SUL CUNEO ALLO SLU - Approccio 2, Combinazione (A1+M1+R3)						
Stato limite	Sisma	Fx [N]	Fz [N]	Angolo [gradi]	PtApp [m]	
Sezione...						
SLU	NO	14 332	5 586	59		X: 3,50; Z: 5,11
SLU	NO	38 455	13 603	59		X: 3,50; Z: 5,11
SLU	NO	18 632	7 261	59		X: 3,50; Z: 5,11
SLU	NO	42 755	15 278	59		X: 3,50; Z: 5,11
SLV	SI	78 622	24 781	55		X: 3,50; Z: 1,25
SLV	SI	43 706	14 437	55		X: 3,50; Z: 1,46

LEGENDA Spinte sul cuneo allo SLU

Stato limite Tipo di Stato Limite.

Sisma Sisma agente nella Combinazione.

Fx Spinta Orizzontale [N].

Fz Spinta Verticale [N].

Angolo Angolo della retta delimitante il cuneo di Spinta [gradi].

PtApp Punto di applicazione della Spinta [m].

SPINTE SUL PARAMENTO ALLO SLE

SPINTE SUL PARAMENTO ALLO SLE						
Combinazione	Sisma	Fx [N]	Fz [N]	Angolo [gradi]	PtApp [m]	
Sezione...						
RARA	NO	54 389	19 265	58		X: 0,50; Z: 4,22
RARA	NO	54 389	19 265	58		X: 0,50; Z: 4,22
FREQUENTE	NO	40 168	14 493	58		X: 0,50; Z: 4,22
FREQUENTE	NO	40 168	14 493	58		X: 0,50; Z: 4,22
QUASI PERMANENTE	NO	30 688	11 312	58		X: 0,50; Z: 4,22
QUASI PERMANENTE	NO	30 688	11 312	58		X: 0,50; Z: 4,22

LEGENDA Spinte sul paramento allo SLE

Combinazione Combinazione di Carico allo SLE.

Sisma Sisma agente nella Combinazione.

Fx Spinta Orizzontale [N].

Fz Spinta Verticale [N].

Angolo Angolo della retta delimitante il cuneo di Spinta [gradi].

SPINTE SUL PARAMENTO ALLO SLE						
Combinazione	Sisma	Fx [N]	Fz [N]	Angolo [gradi]	PtApp [m]	
PtApp	Punto di applicazione della Spinta [m].					
SPINTE SUL CUNEO ALLO SLE						
Combinazione	Sisma	Fx [N]	Fz [N]	Angolo [gradi]	PtApp [m]	
Sezione...						
RARA	NO	32 201	11 524	59	X: 3,50; Z: 5,11	
RARA	NO	32 201	11 524	59	X: 3,50; Z: 5,11	
FREQUENTE	NO	21 480	7 961	59	X: 3,50; Z: 5,11	
FREQUENTE	NO	21 480	7 961	59	X: 3,50; Z: 5,11	
QUASI PERMANENTE	NO	14 332	5 586	59	X: 3,50; Z: 5,11	
QUASI PERMANENTE	NO	14 332	5 586	59	X: 3,50; Z: 5,11	
LEGENDA Spinte sul cuneo allo SLE						
Combinazione	Combinazione di Carico allo SLE.					
Sisma	Sisma agente nella Combinazione.					
Fx	Spinta Orizzontale [N].					
Fz	Spinta Verticale [N].					
Angolo	Angolo della retta delimitante il cuneo di Spinta [gradi].					
PtApp	Punto di applicazione della Spinta [m].					
SOLLECITAZIONI SUL PARAMENTO						
Approccio	Stato limite	Sisma	N [N]	My [Nm]	Tx [N]	
Sezione...						
Sez. calcolo n.1 - Dis: 0.00						
Approccio 2, Combinazione (A1+M1+R3)	SLU	NO	90312	-52625,00	-11970,00	
Approccio 2, Combinazione (A1+M1+R3)	SLU	NO	90312	-100553,00	-24448,00	
Approccio 2, Combinazione (A1+M1+R3)	SLU	NO	117408	-68405,00	-15558,00	
Approccio 2, Combinazione (A1+M1+R3)	SLU	NO	117408	-116332,00	-28036,00	
Approccio 2, Combinazione (A1+M1+R3)	SLV	SI	97817	-118937,00	-40292,00	
Approccio 2, Combinazione (A1+M1+R3)	SLV	SI	82807	-95252,00	-29178,00	
-	SLE: Combinazione RARA	NO	90312	-88126,00	-21212,00	
-	SLE: Combinazione RARA	NO	90312	-88126,00	-21212,00	
-	SLE: Combinazione FREQUENTE	NO	90312	-66828,00	-15667,00	
-	SLE: Combinazione FREQUENTE	NO	90312	-66828,00	-15667,00	
-	SLE: Combinazione QUASI PERMANENTE	NO	90312	-52625,00	-11970,00	
-	SLE: Combinazione QUASI PERMANENTE	NO	90312	-52625,00	-11970,00	
Sez. calcolo n.2 - Dis: 0.82						
Approccio 2, Combinazione (A1+M1+R3)	SLU	NO	79553	-43687,00	-10934,00	
Approccio 2, Combinazione (A1+M1+R3)	SLU	NO	79553	-81784,00	-22547,00	
Approccio 2, Combinazione (A1+M1+R3)	SLU	NO	103420	-56788,00	-14212,00	
Approccio 2, Combinazione (A1+M1+R3)	SLU	NO	103420	-94885,00	-25825,00	
Approccio 2, Combinazione (A1+M1+R3)	SLV	SI	86124	-89728,00	-32242,00	
Approccio 2, Combinazione (A1+M1+R3)	SLV	SI	72982	-73980,00	-23686,00	
-	SLE: Combinazione RARA	NO	79553	-71907,00	-19536,00	
-	SLE: Combinazione RARA	NO	79553	-71907,00	-19536,00	
-	SLE: Combinazione FREQUENTE	NO	79553	-54976,00	-14375,00	
-	SLE: Combinazione FREQUENTE	NO	79553	-54976,00	-14375,00	
-	SLE: Combinazione QUASI PERMANENTE	NO	79553	-43687,00	-10934,00	
-	SLE: Combinazione QUASI PERMANENTE	NO	79553	-43687,00	-10934,00	
Sez. calcolo n.3 - Dis: 1.64						
Approccio 2, Combinazione (A1+M1+R3)	SLU	NO	70019	-34425,00	-11508,00	
Approccio 2, Combinazione (A1+M1+R3)	SLU	NO	70019	-63481,00	-22080,00	

SOLLECITAZIONI SUL PARAMENTO						
Approccio	Stato limite	Sisma	N [N]	My [Nm]	Tx [N]	
Approccio 2, Combinazione (A1+M1+R3)	SLU	NO	91025	-44749,00	-14958,00	
Approccio 2, Combinazione (A1+M1+R3)	SLU	NO	91025	-73805,00	-25530,00	
Approccio 2, Combinazione (A1+M1+R3)	SLV	SI	75656	-65981,00	-26545,00	
Approccio 2, Combinazione (A1+M1+R3)	SLV	SI	64382	-56197,00	-20251,00	
-	SLE: Combinazione RARA	NO	70019	-55948,00	-19339,00	
-	SLE: Combinazione RARA	NO	70019	-55948,00	-19339,00	
-	SLE: Combinazione FREQUENTE	NO	70019	-43036,00	-14641,00	
-	SLE: Combinazione FREQUENTE	NO	70019	-43036,00	-14641,00	
-	SLE: Combinazione QUASI PERMANENTE	NO	70019	-34425,00	-11508,00	
-	SLE: Combinazione QUASI PERMANENTE	NO	70019	-34425,00	-11508,00	
Sez. calcolo n.4 - Dis: 2.45						
Approccio 2, Combinazione (A1+M1+R3)	SLU	NO	60522	-24688,00	-12081,00	
Approccio 2, Combinazione (A1+M1+R3)	SLU	NO	60522	-45652,00	-21397,00	
Approccio 2, Combinazione (A1+M1+R3)	SLU	NO	78679	-32092,00	-15703,00	
Approccio 2, Combinazione (A1+M1+R3)	SLU	NO	78679	-53057,00	-25020,00	
Approccio 2, Combinazione (A1+M1+R3)	SLV	SI	65225	-45822,00	-23262,00	
Approccio 2, Combinazione (A1+M1+R3)	SLV	SI	55819	-40263,00	-19076,00	
-	SLE: Combinazione RARA	NO	60522	-40218,00	-18982,00	
-	SLE: Combinazione RARA	NO	60522	-40218,00	-18982,00	
-	SLE: Combinazione FREQUENTE	NO	60522	-30901,00	-14841,00	
-	SLE: Combinazione FREQUENTE	NO	60522	-30901,00	-14841,00	
-	SLE: Combinazione QUASI PERMANENTE	NO	60522	-24688,00	-12081,00	
-	SLE: Combinazione QUASI PERMANENTE	NO	60522	-24688,00	-12081,00	
Sez. calcolo n.5 - Dis: 3.27						
Approccio 2, Combinazione (A1+M1+R3)	SLU	NO	51064	-14479,00	-12645,00	
Approccio 2, Combinazione (A1+M1+R3)	SLU	NO	51064	-28498,00	-20452,00	
Approccio 2, Combinazione (A1+M1+R3)	SLU	NO	66385	-18822,00	-16437,00	
Approccio 2, Combinazione (A1+M1+R3)	SLU	NO	66385	-32842,00	-24244,00	
Approccio 2, Combinazione (A1+M1+R3)	SLV	SI	54833	-27269,00	-22295,00	
Approccio 2, Combinazione (A1+M1+R3)	SLV	SI	47295	-24229,00	-19807,00	
-	SLE: Combinazione RARA	NO	51064	-24864,00	-18428,00	
-	SLE: Combinazione RARA	NO	51064	-24864,00	-18428,00	
-	SLE: Combinazione FREQUENTE	NO	51064	-18634,00	-14958,00	
-	SLE: Combinazione FREQUENTE	NO	51064	-18634,00	-14958,00	
-	SLE: Combinazione QUASI PERMANENTE	NO	51064	-14479,00	-12645,00	
-	SLE: Combinazione QUASI PERMANENTE	NO	51064	-14479,00	-12645,00	
Sez. calcolo n.6 - Dis: 4.09						
Approccio 2, Combinazione (A1+M1+R3)	SLU	NO	36468	-17041,00	-19090,00	
Approccio 2, Combinazione (A1+M1+R3)	SLU	NO	36468	-38371,00	-34817,00	
Approccio 2, Combinazione (A1+M1+R3)	SLU	NO	47410	-22153,00	-24815,00	
Approccio 2, Combinazione (A1+M1+R3)	SLU	NO	47410	-43484,00	-40542,00	
Approccio 2, Combinazione (A1+M1+R3)	SLV	SI	39304	-33265,00	-34677,00	
Approccio 2, Combinazione (A1+M1+R3)	SLV	SI	33632	-29600,00	-30930,00	
-	SLE: Combinazione	NO	36468	-32842,00	-30740,00	

SOLLECITAZIONI SUL PARAMENTO						
Approccio	Stato limite	Sisma	N [N]	My [Nm]	Tx [N]	
Sez. calcolo n.7 - Dis: 4.91	RARA		NO	36468	-32842,00	-30740,00
	- SLE: Combinazione RARA					
	- SLE: Combinazione FREQUENTE					
	- SLE: Combinazione FREQUENTE					
	- SLE: Combinazione QUASI PERMANENTE					
	- SLE: Combinazione QUASI PERMANENTE					
Sez. calcolo n.8 - Dis: 5.72	Approccio 2, Combinazione (A1+M1+R3)	SLU	NO	23229	-5876,00	-9585,00
	Approccio 2, Combinazione (A1+M1+R3)	SLU	NO	23229	-15930,00	-20857,00
	Approccio 2, Combinazione (A1+M1+R3)	SLU	NO	30197	-7640,00	-12460,00
	Approccio 2, Combinazione (A1+M1+R3)	SLU	NO	30197	-17694,00	-23732,00
	Approccio 2, Combinazione (A1+M1+R3)	SLV	SI	25131	-12125,00	-18165,00
	Approccio 2, Combinazione (A1+M1+R3)	SLV	SI	21327	-10812,00	-16253,00
	- SLE: Combinazione RARA		NO	23229	-13324,00	-17936,00
	- SLE: Combinazione RARA					
	- SLE: Combinazione FREQUENTE					
	- SLE: Combinazione FREQUENTE					
	- SLE: Combinazione QUASI PERMANENTE					
	- SLE: Combinazione QUASI PERMANENTE					
Sez. calcolo n.9 - Dis: 6.54	Approccio 2, Combinazione (A1+M1+R3)	SLU	NO	11198	-1063,00	-3223,00
	Approccio 2, Combinazione (A1+M1+R3)	SLU	NO	11198	-3787,00	-9269,00
	Approccio 2, Combinazione (A1+M1+R3)	SLU	NO	14557	-1382,00	-4192,00
	Approccio 2, Combinazione (A1+M1+R3)	SLU	NO	14557	-4107,00	-10238,00
	Approccio 2, Combinazione (A1+M1+R3)	SLV	SI	12166	-2410,00	-6630,00
	Approccio 2, Combinazione (A1+M1+R3)	SLV	SI	10230	-2157,00	-5967,00
	- SLE: Combinazione RARA		NO	11198	-3081,00	-7702,00
	- SLE: Combinazione RARA					
	- SLE: Combinazione FREQUENTE					
	- SLE: Combinazione FREQUENTE					
	- SLE: Combinazione QUASI PERMANENTE					
	- SLE: Combinazione QUASI PERMANENTE					
Sez. calcolo n.10 - Dis: 7.50	Approccio 2, Combinazione (A1+M1+R3)	SLU	NO	375	0,00	0,00
	Approccio 2, Combinazione (A1+M1+R3)	SLU	NO	375	0,00	0,00
	Approccio 2, Combinazione (A1+M1+R3)	SLU	NO	487	0,00	0,00
	Approccio 2, Combinazione (A1+M1+R3)	SLU	NO	487	0,00	0,00
	Approccio 2, Combinazione (A1+M1+R3)	SLV	SI	409	-1,00	-69,00
	Approccio 2, Combinazione (A1+M1+R3)	SLV	SI	341	-1,00	-69,00
	- SLE: Combinazione RARA		NO	375	0,00	0,00
	- SLE: Combinazione RARA					
	- SLE: Combinazione FREQUENTE					
	- SLE: Combinazione FREQUENTE					
	- SLE: Combinazione QUASI PERMANENTE					

SOLLECITAZIONI SUL PARAMENTO						
Approccio	Stato limite	Sisma	N [N]	My [Nm]	Tx [N]	
-	SLE: Combinazione QUASI PERMANENTE	NO	375	0,00	0,00	

LEGENDA Sollecitazioni sul Paramento

Approccio Tipo di Approccio seguito.

Stato limite Tipo di Stato Limite.

Sisma Sisma agente nella Combinazione.

N Sforzo Normale [N].

My Vettore Momento ortogonale al piano dell'elemento [Nm].

Tx Taglio orizzontale nel piano dell'elemento [N].

SOLLECITAZIONI SULLA FONDAZIONE

SOLLECITAZIONI SULLA FONDAZIONE						
Approccio	Stato limite	Sisma	N [N]	My [Nm]	Tx [N]	
Sezione...						
Sez. calcolo n.10 - Dis: 0.00(Valle)						
Approccio 2, Combinazione (A1+M1+R3)	SLU	NO	0	2,00	234,00	
Approccio 2, Combinazione (A1+M1+R3)	SLU	NO	0	6,00	234,00	
Approccio 2, Combinazione (A1+M1+R3)	SLU	NO	0	2,00	304,00	
Approccio 2, Combinazione (A1+M1+R3)	SLU	NO	0	6,00	304,00	
Approccio 2, Combinazione (A1+M1+R3)	SLV	SI	0	-44,00	255,00	
Approccio 2, Combinazione (A1+M1+R3)	SLV	SI	0	-45,00	213,00	
-	SLE: Combinazione RARA	NO	0	5,00	234,00	
-	SLE: Combinazione RARA	NO	0	5,00	234,00	
-	SLE: Combinazione FREQUENTE	NO	0	3,00	234,00	
-	SLE: Combinazione FREQUENTE	NO	0	3,00	234,00	
-	SLE: Combinazione QUASI PERMANENTE	NO	0	2,00	234,00	
-	SLE: Combinazione QUASI PERMANENTE	NO	0	2,00	234,00	
Sez. calcolo n.11 - Dis: 0.12(Valle)						
Approccio 2, Combinazione (A1+M1+R3)	SLU	NO	0	83,00	1150,00	
Approccio 2, Combinazione (A1+M1+R3)	SLU	NO	0	87,00	1150,00	
Approccio 2, Combinazione (A1+M1+R3)	SLU	NO	0	108,00	1496,00	
Approccio 2, Combinazione (A1+M1+R3)	SLU	NO	0	112,00	1496,00	
Approccio 2, Combinazione (A1+M1+R3)	SLV	SI	0	45,00	1255,00	
Approccio 2, Combinazione (A1+M1+R3)	SLV	SI	0	29,00	1045,00	
-	SLE: Combinazione RARA	NO	0	86,00	1150,00	
-	SLE: Combinazione RARA	NO	0	86,00	1150,00	
-	SLE: Combinazione FREQUENTE	NO	0	84,00	1150,00	
-	SLE: Combinazione FREQUENTE	NO	0	84,00	1150,00	
-	SLE: Combinazione QUASI PERMANENTE	NO	0	83,00	1150,00	
-	SLE: Combinazione QUASI PERMANENTE	NO	0	83,00	1150,00	
Sez. calcolo n.12 - Dis: 0.24(Valle)						
Approccio 2, Combinazione (A1+M1+R3)	SLU	NO	0	272,00	2067,00	
Approccio 2, Combinazione (A1+M1+R3)	SLU	NO	0	276,00	2067,00	
Approccio 2, Combinazione (A1+M1+R3)	SLU	NO	0	353,00	2687,00	
Approccio 2, Combinazione (A1+M1+R3)	SLU	NO	0	358,00	2687,00	
Approccio 2, Combinazione (A1+M1+R3)	SLV	SI	0	252,00	2256,00	
Approccio 2, Combinazione (A1+M1+R3)	SLV	SI	0	201,00	1878,00	
-	SLE: Combinazione RARA	NO	0	275,00	2067,00	
-	SLE: Combinazione RARA	NO	0	275,00	2067,00	

Approccio	Stato limite	Sisma	N [N]	SOLLECITAZIONI SULLA FONDAZIONE	
				My [Nm]	Tx [N]
-	SLE: Combinazione FREQUENTE	NO	0	273,00	2067,00
-	SLE: Combinazione FREQUENTE	NO	0	273,00	2067,00
-	SLE: Combinazione QUASI PERMANENTE	NO	0	272,00	2067,00
-	SLE: Combinazione QUASI PERMANENTE	NO	0	272,00	2067,00
Sez. calcolo n.13 - Dis: 0.35(Valle)					
Approccio 2, Combinazione (A1+M1+R3)	SLU	NO	0	568,00	2983,00
Approccio 2, Combinazione (A1+M1+R3)	SLU	NO	0	573,00	2983,00
Approccio 2, Combinazione (A1+M1+R3)	SLU	NO	0	739,00	3879,00
Approccio 2, Combinazione (A1+M1+R3)	SLU	NO	0	744,00	3879,00
Approccio 2, Combinazione (A1+M1+R3)	SLV	SI	0	575,00	3256,00
Approccio 2, Combinazione (A1+M1+R3)	SLV	SI	0	471,00	2711,00
-	SLE: Combinazione RARA	NO	0	571,00	2983,00
-	SLE: Combinazione RARA	NO	0	571,00	2983,00
-	SLE: Combinazione FREQUENTE	NO	0	569,00	2983,00
-	SLE: Combinazione FREQUENTE	NO	0	569,00	2983,00
-	SLE: Combinazione QUASI PERMANENTE	NO	0	568,00	2983,00
-	SLE: Combinazione QUASI PERMANENTE	NO	0	568,00	2983,00
Sez. calcolo n.14 - Dis: 0.47(Valle)					
Approccio 2, Combinazione (A1+M1+R3)	SLU	NO	0	973,00	3900,00
Approccio 2, Combinazione (A1+M1+R3)	SLU	NO	0	977,00	3900,00
Approccio 2, Combinazione (A1+M1+R3)	SLU	NO	0	1265,00	5070,00
Approccio 2, Combinazione (A1+M1+R3)	SLU	NO	0	1269,00	5070,00
Approccio 2, Combinazione (A1+M1+R3)	SLV	SI	0	1017,00	4256,00
Approccio 2, Combinazione (A1+M1+R3)	SLV	SI	0	838,00	3544,00
-	SLE: Combinazione RARA	NO	0	976,00	3900,00
-	SLE: Combinazione RARA	NO	0	976,00	3900,00
-	SLE: Combinazione FREQUENTE	NO	0	974,00	3900,00
-	SLE: Combinazione FREQUENTE	NO	0	974,00	3900,00
-	SLE: Combinazione QUASI PERMANENTE	NO	0	973,00	3900,00
-	SLE: Combinazione QUASI PERMANENTE	NO	0	973,00	3900,00
Sez. calcolo n.15 - Dis: 0.59(Valle)					
Approccio 2, Combinazione (A1+M1+R3)	SLU	NO	0	1485,00	4817,00
Approccio 2, Combinazione (A1+M1+R3)	SLU	NO	0	1489,00	4817,00
Approccio 2, Combinazione (A1+M1+R3)	SLU	NO	0	1930,00	6261,00
Approccio 2, Combinazione (A1+M1+R3)	SLU	NO	0	1935,00	6261,00
Approccio 2, Combinazione (A1+M1+R3)	SLV	SI	0	1576,00	5257,00
Approccio 2, Combinazione (A1+M1+R3)	SLV	SI	0	1304,00	4377,00
-	SLE: Combinazione RARA	NO	0	1488,00	4817,00
-	SLE: Combinazione RARA	NO	0	1488,00	4817,00
-	SLE: Combinazione FREQUENTE	NO	0	1486,00	4817,00
-	SLE: Combinazione FREQUENTE	NO	0	1486,00	4817,00
-	SLE: Combinazione QUASI PERMANENTE	NO	0	1485,00	4817,00
-	SLE: Combinazione QUASI PERMANENTE	NO	0	1485,00	4817,00
Sez. calcolo n.16 - Dis: 0.71(Valle)					

SOLLECITAZIONI SULLA FONDAZIONE						
Approccio	Stato limite	Sisma	N [N]	My [Nm]	Tx [N]	
Approccio 2, Combinazione (A1+M1+R3)	SLU	NO	0	2105,00	5733,00	
Approccio 2, Combinazione (A1+M1+R3)	SLU	NO	0	2109,00	5733,00	
Approccio 2, Combinazione (A1+M1+R3)	SLU	NO	0	2736,00	7453,00	
Approccio 2, Combinazione (A1+M1+R3)	SLU	NO	0	2740,00	7453,00	
Approccio 2, Combinazione (A1+M1+R3)	SLV	SI	0	2252,00	6257,00	
Approccio 2, Combinazione (A1+M1+R3)	SLV	SI	0	1867,00	5209,00	
Approccio 2, Combinazione (A1+M1+R3)	-	SLE: Combinazione RARA	NO	2108,00	5733,00	
	-	SLE: Combinazione RARA	NO	2108,00	5733,00	
	-	SLE: Combinazione FREQUENTE	NO	2106,00	5733,00	
	-	SLE: Combinazione FREQUENTE	NO	2106,00	5733,00	
	-	SLE: Combinazione QUASI PERMANENTE	NO	2105,00	5733,00	
	-	SLE: Combinazione QUASI PERMANENTE	NO	2105,00	5733,00	
Sez. calcolo n.17 - Dis: 0.82(Valle)						
Approccio 2, Combinazione (A1+M1+R3)	SLU	NO	0	2832,00	6650,00	
Approccio 2, Combinazione (A1+M1+R3)	SLU	NO	0	2837,00	6650,00	
Approccio 2, Combinazione (A1+M1+R3)	SLU	NO	0	3682,00	8644,00	
Approccio 2, Combinazione (A1+M1+R3)	SLU	NO	0	3686,00	8644,00	
Approccio 2, Combinazione (A1+M1+R3)	SLV	SI	0	3046,00	7258,00	
Approccio 2, Combinazione (A1+M1+R3)	SLV	SI	0	2528,00	6042,00	
Approccio 2, Combinazione (A1+M1+R3)	-	SLE: Combinazione RARA	NO	2836,00	6650,00	
	-	SLE: Combinazione RARA	NO	2836,00	6650,00	
	-	SLE: Combinazione FREQUENTE	NO	2833,00	6650,00	
	-	SLE: Combinazione FREQUENTE	NO	2833,00	6650,00	
	-	SLE: Combinazione QUASI PERMANENTE	NO	2832,00	6650,00	
	-	SLE: Combinazione QUASI PERMANENTE	NO	2832,00	6650,00	
Sez. calcolo n.18 - Dis: 0.94(Valle)						
Approccio 2, Combinazione (A1+M1+R3)	SLU	NO	0	3668,00	7566,00	
Approccio 2, Combinazione (A1+M1+R3)	SLU	NO	0	3672,00	7566,00	
Approccio 2, Combinazione (A1+M1+R3)	SLU	NO	0	4768,00	9836,00	
Approccio 2, Combinazione (A1+M1+R3)	SLU	NO	0	4772,00	9836,00	
Approccio 2, Combinazione (A1+M1+R3)	SLV	SI	0	3958,00	8258,00	
Approccio 2, Combinazione (A1+M1+R3)	SLV	SI	0	3286,00	6874,00	
Approccio 2, Combinazione (A1+M1+R3)	-	SLE: Combinazione RARA	NO	3671,00	7566,00	
	-	SLE: Combinazione RARA	NO	3671,00	7566,00	
	-	SLE: Combinazione FREQUENTE	NO	3669,00	7566,00	
	-	SLE: Combinazione FREQUENTE	NO	3669,00	7566,00	
	-	SLE: Combinazione QUASI PERMANENTE	NO	3668,00	7566,00	
	-	SLE: Combinazione QUASI PERMANENTE	NO	3668,00	7566,00	
Sez. calcolo n.19 - Dis: 0.00(Monte)						
Approccio 2, Combinazione (A1+M1+R3)	SLU	NO	0	57720,00	84769,00	
Approccio 2, Combinazione (A1+M1+R3)	SLU	NO	0	96191,00	114990,00	
Approccio 2, Combinazione (A1+M1+R3)	SLU	NO	0	75034,00	110201,00	
Approccio 2, Combinazione (A1+M1+R3)	SLU	NO	0	113505,00	140422,00	
Approccio 2, Combinazione (A1+M1+R3)	SLV	SI	0	98146,00	105788,00	

SOLLECITAZIONI SULLA FONDAZIONE						
Approccio	Stato limite	Sisma	N [N]	My [Nm]	Tx [N]	
(A1+M1+R3) Approccio 2, Combinazione (A1+M1+R3)	SLV	SI	0	87059,00	99118,00	
	- SLE: Combinazione RARARA	NO	0	86217,00	107155,00	
	- SLE: Combinazione RARARA	NO	0	86217,00	107155,00	
	- SLE: Combinazione FREQUENTE	NO	0	69120,00	93724,00	
	- SLE: Combinazione FREQUENTE	NO	0	69120,00	93724,00	
	- SLE: Combinazione QUASI PERMANENTE	NO	0	57720,00	84769,00	
	- SLE: Combinazione QUASI PERMANENTE	NO	0	57720,00	84769,00	
Sez. calcolo n.20 - Dis: 0.37(Monte)						
Approccio 2, Combinazione (A1+M1+R3)	SLU	NO	0	31944,00	57203,00	
Approccio 2, Combinazione (A1+M1+R3)	SLU	NO	0	59309,00	87424,00	
Approccio 2, Combinazione (A1+M1+R3)	SLU	NO	0	41525,00	74364,00	
Approccio 2, Combinazione (A1+M1+R3)	SLU	NO	0	68890,00	104584,00	
Approccio 2, Combinazione (A1+M1+R3)	SLV	SI	0	64694,00	77960,00	
Approccio 2, Combinazione (A1+M1+R3)	SLV	SI	0	55963,00	71814,00	
-	SLE: Combinazione RARARA	NO	0	52215,00	79589,00	
	- SLE: Combinazione RARARA	NO	0	52215,00	79589,00	
	- SLE: Combinazione FREQUENTE	NO	0	40054,00	66158,00	
	- SLE: Combinazione FREQUENTE	NO	0	40054,00	66158,00	
	- SLE: Combinazione QUASI PERMANENTE	NO	0	31944,00	57203,00	
	- SLE: Combinazione QUASI PERMANENTE	NO	0	31944,00	57203,00	
	- SLE: Combinazione QUASI PERMANENTE	NO	0	31944,00	57203,00	
Sez. calcolo n.21 - Dis: 0.74(Monte)						
Approccio 2, Combinazione (A1+M1+R3)	SLU	NO	0	15500,00	29636,00	
Approccio 2, Combinazione (A1+M1+R3)	SLU	NO	0	31758,00	59857,00	
Approccio 2, Combinazione (A1+M1+R3)	SLU	NO	0	20148,00	38526,00	
Approccio 2, Combinazione (A1+M1+R3)	SLU	NO	0	36407,00	68747,00	
Approccio 2, Combinazione (A1+M1+R3)	SLV	SI	0	40670,00	50132,00	
Approccio 2, Combinazione (A1+M1+R3)	SLV	SI	0	34101,00	44509,00	
-	SLE: Combinazione RARARA	NO	0	27544,00	52022,00	
	- SLE: Combinazione RARARA	NO	0	27544,00	52022,00	
	- SLE: Combinazione FREQUENTE	NO	0	20318,00	38591,00	
	- SLE: Combinazione FREQUENTE	NO	0	20318,00	38591,00	
	- SLE: Combinazione QUASI PERMANENTE	NO	0	15500,00	29636,00	
	- SLE: Combinazione QUASI PERMANENTE	NO	0	15500,00	29636,00	
	- SLE: Combinazione QUASI PERMANENTE	NO	0	15500,00	29636,00	
Sez. calcolo n.22 - Dis: 1.10(Monte)						
Approccio 2, Combinazione (A1+M1+R3)	SLU	NO	0	8500,00	8245,00	
Approccio 2, Combinazione (A1+M1+R3)	SLU	NO	0	13653,00	38465,00	
Approccio 2, Combinazione (A1+M1+R3)	SLU	NO	0	11050,00	10716,00	
Approccio 2, Combinazione (A1+M1+R3)	SLU	NO	0	16202,00	40937,00	
Approccio 2, Combinazione (A1+M1+R3)	SLV	SI	0	26186,00	28478,00	
Approccio 2, Combinazione (A1+M1+R3)	SLV	SI	0	21587,00	23379,00	
-	SLE: Combinazione RARARA	NO	0	12317,00	30631,00	
	- SLE: Combinazione RARARA	NO	0	12317,00	30631,00	
	- SLE: Combinazione FREQUENTE	NO	0	10028,00	17200,00	

SOLLECITAZIONI SULLA FONDAZIONE						
Approccio	Stato limite	Sisma	N [N]	My [Nm]	Tx [N]	
-	SLE: Combinazione FREQUENTE	NO	0	10028,00	17200,00	
	SLE: Combinazione QUASI PERMANENTE		0	8500,00	8245,00	
	SLE: Combinazione QUASI PERMANENTE		0	8500,00	8245,00	
Sez. calcolo n.23 - Dis: 1.47(Monte)						
Approccio 2, Combinazione (A1+M1+R3)	SLU	NO	0	10921,00	-30086,00	
Approccio 2, Combinazione (A1+M1+R3)	SLU	NO	0	4967,00	-41985,00	
Approccio 2, Combinazione (A1+M1+R3)	SLU	NO	0	14197,00	-39114,00	
Approccio 2, Combinazione (A1+M1+R3)	SLU	NO	0	8243,00	-51014,00	
Approccio 2, Combinazione (A1+M1+R3)	SLV	SI	0	21219,00	-10115,00	
Approccio 2, Combinazione (A1+M1+R3)	SLV	SI	0	18398,00	-14689,00	
-	SLE: Combinazione RARA	NO	0	6510,00	-38900,00	
	SLE: Combinazione RARA		0	6510,00	-38900,00	
	SLE: Combinazione FREQUENTE		0	9157,00	-33611,00	
	SLE: Combinazione FREQUENTE		0	9157,00	-33611,00	
	SLE: Combinazione QUASI PERMANENTE		0	10921,00	-30086,00	
	SLE: Combinazione QUASI PERMANENTE		0	10921,00	-30086,00	
	SLE: Combinazione QUASI PERMANENTE		0	10921,00	-30086,00	
Sez. calcolo n.24 - Dis: 1.84(Monte)						
Approccio 2, Combinazione (A1+M1+R3)	SLU	NO	0	26628,00	-57652,00	
Approccio 2, Combinazione (A1+M1+R3)	SLU	NO	0	25047,00	-69552,00	
Approccio 2, Combinazione (A1+M1+R3)	SLU	NO	0	34617,00	-74952,00	
Approccio 2, Combinazione (A1+M1+R3)	SLU	NO	0	33037,00	-86851,00	
Approccio 2, Combinazione (A1+M1+R3)	SLV	SI	0	29635,00	-37943,00	
Approccio 2, Combinazione (A1+M1+R3)	SLV	SI	0	28398,00	-41994,00	
-	SLE: Combinazione RARA	NO	0	25457,00	-66466,00	
	SLE: Combinazione RARA		0	25457,00	-66466,00	
	SLE: Combinazione FREQUENTE		0	26160,00	-61177,00	
	SLE: Combinazione FREQUENTE		0	26160,00	-61177,00	
	SLE: Combinazione QUASI PERMANENTE		0	26628,00	-57652,00	
	SLE: Combinazione QUASI PERMANENTE		0	26628,00	-57652,00	
	SLE: Combinazione QUASI PERMANENTE		0	26628,00	-57652,00	
Sez. calcolo n.25 - Dis: 2.21(Monte)						
Approccio 2, Combinazione (A1+M1+R3)	SLU	NO	0	20210,00	55219,00	
Approccio 2, Combinazione (A1+M1+R3)	SLU	NO	0	20206,00	55219,00	
Approccio 2, Combinazione (A1+M1+R3)	SLU	NO	0	26274,00	71787,00	
Approccio 2, Combinazione (A1+M1+R3)	SLU	NO	0	26270,00	71787,00	
Approccio 2, Combinazione (A1+M1+R3)	SLV	SI	0	20464,00	55764,00	
Approccio 2, Combinazione (A1+M1+R3)	SLV	SI	0	20047,00	54673,00	
-	SLE: Combinazione RARA	NO	0	20207,00	55219,00	
	SLE: Combinazione RARA		0	20207,00	55219,00	
	SLE: Combinazione FREQUENTE		0	20209,00	55219,00	
	SLE: Combinazione FREQUENTE		0	20209,00	55219,00	
	SLE: Combinazione QUASI PERMANENTE		0	20210,00	55219,00	
	SLE: Combinazione QUASI PERMANENTE		0	20210,00	55219,00	
	SLE: Combinazione QUASI PERMANENTE		0	20210,00	55219,00	
Sez. calcolo n.26 - Dis: 2.57(Monte)						
Approccio 2, Combinazione (A1+M1+R3)	SLU	NO	0	5440,00	27653,00	

SOLLECITAZIONI SULLA FONDAZIONE						
Approccio	Stato limite	Sisma	N [N]	My [Nm]	Tx [N]	
Approccio 2, Combinazione (A1+M1+R3)	SLU	NO	0	5436,00	27653,00	
Approccio 2, Combinazione (A1+M1+R3)	SLU	NO	0	7072,00	35949,00	
Approccio 2, Combinazione (A1+M1+R3)	SLU	NO	0	7067,00	35949,00	
Approccio 2, Combinazione (A1+M1+R3)	SLV	SI	0	5541,00	27936,00	
Approccio 2, Combinazione (A1+M1+R3)	SLV	SI	0	5429,00	27369,00	
-	SLE: Combinazione RARA	NO	0	5437,00	27653,00	
-	SLE: Combinazione RARA	NO	0	5437,00	27653,00	
-	SLE: Combinazione FREQUENTE	NO	0	5439,00	27653,00	
-	SLE: Combinazione FREQUENTE	NO	0	5439,00	27653,00	
-	SLE: Combinazione QUASI PERMANENTE	NO	0	5440,00	27653,00	
-	SLE: Combinazione QUASI PERMANENTE	NO	0	5440,00	27653,00	
Sez. calcolo n.27 - Dis: 2.94(Monte)						
Approccio 2, Combinazione (A1+M1+R3)	SLU	NO	0	2,00	165,00	
Approccio 2, Combinazione (A1+M1+R3)	SLU	NO	0	-6,00	165,00	
Approccio 2, Combinazione (A1+M1+R3)	SLU	NO	0	3,00	215,00	
Approccio 2, Combinazione (A1+M1+R3)	SLU	NO	0	-5,00	215,00	
Approccio 2, Combinazione (A1+M1+R3)	SLV	SI	0	90,00	206,00	
Approccio 2, Combinazione (A1+M1+R3)	SLV	SI	0	90,00	124,00	
-	SLE: Combinazione RARA	NO	0	-4,00	165,00	
-	SLE: Combinazione RARA	NO	0	-4,00	165,00	
-	SLE: Combinazione FREQUENTE	NO	0	0,00	165,00	
-	SLE: Combinazione FREQUENTE	NO	0	0,00	165,00	
-	SLE: Combinazione QUASI PERMANENTE	NO	0	2,00	165,00	
-	SLE: Combinazione QUASI PERMANENTE	NO	0	2,00	165,00	

LEGENDA Sollecitazioni sulla fondazione

Approccio Tipo di Approccio seguito.

Stato limite Tipo di Stato Limite.

Sisma Sisma agente nella Combinazione.

N Sforzo Normale [N].

My Vettore Momento ortogonale al piano dell'elemento [Nm].

Tx Taglio orizzontale nel piano dell'elemento [N].

VERIFICHE DI STABILITÀ'

Bishop							Fellenius					VERIFICHE DI STABILITÀ'	
CS	FrzRblt [N]	FrzRes [N]	Centro [m]	Raggio [m]	CS	FrzRblt [N]	FrzRes [N]	Centro [m]	Raggio [m]				
Sezione													
Verifica 1													
Approccio 1, Combinazione 2 Stato Limite Ultimo senza sisma													
2,85	1 553 794	4 428 382	X: 0,30; Y: 4,00	21,74	2,59	1 553 794	4 022 905	X: 0,30; Y: 4,00	21,74				
2,87	2 145 498	6 157 562	X: 0,30; Y: 4,00	25,74	2,59	2 145 498	5 554 150	X: 0,30; Y: 4,00	25,74				
2,77	1 596 755	4 424 684	X: -0,20; Y: 4,00	21,81	2,52	1 596 755	4 025 538	X: -0,20; Y: 4,00	21,81				
2,88	2 134 791	6 151 222	X: -0,20; Y: 4,00	25,81	2,60	2 134 791	5 543 920	X: -0,20; Y: 4,00	25,81				
2,78	1 588 910	4 424 502	X: -0,70; Y: 4,00	21,88	2,53	1 588 910	4 020 274	X: -0,70; Y: 4,00	21,88				
2,90	2 123 335	6 149 518	X: -0,70; Y: 4,00	25,88	2,61	2 123 335	5 537 903	X: -0,70; Y: 4,00	25,88				
2,80	1 580 704	4 428 019	X: -1,20; Y: 4,00	21,97	2,54	1 580 704	4 018 597	X: -1,20; Y: 4,00	21,97				
2,84	2 170 636	6 157 539	X: -1,20; Y: 4,00	25,97	2,56	2 170 636	5 549 825	X: -1,20; Y: 4,00	25,97				
2,74	1 618 303	4 437 215	X: -1,70; Y: 4,00	22,06	2,49	1 618 303	4 030 955	X: -1,70; Y: 4,00	22,06				
2,86	2 156 707	6 166 600	X: -1,70; Y: 4,00	26,06	2,57	2 156 707	5 552 388	X: -1,70; Y: 4,00	26,06				
2,77	1 608 529	4 449 998	X: -2,20; Y: 4,00	22,17	2,51	1 608 529	4 036 685	X: -2,20; Y: 4,00	22,17				
2,81	2 200 319	6 183 598	X: -2,20; Y: 4,00	26,17	2,53	2 200 319	5 571 640	X: -2,20; Y: 4,00	26,17				
2,71	1 645 369	4 467 070	X: -2,70; Y: 4,00	22,29	2,46	1 645 369	4 055 326	X: -2,70; Y: 4,00	22,29				
2,84	2 186 622	6 203 084	X: -2,70; Y: 4,00	26,29	2,55	2 186 622	5 582 703	X: -2,70; Y: 4,00	26,29				
2,75	1 634 433	4 488 726	X: -3,20; Y: 4,00	22,42	2,49	1 634 433	4 068 415	X: -3,20; Y: 4,00	22,42				
2,80	2 226 832	6 229 708	X: -3,20; Y: 4,00	26,42	2,52	2 226 832	5 609 590	X: -3,20; Y: 4,00	26,42				
2,71	1 666 466	4 514 415	X: -3,70; Y: 4,00	22,56	2,46	1 666 466	4 093 761	X: -3,70; Y: 4,00	22,56				
2,84	2 209 840	6 265 065	X: -3,70; Y: 4,00	26,56	2,55	2 209 840	5 633 293	X: -3,70; Y: 4,00	26,56				
2,75	1 655 241	4 549 466	X: -4,20; Y: 4,00	22,71	2,49	1 655 241	4 117 834	X: -4,20; Y: 4,00	22,71				

Bishop					Fellenius				
CS	FrzRbit	FrzRes	Centro	Raggio	CS	FrzRbit	FrzRes	Centro	Raggio
	[N]	[N]	[m]	[m]		[N]	[N]	[m]	[m]
1,21	5 261 857	6 375 340	X: 0,30; Y: 5,00	26,74	1,10	5 261 857	5 812 666	X: 0,30; Y: 5,00	26,74
1,23	3 755 029	4 613 814	X: -0,20; Y: 5,00	22,80	1,13	3 755 029	4 227 231	X: -0,20; Y: 5,00	22,80
1,21	5 242 618	6 365 030	X: -0,20; Y: 5,00	26,80	1,11	5 242 618	5 799 652	X: -0,20; Y: 5,00	26,80
1,22	3 795 249	4 615 579	X: -0,70; Y: 5,00	22,87	1,12	3 795 249	4 233 601	X: -0,70; Y: 5,00	22,87
1,22	5 225 047	6 359 181	X: -0,70; Y: 5,00	26,87	1,11	5 225 047	5 790 690	X: -0,70; Y: 5,00	26,87
1,22	3 786 084	4 615 201	X: -1,20; Y: 5,00	22,95	1,12	3 786 084	4 229 309	X: -1,20; Y: 5,00	22,95
1,22	5 209 299	6 357 683	X: -1,20; Y: 5,00	26,95	1,11	5 209 299	5 785 733	X: -1,20; Y: 5,00	26,95
1,22	3 776 249	4 598 019	X: -1,70; Y: 5,00	23,04	1,12	3 776 249	4 214 968	X: -1,70; Y: 5,00	23,04
1,21	5 261 646	6 371 669	X: -1,70; Y: 5,00	27,04	1,10	5 261 646	5 802 273	X: -1,70; Y: 5,00	27,04
1,21	3 816 871	4 611 570	X: -2,20; Y: 5,00	23,15	1,11	3 816 871	4 230 572	X: -2,20; Y: 5,00	23,15
1,22	5 248 519	6 380 037	X: -2,20; Y: 5,00	27,15	1,11	5 248 519	5 805 414	X: -2,20; Y: 5,00	27,15
1,21	3 810 013	4 623 624	X: -2,70; Y: 5,00	23,26	1,11	3 810 013	4 236 916	X: -2,70; Y: 5,00	23,26
1,21	5 299 454	6 402 325	X: -2,70; Y: 5,00	27,26	1,10	5 299 454	5 828 830	X: -2,70; Y: 5,00	27,26
1,21	3 851 470	4 644 507	X: -3,20; Y: 5,00	23,38	1,11	3 851 470	4 258 544	X: -3,20; Y: 5,00	23,38
1,21	5 289 747	6 420 401	X: -3,20; Y: 5,00	27,38	1,10	5 289 747	5 840 106	X: -3,20; Y: 5,00	27,38
1,21	3 848 198	4 664 919	X: -3,70; Y: 5,00	23,52	1,11	3 848 198	4 271 993	X: -3,70; Y: 5,00	23,52
1,21	5 342 065	6 451 468	X: -3,70; Y: 5,00	27,52	1,10	5 342 065	5 870 696	X: -3,70; Y: 5,00	27,52
1,21	3 893 547	4 693 535	X: -4,20; Y: 5,00	23,66	1,10	3 893 547	4 299 841	X: -4,20; Y: 5,00	23,66
1,21	5 338 293	6 478 718	X: -4,20; Y: 5,00	27,66	1,10	5 338 293	5 889 938	X: -4,20; Y: 5,00	27,66
1,21	3 904 991	4 706 237	X: 0,30; Y: 5,50	23,23	1,11	3 904 991	4 319 663	X: 0,30; Y: 5,50	23,23
1,21	5 361 530	6 466 438	X: 0,30; Y: 5,50	27,23	1,10	5 361 530	5 892 154	X: 0,30; Y: 5,50	27,23
1,21	3 889 933	4 696 061	X: -0,20; Y: 5,50	23,29	1,11	3 889 933	4 307 718	X: -0,20; Y: 5,50	23,29
1,20	5 407 933	6 465 068	X: -0,20; Y: 5,50	27,29	1,09	5 407 933	5 896 148	X: -0,20; Y: 5,50	27,29
1,21	3 876 490	4 689 722	X: -0,70; Y: 5,50	23,36	1,11	3 876 490	4 299 153	X: -0,70; Y: 5,50	23,36
1,20	5 388 965	6 458 163	X: -0,70; Y: 5,50	27,36	1,09	5 388 965	5 886 433	X: -0,70; Y: 5,50	27,36
1,20	3 913 546	4 694 128	X: -1,20; Y: 5,50	23,44	1,10	3 913 546	4 307 053	X: -1,20; Y: 5,50	23,44
1,20	5 371 905	6 455 619	X: -1,20; Y: 5,50	27,44	1,09	5 371 905	5 880 739	X: -1,20; Y: 5,50	27,44
1,20	3 902 746	4 696 575	X: -1,70; Y: 5,50	23,53	1,10	3 902 746	4 305 639	X: -1,70; Y: 5,50	23,53
1,19	5 418 787	6 467 126	X: -1,70; Y: 5,50	27,53	1,09	5 418 787	5 895 190	X: -1,70; Y: 5,50	27,53
1,19	3 939 956	4 707 478	X: -2,20; Y: 5,50	23,63	1,10	3 939 956	4 319 190	X: -2,20; Y: 5,50	23,63
1,20	5 404 824	6 474 593	X: -2,20; Y: 5,50	27,63	1,09	5 404 824	5 897 663	X: -2,20; Y: 5,50	27,63
1,20	3 934 702	4 718 668	X: -2,70; Y: 5,50	23,75	1,10	3 934 702	4 324 894	X: -2,70; Y: 5,50	23,75
1,19	5 454 408	6 494 068	X: -2,70; Y: 5,50	27,75	1,09	5 454 408	5 918 916	X: -2,70; Y: 5,50	27,75
1,20	3 929 188	4 713 300	X: -3,20; Y: 5,50	23,87	1,10	3 929 188	4 320 872	X: -3,20; Y: 5,50	23,87
1,20	5 444 065	6 511 409	X: -3,20; Y: 5,50	27,87	1,09	5 444 065	5 929 557	X: -3,20; Y: 5,50	27,87
1,19	3 969 043	4 737 000	X: -3,70; Y: 5,50	24,00	1,09	3 969 043	4 344 361	X: -3,70; Y: 5,50	24,00
1,19	5 493 125	6 539 678	X: -3,70; Y: 5,50	28,00	1,08	5 493 125	5 958 028	X: -3,70; Y: 5,50	28,00
1,20	3 967 515	4 759 605	X: -4,20; Y: 5,50	24,14	1,10	3 967 515	4 360 525	X: -4,20; Y: 5,50	24,14
1,20	5 487 070	6 566 455	X: -4,20; Y: 5,50	28,14	1,09	5 487 070	5 976 777	X: -4,20; Y: 5,50	28,14
1,18	4 039 872	4 783 593	X: 0,30; Y: 6,00	23,73	1,09	4 039 872	4 396 652	X: 0,30; Y: 6,00	23,73
1,19	5 529 183	6 567 722	X: 0,30; Y: 6,00	27,73	1,08	5 529 183	5 990 031	X: 0,30; Y: 6,00	27,73
1,19	4 023 246	4 772 478	X: -0,20; Y: 6,00	23,79	1,09	4 023 246	4 383 933	X: -0,20; Y: 6,00	23,79
1,19	5 508 184	6 554 268	X: -0,20; Y: 6,00	27,79	1,08	5 508 184	5 975 513	X: -0,20; Y: 6,00	27,79
1,19	4 008 374	4 765 263	X: -0,70; Y: 6,00	23,86	1,09	4 008 374	4 374 742	X: -0,70; Y: 6,00	23,86
1,18	5 551 235	6 555 874	X: -0,70; Y: 6,00	27,86	1,08	5 551 235	5 981 369	X: -0,70; Y: 6,00	27,86
1,18	4 041 507	4 767 024	X: -1,20; Y: 6,00	23,94	1,08	4 041 507	4 380 566	X: -1,20; Y: 6,00	23,94
1,18	5 532 897	6 552 352	X: -1,20; Y: 6,00	27,94	1,08	5 532 897	5 974 930	X: -1,20; Y: 6,00	27,94
1,18	4 029 647	4 773 326	X: -1,70; Y: 6,00	24,03	1,09	4 029 647	4 381 847	X: -1,70; Y: 6,00	24,03
1,19	5 516 670	6 553 093	X: -1,70; Y: 6,00	28,03	1,08	5 516 670	5 972 469	X: -1,70; Y: 6,00	28,03
1,19	4 019 837	4 778 525	X: -2,20; Y: 6,00	24,12	1,09	4 019 837	4 383 249	X: -2,20; Y: 6,00	24,12
1,18	5 561 120	6 567 766	X: -2,20; Y: 6,00	28,12	1,08	5 561 120	5 988 995	X: -2,20; Y: 6,00	28,12
1,18	4 054 825	4 792 190	X: -2,70; Y: 6,00	24,23	1,08	4 054 825	4 398 550	X: -2,70; Y: 6,00	24,23
1,19	5 548 538	6 578 270	X: -2,70; Y: 6,00	28,23	1,08	5 548 538	5 994 672	X: -2,70; Y: 6,00	28,23
1,19	4 048 923	4 806 000	X: -3,20; Y: 6,00	24,35	1,09	4 048 923	4 407 135	X: -3,20; Y: 6,00	24,35
1,18	5 594 304	6 601 155	X: -3,20; Y: 6,00	28,35	1,08	5 594 304	6 018 162	X: -3,20; Y: 6,00	28,35
1,18	4 087 596	4 826 907	X: -3,70; Y: 6,00	24,48	1,08	4 087 596	4 428 522	X: -3,70; Y: 6,00	24,48
1,18	5 587 836	6 621 128	X: -3,70; Y: 6,00	28,48	1,08	5 587 836	6 031 887	X: -3,70; Y: 6,00	28,48
1,18	4 085 872	4 829 878	X: -4,20; Y: 6,00	24,62	1,08	4 085 872	4 431 446	X: -4,20; Y: 6,00	24,62
1,18	5 635 567	6 652 725	X: -4,20; Y: 6,00	28,62	1,08	5 635 567	6 062 604	X: -4,20; Y: 6,00	28,62
1,17	4 170 477	4 864 288	X: 0,30; Y: 6,50	24,23	1,07	4 170 477	4 476 108	X: 0,30; Y: 6,50	24,23
1,17	5 693 092	6 662 730	X: 0,30; Y: 6,50	28,23	1,07	5 693 092	6 083 483	X: 0,30; Y: 6,50	28,23
1,17	4 152 336	4 852 316	X: -0,20; Y: 6,50	24,29	1,07	4 152 336	4 462 678	X: -0,20; Y: 6,50	24,29
1,17	5 670 546	6 653 362	X: -0,20; Y: 6,50	28,29	1,07	5 670 546	6 071 760	X: -0,20; Y: 6,50	28,29
1,17	4 136 124	4 844 263	X: -0,70; Y: 6,50	24,35	1,08	4 136 124	4 452 804	X: -0,70; Y: 6,50	24,35
1,17	5 709 646	6 652 297	X: -0,70; Y: 6,50	28,35	1,06	5 709 646	6 075 446	X: -0,70; Y: 6,50	28,35
1,17	4 124 136	4 839 913	X: -1,20; Y: 6,50	24,43	1,08	4 124 136	4 446 413	X: -1,20; Y: 6,50	24,43
1,17	5 690 141	6 647 879	X: -1,20; Y: 6,50	28,43	1,07	5 690 141	6 068 275	X: -1,20; Y: 6,50	28,43
1,17	4 154 469	4 844 179	X: -1,70; Y: 6,50	24,52	1,07	4 154 469	4 453 893	X: -1,70; Y: 6,50	24,52
1,17	5 674 700	6 647 618	X: -1,70; Y: 6,50	28,52	1,07	5 674 700	6 065 060	X: -1,70; Y: 6,50	28,52
1,17	4 143 764	4 848 753	X: -2,20; Y: 6,50	24,61	1,08	4 143 764	4 454 640	X: -2,20; Y: 6,50	24,61
1,17	5 715 378	6 659 536	X: -2,20; Y: 6,50	28,61	1,06	5 715 378	6 079 425	X: -2,20; Y: 6,50	28,61
1,17	4 135 218	4 856 728	X: -2,70; Y: 6,50	24,72	1,08	4 135 218	4 458 839	X: -2,70; Y: 6,50	24,72
1,17	5 701 982	6 669 304	X: -2,70; Y: 6,50	28,72	1,07	5 701 982	6 084 423	X: -2,70; Y: 6,50	28,72
1,17	4 168 398	4 873 009	X: -3,20; Y: 6,50	24,84	1,07	4 168 398	4 475 946	X: -3,20; Y: 6,50	24,84
1,17	5 691 018	6 682 849	X: -3,20; Y: 6,50	28,84	1,07	5 691 018	6 093 248	X: -3,20; Y: 6,50	28,84
1,18	4 164 195	4 893 853	X: -3,70; Y: 6,50	24,96	1,08	4 164 195	4 490 544	X: -3,70; Y: 6,50	24,96
1,17	5 735 266	6 708 833	X: -3,70; Y: 6,50	28,96	1,07	5 735 266	6 118 926	X: -3,70; Y: 6,50	28,96
1,17	4 199 492	4 917 579	X:						

VERIFICHE DI STABILITÀ'

		Bishop			Fellenius				
CS	FrzRbit	FrzRes	Centro [m]	Raggio [m]	CS	FrzRbit	FrzRes	Centro [m]	Raggio [m]
1,15	4 263 904	4 921 767	X: -0,70; Y: 7,00	24,85	1,06	4 263 904	4 529 883	X: -0,70; Y: 7,00	24,85
1,16	5 810 932	6 735 115	X: -0,70; Y: 7,00	28,85	1,06	5 810 932	6 151 535	X: -0,70; Y: 7,00	28,85
1,16	4 248 417	4 916 773	X: -1,20; Y: 7,00	24,92	1,06	4 248 417	4 522 841	X: -1,20; Y: 7,00	24,92
1,15	5 847 036	6 736 878	X: -1,20; Y: 7,00	28,92	1,05	5 847 036	6 157 145	X: -1,20; Y: 7,00	28,92
1,16	4 235 083	4 915 507	X: -1,70; Y: 7,00	25,01	1,07	4 235 083	4 519 282	X: -1,70; Y: 7,00	25,01
1,16	5 828 621	6 735 907	X: -1,70; Y: 7,00	29,01	1,06	5 828 621	6 153 240	X: -1,70; Y: 7,00	29,01
1,15	4 263 089	4 922 182	X: -2,20; Y: 7,00	25,10	1,06	4 263 089	4 528 381	X: -2,20; Y: 7,00	25,10
1,16	5 812 611	6 739 083	X: -2,20; Y: 7,00	29,10	1,06	5 812 611	6 153 277	X: -2,20; Y: 7,00	29,10
1,16	4 253 985	4 929 621	X: -2,70; Y: 7,00	25,21	1,07	4 253 985	4 532 023	X: -2,70; Y: 7,00	25,21
1,16	5 851 344	6 759 017	X: -2,70; Y: 7,00	29,21	1,06	5 851 344	6 173 265	X: -2,70; Y: 7,00	29,21
1,16	4 249 114	4 940 245	X: -3,20; Y: 7,00	25,32	1,07	4 249 114	4 538 923	X: -3,20; Y: 7,00	25,32
1,16	5 841 578	6 771 785	X: -3,20; Y: 7,00	29,32	1,06	5 841 578	6 181 386	X: -3,20; Y: 7,00	29,32
1,16	4 280 814	4 959 033	X: -3,70; Y: 7,00	25,44	1,06	4 280 814	4 557 853	X: -3,70; Y: 7,00	25,44
1,16	5 882 128	6 794 941	X: -3,70; Y: 7,00	29,44	1,05	5 882 128	6 204 910	X: -3,70; Y: 7,00	29,44
1,16	4 278 483	4 977 981	X: -4,20; Y: 7,00	25,58	1,07	4 278 483	4 571 903	X: -4,20; Y: 7,00	25,58
1,16	5 875 475	6 817 284	X: -4,20; Y: 7,00	29,58	1,06	5 875 475	6 221 173	X: -4,20; Y: 7,00	29,58
1,14	4 387 990	5 019 540	X: 0,30; Y: 7,50	25,22	1,05	4 387 990	4 623 120	X: 0,30; Y: 7,50	25,22
1,14	6 019 182	6 858 876	X: 0,30; Y: 7,50	29,22	1,04	6 019 182	6 274 971	X: 0,30; Y: 7,50	29,22
1,15	4 367 695	5 004 951	X: -0,20; Y: 7,50	25,28	1,06	4 367 695	4 608 223	X: -0,20; Y: 7,50	25,28
1,14	5 993 446	6 842 480	X: -0,20; Y: 7,50	29,28	1,04	5 993 446	6 258 076	X: -0,20; Y: 7,50	29,28
1,15	4 349 452	4 994 310	X: -0,70; Y: 7,50	25,34	1,06	4 349 452	4 596 853	X: -0,70; Y: 7,50	25,34
1,14	5 969 949	6 830 617	X: -0,70; Y: 7,50	29,34	1,05	5 969 949	6 245 231	X: -0,70; Y: 7,50	29,34
1,14	4 372 723	4 992 089	X: -1,20; Y: 7,50	25,42	1,05	4 372 723	4 598 253	X: -1,20; Y: 7,50	25,42
1,15	5 948 757	6 823 188	X: -1,20; Y: 7,50	29,42	1,05	5 948 757	6 236 394	X: -1,20; Y: 7,50	29,42
1,14	4 358 314	4 990 156	X: -1,70; Y: 7,50	25,50	1,05	4 358 314	4 594 040	X: -1,70; Y: 7,50	25,50
1,14	5 982 202	6 827 723	X: -1,70; Y: 7,50	29,50	1,04	5 982 202	6 243 974	X: -1,70; Y: 7,50	29,50
1,15	4 346 186	4 991 854	X: -2,20; Y: 7,50	25,59	1,06	4 346 186	4 593 274	X: -2,20; Y: 7,50	25,59
1,14	5 965 208	6 830 141	X: -2,20; Y: 7,50	29,59	1,05	5 965 208	6 243 293	X: -2,20; Y: 7,50	29,59
1,14	4 372 112	5 000 900	X: -2,70; Y: 7,50	25,70	1,05	4 372 112	4 604 083	X: -2,70; Y: 7,50	25,70
1,15	5 950 739	6 836 607	X: -2,70; Y: 7,50	29,70	1,05	5 950 739	6 246 498	X: -2,70; Y: 7,50	29,70
1,15	4 364 675	5 011 172	X: -3,20; Y: 7,50	25,81	1,06	4 364 675	4 610 510	X: -3,20; Y: 7,50	25,81
1,14	5 987 707	6 854 470	X: -3,20; Y: 7,50	29,81	1,05	5 987 707	6 265 115	X: -3,20; Y: 7,50	29,81
1,14	4 392 452	5 027 188	X: -3,70; Y: 7,50	25,93	1,05	4 392 452	4 627 411	X: -3,70; Y: 7,50	25,93
1,15	5 978 177	6 870 435	X: -3,70; Y: 7,50	29,93	1,05	5 978 177	6 276 416	X: -3,70; Y: 7,50	29,93
1,15	4 392 254	5 045 779	X: -4,20; Y: 7,50	26,06	1,06	4 392 254	4 640 927	X: -4,20; Y: 7,50	26,06
1,15	6 019 417	6 901 400	X: -4,20; Y: 7,50	30,06	1,05	6 019 417	6 305 536	X: -4,20; Y: 7,50	30,06
1,13	4 515 097	5 097 980	X: 0,30; Y: 8,00	25,72	1,04	4 515 097	4 701 123	X: 0,30; Y: 8,00	25,72
1,13	6 122 261	6 947 846	X: 0,30; Y: 8,00	29,72	1,04	6 122 261	6 356 537	X: 0,30; Y: 8,00	29,72
1,13	4 493 256	5 082 563	X: -0,20; Y: 8,00	25,78	1,04	4 493 256	4 685 484	X: -0,20; Y: 8,00	25,78
1,13	6 149 734	6 937 529	X: -0,20; Y: 8,00	29,78	1,03	6 149 734	6 351 581	X: -0,20; Y: 8,00	29,78
1,13	4 473 637	5 071 117	X: -0,70; Y: 8,00	25,84	1,04	4 473 637	4 673 400	X: -0,70; Y: 8,00	25,84
1,13	6 124 832	6 924 812	X: -0,70; Y: 8,00	29,84	1,03	6 124 832	6 337 963	X: -0,70; Y: 8,00	29,84
1,14	4 456 274	5 063 553	X: -1,20; Y: 8,00	25,91	1,05	4 456 274	4 664 827	X: -1,20; Y: 8,00	25,91
1,13	6 102 388	6 916 525	X: -1,20; Y: 8,00	29,91	1,04	6 102 388	6 328 371	X: -1,20; Y: 8,00	29,91
1,13	4 476 905	5 063 427	X: -1,70; Y: 8,00	25,99	1,04	4 476 905	4 667 793	X: -1,70; Y: 8,00	25,99
1,14	6 082 460	6 912 574	X: -1,70; Y: 8,00	29,99	1,04	6 082 460	6 322 747	X: -1,70; Y: 8,00	29,99
1,13	4 466 094	5 064 433	X: -2,20; Y: 8,00	26,08	1,04	4 466 094	4 666 373	X: -2,20; Y: 8,00	26,08
1,13	6 115 433	6 919 735	X: -2,20; Y: 8,00	30,08	1,04	6 115 433	6 332 315	X: -2,20; Y: 8,00	30,08
1,14	4 455 454	5 069 083	X: -2,70; Y: 8,00	26,18	1,05	4 455 454	4 668 384	X: -2,70; Y: 8,00	26,18
1,14	6 100 138	6 925 507	X: -2,70; Y: 8,00	30,18	1,04	6 100 138	6 334 823	X: -2,70; Y: 8,00	30,18
1,13	4 479 619	5 080 463	X: -3,20; Y: 8,00	26,29	1,04	4 479 619	4 680 947	X: -3,20; Y: 8,00	26,29
1,14	6 087 435	6 935 223	X: -3,20; Y: 8,00	30,29	1,04	6 087 435	6 341 154	X: -3,20; Y: 8,00	30,29
1,14	4 474 097	5 093 558	X: -3,70; Y: 8,00	26,41	1,05	4 474 097	4 690 131	X: -3,70; Y: 8,00	26,41
1,14	6 122 991	6 955 912	X: -3,70; Y: 8,00	30,41	1,04	6 122 991	6 361 912	X: -3,70; Y: 8,00	30,41
1,14	4 500 687	5 111 952	X: -4,20; Y: 8,00	26,54	1,05	4 500 687	4 708 854	X: -4,20; Y: 8,00	26,54
1,14	6 115 598	6 974 932	X: -4,20; Y: 8,00	30,54	1,04	6 115 598	6 376 273	X: -4,20; Y: 8,00	30,54
1,12	4 604 088	5 167 331	X: 0,30; Y: 8,50	26,22	1,04	4 604 088	4 766 612	X: 0,30; Y: 8,50	26,22
1,12	6 282 816	7 044 278	X: 0,30; Y: 8,50	30,22	1,03	6 282 816	6 451 317	X: 0,30; Y: 8,50	30,22
1,12	4 618 475	5 158 531	X: -0,20; Y: 8,50	26,27	1,03	4 618 475	4 761 707	X: -0,20; Y: 8,50	26,27
1,12	6 254 959	7 025 350	X: -0,20; Y: 8,50	30,27	1,03	6 254 959	6 432 846	X: -0,20; Y: 8,50	30,27
1,12	4 597 464	5 146 359	X: -0,70; Y: 8,50	26,33	1,03	4 597 464	4 748 896	X: -0,70; Y: 8,50	26,33
1,12	6 279 126	7 017 364	X: -0,70; Y: 8,50	30,33	1,02	6 279 126	6 429 671	X: -0,70; Y: 8,50	30,33
1,12	4 578 860	5 138 072	X: -1,20; Y: 8,50	26,40	1,04	4 578 860	4 739 621	X: -1,20; Y: 8,50	26,40
1,12	6 255 399	7 008 305	X: -1,20; Y: 8,50	30,40	1,03	6 255 399	6 419 310	X: -1,20; Y: 8,50	30,40
1,13	4 562 665	5 133 586	X: -1,70; Y: 8,50	26,49	1,04	4 562 665	4 733 836	X: -1,70; Y: 8,50	26,49
1,12	6 234 297	7 003 564	X: -1,70; Y: 8,50	30,49	1,03	6 234 297	6 412 938	X: -1,70; Y: 8,50	30,49
1,12	4 580 883	5 135 556	X: -2,20; Y: 8,50	26,57	1,03	4 580 883	4 738 413	X: -2,20; Y: 8,50	26,57
1,13	6 215 814	7 003 055	X: -2,20; Y: 8,50	30,57	1,03	6 215 814	6 410 489	X: -2,20; Y: 8,50	30,57
1,12	4 569 701	5 139 730	X: -2,70; Y: 8,50	26,67	1,04	4 569 701	4 739 848	X: -2,70; Y: 8,50	26,67
1,12	6 245 035	7 013 006	X: -2,70; Y: 8,50	30,67	1,03	6 245 035	6 422 143	X: -2,70; Y: 8,50	30,67
1,13	4 560 920	5 147 326	X: -3,20; Y: 8,50	26,78	1,04	4 560 920	4 744 637	X: -3,20; Y: 8,50	26,78
1,13	6 231 794	7 022 100	X: -3,20; Y: 8,50	30,78	1,03	6 231 794	6 427 818	X: -3,20; Y: 8,50	30,78
1,13	4 585 823	5 160 896	X: -3,70; Y: 8,50	26,90	1,04	4 585 823	4 758 938	X: -3,70; Y: 8,50	26,90
1,12	6 264 977	7 039 767	X: -3,70; Y: 8,50	30,90	1,03	6 264 977	6 446 341	X: -3,70; Y: 8,50	30,90
1,13	4 582 410	5 176 793	X: -4,20; Y: 8,50	27,02	1,04	4 582 410	4 770 846	X: -4,20; Y: 8,50	27,02
1,13	6 257 336	7 058 367	X: -4,20; Y: 8,50	31,02	1,03	6 257 336	6 460 097	X: -4,20; Y: 8,50	31,02

Verifica 6
Approccio 1, Combinazione 2 Stato Limite Ultimo con sisma
</

VERIFICHE DI STABILITÀ

Bishop					Fellenius				
CS	FrzRbit	FrzRes	Centro	Raggio	CS	FrzRbit	FrzRes	Centro	Raggio
	[N]	[N]	[m]	[m]		[N]	[N]	[m]	[m]
1,47	3 800 005	5 588 500	X: -0,70; Y: 4,00	25,88	1,32	3 800 005	5 027 853	X: -0,70; Y: 4,00	25,88
1,46	2 755 418	4 034 058	X: -1,20; Y: 4,00	21,97	1,33	2 755 418	3 658 755	X: -1,20; Y: 4,00	21,97
1,45	3 849 317	5 600 092	X: -1,20; Y: 4,00	25,97	1,31	3 849 317	5 043 021	X: -1,20; Y: 4,00	25,97
1,45	2 795 533	4 045 570	X: -1,70; Y: 4,00	22,06	1,31	2 795 533	3 673 165	X: -1,70; Y: 4,00	22,06
1,46	3 836 653	5 606 355	X: -1,70; Y: 4,00	26,06	1,31	3 836 653	5 043 328	X: -1,70; Y: 4,00	26,06
1,45	2 787 857	4 055 488	X: -2,20; Y: 4,00	22,17	1,32	2 787 857	3 676 618	X: -2,20; Y: 4,00	22,17
1,45	3 885 111	5 625 367	X: -2,20; Y: 4,00	26,17	1,30	3 885 111	5 064 405	X: -2,20; Y: 4,00	26,17
1,44	2 829 609	4 073 533	X: -2,70; Y: 4,00	22,29	1,31	2 829 609	3 696 102	X: -2,70; Y: 4,00	22,29
1,46	3 875 880	5 640 513	X: -2,70; Y: 4,00	26,29	1,31	3 875 880	5 071 831	X: -2,70; Y: 4,00	26,29
1,45	2 823 533	4 091 069	X: -3,20; Y: 4,00	22,42	1,31	2 823 533	3 705 783	X: -3,20; Y: 4,00	22,42
1,44	3 923 817	5 667 556	X: -3,20; Y: 4,00	26,42	1,30	3 923 817	5 099 114	X: -3,20; Y: 4,00	26,42
1,44	2 863 051	4 116 399	X: -3,70; Y: 4,00	22,56	1,30	2 863 051	3 730 799	X: -3,70; Y: 4,00	22,56
1,46	3 914 476	5 696 632	X: -3,70; Y: 4,00	26,56	1,31	3 914 476	5 117 507	X: -3,70; Y: 4,00	26,56
1,45	2 859 388	4 145 772	X: -4,20; Y: 4,00	22,71	1,31	2 859 388	3 750 108	X: -4,20; Y: 4,00	22,71
1,45	3 962 888	5 732 119	X: -4,20; Y: 4,00	26,71	1,30	3 962 888	5 151 247	X: -4,20; Y: 4,00	26,71
1,44	2 856 489	4 109 960	X: 0,30; Y: 4,50	22,24	1,31	2 856 489	3 735 313	X: 0,30; Y: 4,50	22,24
1,43	3 978 754	5 691 844	X: 0,30; Y: 4,50	26,24	1,29	3 978 754	5 133 689	X: 0,30; Y: 4,50	26,24
1,42	2 894 988	4 108 714	X: -0,20; Y: 4,50	22,30	1,29	2 894 988	3 740 099	X: -0,20; Y: 4,50	22,30
1,43	3 963 205	5 683 918	X: -0,20; Y: 4,50	26,30	1,29	3 963 205	5 122 666	X: -0,20; Y: 4,50	26,30
1,42	2 884 011	4 106 580	X: 0,70; Y: 4,50	22,38	1,29	2 884 011	3 733 697	X: -0,70; Y: 4,50	22,38
1,44	3 948 601	5 679 953	X: -0,70; Y: 4,50	26,38	1,30	3 948 601	5 115 203	X: -0,70; Y: 4,50	26,38
1,43	2 874 115	4 107 640	X: -1,20; Y: 4,50	22,46	1,30	2 874 115	3 730 378	X: -1,20; Y: 4,50	22,46
1,42	3 995 017	5 689 392	X: -1,20; Y: 4,50	26,46	1,28	3 995 017	5 128 502	X: -1,20; Y: 4,50	26,46
1,41	2 911 334	4 116 948	X: -1,70; Y: 4,50	22,55	1,29	2 911 334	3 743 010	X: -1,70; Y: 4,50	22,55
1,43	3 981 534	5 694 630	X: -1,70; Y: 4,50	26,55	1,29	3 981 534	5 128 196	X: -1,70; Y: 4,50	26,55
1,42	2 903 027	4 126 099	X: -2,20; Y: 4,50	22,66	1,29	2 903 027	3 745 974	X: -2,20; Y: 4,50	22,66
1,44	3 969 404	5 703 347	X: -2,20; Y: 4,50	26,66	1,29	3 969 404	5 131 362	X: -2,20; Y: 4,50	26,66
1,43	2 896 103	4 137 945	X: -2,70; Y: 4,50	22,77	1,30	2 896 103	3 751 911	X: -2,70; Y: 4,50	22,77
1,43	4 015 568	5 725 642	X: -2,70; Y: 4,50	26,77	1,28	4 015 568	5 154 318	X: -2,70; Y: 4,50	26,77
1,42	2 936 064	4 158 798	X: -3,20; Y: 4,50	22,90	1,29	2 936 064	3 772 992	X: -3,20; Y: 4,50	22,90
1,43	4 005 455	5 742 973	X: -3,20; Y: 4,50	26,90	1,29	4 005 455	5 164 613	X: -3,20; Y: 4,50	26,90
1,41	2 972 954	4 181 740	X: -3,70; Y: 4,50	23,04	1,28	2 972 954	3 796 279	X: -3,70; Y: 4,50	23,04
1,42	4 053 699	5 773 143	X: -3,70; Y: 4,50	27,04	1,28	4 053 699	5 193 785	X: -3,70; Y: 4,50	27,04
1,42	2 969 216	4 206 017	X: -4,20; Y: 4,50	23,18	1,28	2 969 216	3 811 809	X: -4,20; Y: 4,50	23,18
1,42	4 099 688	5 806 158	X: -4,20; Y: 4,50	27,18	1,27	4 099 688	5 225 684	X: -4,20; Y: 4,50	27,18
1,41	2 976 928	4 207 399	X: 0,30; Y: 5,00	22,74	1,28	2 976 928	3 822 905	X: 0,30; Y: 5,00	22,74
1,40	4 126 359	5 784 411	X: 0,30; Y: 5,00	26,74	1,27	4 126 359	5 221 737	X: 0,30; Y: 5,00	26,74
1,42	2 965 015	4 199 357	X: -0,20; Y: 5,00	22,80	1,29	2 965 015	3 812 773	X: -0,20; Y: 5,00	22,80
1,41	4 109 692	5 775 432	X: -0,20; Y: 5,00	26,80	1,27	4 109 692	5 210 053	X: -0,20; Y: 5,00	26,80
1,40	3 000 284	4 200 735	X: 0,70; Y: 5,00	22,87	1,27	3 000 284	3 818 757	X: 0,70; Y: 5,00	22,87
1,41	4 094 121	5 770 435	X: 0,70; Y: 5,00	26,87	1,27	4 094 121	5 201 944	X: 0,70; Y: 5,00	26,87
1,40	2 991 836	4 200 691	X: -1,20; Y: 5,00	22,95	1,28	2 991 836	3 814 799	X: -1,20; Y: 5,00	22,95
1,41	4 079 711	5 769 320	X: -1,20; Y: 5,00	26,95	1,27	4 079 711	5 197 370	X: -1,20; Y: 5,00	26,95
1,40	2 982 230	4 183 543	X: -1,70; Y: 5,00	23,04	1,27	2 982 230	3 800 493	X: -1,70; Y: 5,00	23,04
1,40	4 125 351	5 781 809	X: -1,70; Y: 5,00	27,04	1,26	4 125 351	5 212 413	X: -1,70; Y: 5,00	27,04
1,39	3 016 963	4 195 598	X: -2,20; Y: 5,00	23,15	1,26	3 016 963	3 814 600	X: -2,20; Y: 5,00	23,15
1,41	4 112 486	5 789 594	X: -2,20; Y: 5,00	27,15	1,27	4 112 486	5 214 972	X: -2,20; Y: 5,00	27,15
1,40	3 009 455	4 206 765	X: -2,70; Y: 5,00	23,26	1,27	3 009 455	3 820 057	X: -2,70; Y: 5,00	23,26
1,40	4 155 886	5 809 551	X: -2,70; Y: 5,00	27,26	1,26	4 155 886	5 236 056	X: -2,70; Y: 5,00	27,26
1,39	3 044 383	4 225 433	X: -3,20; Y: 5,00	23,38	1,26	3 044 383	3 839 471	X: -3,20; Y: 5,00	23,38
1,41	4 145 344	5 826 083	X: -3,20; Y: 5,00	27,38	1,27	4 145 344	5 245 788	X: -3,20; Y: 5,00	27,38
1,40	3 039 542	4 244 141	X: -3,70; Y: 5,00	23,52	1,27	3 039 542	3 851 215	X: -3,70; Y: 5,00	23,52
1,40	4 189 267	5 853 954	X: -3,70; Y: 5,00	27,52	1,26	4 189 267	5 273 182	X: -3,70; Y: 5,00	27,52
1,39	3 077 480	4 269 795	X: -4,20; Y: 5,00	23,66	1,26	3 077 480	3 876 101	X: -4,20; Y: 5,00	23,66
1,41	4 183 396	5 878 719	X: -4,20; Y: 5,00	27,66	1,26	4 183 396	5 289 940	X: -4,20; Y: 5,00	27,66
1,38	3 098 558	4 282 450	X: 0,30; Y: 5,50	23,23	1,26	3 098 558	3 895 876	X: 0,30; Y: 5,50	23,23
1,39	4 215 543	5 867 057	X: 0,30; Y: 5,50	27,23	1,26	4 215 543	5 292 773	X: 0,30; Y: 5,50	27,23
1,39	3 085 344	4 273 510	X: -0,20; Y: 5,50	23,29	1,26	3 085 344	3 885 167	X: -0,20; Y: 5,50	23,29
1,38	4 257 006	5 865 695	X: -0,20; Y: 5,50	27,29	1,24	4 257 006	5 296 774	X: -0,20; Y: 5,50	27,29
1,39	3 073 279	4 268 002	X: -0,70; Y: 5,50	23,36	1,26	3 073 279	3 877 433	X: -0,70; Y: 5,50	23,36
1,38	4 240 298	5 859 721	X: -0,70; Y: 5,50	27,36	1,25	4 240 298	5 287 992	X: -0,70; Y: 5,50	27,36
1,38	3 105 598	4 271 801	X: -1,20; Y: 5,50	23,44	1,25	3 105 598	3 884 726	X: -1,20; Y: 5,50	23,44
1,39	4 224 904	5 857 638	X: -1,20; Y: 5,50	27,44	1,25	4 224 904	5 282 758	X: -1,20; Y: 5,50	27,44
1,38	3 095 348	4 274 252	X: -1,70; Y: 5,50	23,53	1,25	3 095 348	3 883 316	X: -1,70; Y: 5,50	23,53
1,38	4 265 663	5 867 870	X: -1,70; Y: 5,50	27,53	1,24	4 265 663	5 295 934	X: -1,70; Y: 5,50	27,53
1,37	3 127 175	4 283 867	X: -2,20; Y: 5,50	23,63	1,25	3 127 175	3 895 578	X: -2,20; Y: 5,50	23,63
1,38	4 252 293	5 874 829	X: -2,20; Y: 5,50	27,63	1,25	4 252 293	5 297 899	X: -2,20; Y: 5,50	27,63
1,38	3 121 447	4 294 228	X: -2,70; Y: 5,50	23,75	1,25	3 121 447	3 900 454	X: -2,70; Y: 5,50	23,75
1,37	4 294 789	5 892 197	X: -2,70; Y: 5,50	27,75	1,24	4 294 789	5 317 044	X: -2,70; Y: 5,50	27,75
1,38	3 114 943	4 287 748	X: -3,20; Y: 5,50	23,87	1,25	3 114 943	3 895 319	X: -3,20; Y: 5,50	23,87
1,38	4 283 794	5 908 066	X: -3,20; Y: 5,50	27,87	1,24	4 283 794	5 326 213	X: -3,20; Y: 5,50	27,87
1,37	3 148 269	4 308 990	X: -3,70; Y: 5,50	24,00	1,24	3 148 269	3 916 351	X: -3,70; Y: 5,50	24,00
1,37	4 324 898	5 933 361	X: -3,70; Y: 5,50	28,00	1,24	4 324 898	5 351 710	X: -3,70; Y: 5,50	28,00
1,38	3 144 788	4 329 583	X: -4,20; Y: 5,50	24,14	1,25	3 144 788	3 930 503	X: -4,20; Y: 5,50	24,14
1,38	4 317 031	5 957 719	X: -4,20; Y: 5,50	28,14	1,24	4 317 031	5 368 041	X: -4,20; Y: 5,50	28,14
1,35	3 219 022	4 351 798	X: 0,30; Y: 6,00	23,73	1,23	3 219 022	3 964 857	X: 0,30; Y: 6,00	23,73
1,37	4 365 134	5 958 428	X: 0,30; Y: 6,00	27,73	1,23	4 365 1			

VERIFICHE DI STABILITÀ'

Bishop								Fellenius							
CS	FrzRbit	FrzRes	Centro	Raggio	CS	FrzRbit	FrzRes	Centro	Raggio						
	[N]	[N]	[m]	[m]		[N]	[N]	[m]	[m]						
1,35	3 209 058	4 343 346	X: -1,70; Y: 6,00	24,03	1,23	3 209 058	3 951 867	X: -1,70; Y: 6,00	24,03						
1,37	4 353 910	5 945 656	X: -1,70; Y: 6,00	28,03	1,23	4 353 910	5 365 032	X: -1,70; Y: 6,00	28,03						
1,36	3 199 498	4 348 222	X: -2,20; Y: 6,00	24,12	1,24	3 199 498	3 952 946	X: -2,20; Y: 6,00	24,12						
1,36	4 392 243	5 958 773	X: -2,20; Y: 6,00	28,12	1,22	4 392 243	5 380 002	X: -2,20; Y: 6,00	28,12						
1,35	3 229 242	4 360 361	X: -2,70; Y: 6,00	24,23	1,23	3 229 242	3 966 721	X: -2,70; Y: 6,00	24,23						
1,36	4 379 851	5 968 393	X: -2,70; Y: 6,00	28,23	1,23	4 379 851	5 384 794	X: -2,70; Y: 6,00	28,23						
1,36	3 222 613	4 373 025	X: -3,20; Y: 6,00	24,35	1,23	3 222 613	3 974 160	X: -3,20; Y: 6,00	24,35						
1,36	4 418 651	5 988 878	X: -3,20; Y: 6,00	28,35	1,22	4 418 651	5 405 885	X: -3,20; Y: 6,00	28,35						
1,35	3 255 198	4 391 675	X: -3,70; Y: 6,00	24,48	1,23	3 255 198	3 993 290	X: -3,70; Y: 6,00	24,48						
1,36	4 411 049	6 007 019	X: -3,70; Y: 6,00	28,48	1,23	4 411 049	5 417 778	X: -3,70; Y: 6,00	28,48						
1,35	3 251 626	4 392 779	X: -4,20; Y: 6,00	24,62	1,23	3 251 626	3 994 347	X: -4,20; Y: 6,00	24,62						
1,36	4 450 734	6 035 348	X: -4,20; Y: 6,00	28,62	1,22	4 450 734	5 445 228	X: -4,20; Y: 6,00	28,62						
1,33	3 335 598	4 424 512	X: 0,30; Y: 6,50	24,23	1,21	3 335 598	4 036 332	X: 0,30; Y: 6,50	24,23						
1,34	4 511 309	6 043 670	X: 0,30; Y: 6,50	28,23	1,21	4 511 309	5 464 423	X: 0,30; Y: 6,50	28,23						
1,33	3 319 870	4 413 920	X: -0,20; Y: 6,50	24,29	1,21	3 319 870	4 024 283	X: -0,20; Y: 6,50	24,29						
1,34	4 492 023	6 035 831	X: -0,20; Y: 6,50	28,29	1,21	4 492 023	5 454 229	X: -0,20; Y: 6,50	28,29						
1,33	3 305 573	4 406 839	X: -0,70; Y: 6,50	24,35	1,21	3 305 573	4 015 380	X: -0,70; Y: 6,50	24,35						
1,33	4 526 835	6 034 733	X: -0,70; Y: 6,50	28,35	1,21	4 526 835	5 457 882	X: -0,70; Y: 6,50	28,35						
1,34	3 294 944	4 403 060	X: -1,20; Y: 6,50	24,43	1,22	3 294 944	4 009 559	X: -1,20; Y: 6,50	24,43						
1,34	4 509 484	6 030 932	X: -1,20; Y: 6,50	28,43	1,21	4 509 484	5 451 328	X: -1,20; Y: 6,50	28,43						
1,33	3 321 155	4 406 704	X: -1,70; Y: 6,50	24,52	1,21	3 321 155	4 016 418	X: -1,70; Y: 6,50	24,52						
1,34	4 495 564	6 030 823	X: -1,70; Y: 6,50	28,52	1,21	4 495 564	5 448 265	X: -1,70; Y: 6,50	28,52						
1,33	3 310 885	4 411 018	X: -2,20; Y: 6,50	24,61	1,21	3 310 885	4 016 905	X: -2,20; Y: 6,50	24,61						
1,33	4 530 611	6 041 407	X: -2,20; Y: 6,50	28,61	1,21	4 530 611	5 461 296	X: -2,20; Y: 6,50	28,61						
1,34	3 302 253	4 418 349	X: -2,70; Y: 6,50	24,72	1,22	3 302 253	4 020 461	X: -2,70; Y: 6,50	24,72						
1,34	4 517 595	6 050 365	X: -2,70; Y: 6,50	28,72	1,21	4 517 595	5 465 483	X: -2,70; Y: 6,50	28,72						
1,33	3 330 211	4 432 866	X: -3,20; Y: 6,50	24,84	1,21	3 330 211	4 035 803	X: -3,20; Y: 6,50	24,84						
1,35	4 506 377	6 062 660	X: -3,20; Y: 6,50	28,84	1,21	4 506 377	5 473 059	X: -3,20; Y: 6,50	28,84						
1,34	3 324 928	4 452 188	X: -3,70; Y: 6,50	24,96	1,22	3 324 928	4 048 880	X: -3,70; Y: 6,50	24,96						
1,34	4 543 582	6 085 956	X: -3,70; Y: 6,50	28,96	1,21	4 543 582	5 496 049	X: -3,70; Y: 6,50	28,96						
1,33	3 354 246	4 473 415	X: -4,20; Y: 6,50	25,10	1,21	3 354 246	4 069 754	X: -4,20; Y: 6,50	25,10						
1,35	4 535 803	6 106 619	X: -4,20; Y: 6,50	29,10	1,21	4 535 803	5 510 728	X: -4,20; Y: 6,50	29,10						
1,32	3 412 909	4 492 908	X: 0,30; Y: 7,00	24,73	1,20	3 412 909	4 097 223	X: 0,30; Y: 7,00	24,73						
1,32	4 657 850	6 132 713	X: 0,30; Y: 7,00	28,73	1,19	4 657 850	5 550 891	X: 0,30; Y: 7,00	28,73						
1,32	3 396 748	4 480 670	X: -0,20; Y: 7,00	24,78	1,20	3 396 748	4 084 548	X: -0,20; Y: 7,00	24,78						
1,32	4 637 240	6 118 923	X: -0,20; Y: 7,00	28,78	1,19	4 637 240	5 536 467	X: -0,20; Y: 7,00	28,78						
1,31	3 420 085	4 476 603	X: -0,70; Y: 7,00	24,85	1,19	3 420 085	4 084 719	X: -0,70; Y: 7,00	24,85						
1,32	4 618 130	6 109 183	X: -0,70; Y: 7,00	28,85	1,20	4 618 130	5 525 603	X: -0,70; Y: 7,00	28,85						
1,31	3 406 256	4 472 249	X: -1,20; Y: 7,00	24,92	1,20	3 406 256	4 078 317	X: -1,20; Y: 7,00	24,92						
1,31	4 650 007	6 110 640	X: -1,20; Y: 7,00	28,92	1,19	4 650 007	5 530 908	X: -1,20; Y: 7,00	28,92						
1,32	3 394 072	4 471 226	X: -1,70; Y: 7,00	25,01	1,20	3 394 072	4 075 001	X: -1,70; Y: 7,00	25,01						
1,32	4 633 429	6 109 899	X: -1,70; Y: 7,00	29,01	1,19	4 633 429	5 527 233	X: -1,70; Y: 7,00	29,01						
1,31	3 418 127	4 477 051	X: -2,20; Y: 7,00	25,10	1,19	3 418 127	4 083 250	X: -2,20; Y: 7,00	25,10						
1,32	4 618 633	6 112 851	X: -2,20; Y: 7,00	29,10	1,20	4 618 633	5 527 044	X: -2,20; Y: 7,00	29,10						
1,32	3 409 132	4 483 909	X: -2,70; Y: 7,00	25,21	1,20	3 409 132	4 086 311	X: -2,70; Y: 7,00	25,21						
1,32	4 651 745	6 131 113	X: -2,70; Y: 7,00	29,21	1,19	4 651 745	5 545 362	X: -2,70; Y: 7,00	29,21						
1,32	3 403 806	4 493 576	X: -3,20; Y: 7,00	25,32	1,20	3 403 806	4 092 254	X: -3,20; Y: 7,00	25,32						
1,32	4 641 893	6 142 705	X: -3,20; Y: 7,00	29,32	1,20	4 641 893	5 552 306	X: -3,20; Y: 7,00	29,32						
1,31	3 430 261	4 510 360	X: -3,70; Y: 7,00	25,44	1,20	3 430 261	4 109 181	X: -3,70; Y: 7,00	25,44						
1,32	4 675 876	6 163 396	X: -3,70; Y: 7,00	29,44	1,19	4 675 876	5 573 365	X: -3,70; Y: 7,00	29,44						
1,32	3 426 443	4 527 546	X: -4,20; Y: 7,00	25,58	1,20	3 426 443	4 121 468	X: -4,20; Y: 7,00	25,58						
1,32	4 667 917	6 183 624	X: -4,20; Y: 7,00	29,58	1,20	4 667 917	5 587 513	X: -4,20; Y: 7,00	29,58						
1,29	3 531 006	4 564 737	X: 0,30; Y: 7,50	25,22	1,18	3 531 006	4 168 317	X: 0,30; Y: 7,50	25,22						
1,30	4 802 915	6 220 449	X: 0,30; Y: 7,50	29,22	1,17	4 802 915	5 636 544	X: 0,30; Y: 7,50	29,22						
1,30	3 513 503	4 551 688	X: -0,20; Y: 7,50	25,28	1,18	3 513 503	4 154 961	X: -0,20; Y: 7,50	25,28						
1,30	4 780 968	6 205 802	X: -0,20; Y: 7,50	29,28	1,18	4 780 968	5 621 398	X: -0,20; Y: 7,50	29,28						
1,30	3 497 551	4 542 184	X: -0,70; Y: 7,50	25,34	1,19	3 497 551	4 144 727	X: -0,70; Y: 7,50	25,34						
1,30	4 760 649	6 195 213	X: -0,70; Y: 7,50	29,34	1,18	4 760 649	5 609 827	X: -0,70; Y: 7,50	29,34						
1,29	3 517 984	4 539 995	X: -1,20; Y: 7,50	25,42	1,18	3 517 984	4 146 159	X: -1,20; Y: 7,50	25,42						
1,31	4 742 017	6 188 592	X: -1,20; Y: 7,50	29,42	1,18	4 742 017	5 601 798	X: -1,20; Y: 7,50	29,42						
1,29	3 504 918	4 538 374	X: -1,70; Y: 7,50	25,50	1,18	3 504 918	4 142 258	X: -1,70; Y: 7,50	25,50						
1,30	4 771 264	6 192 547	X: -1,70; Y: 7,50	29,50	1,18	4 771 264	5 608 798	X: -1,70; Y: 7,50	29,50						
1,30	3 493 611	4 539 993	X: -2,20; Y: 7,50	25,59	1,19	3 493 611	4 141 413	X: -2,20; Y: 7,50	25,59						
1,30	4 755 680	6 194 818	X: -2,20; Y: 7,50	29,59	1,18	4 755 680	5 607 970	X: -2,20; Y: 7,50	29,59						
1,29	3 515 632	4 547 958	X: -2,70; Y: 7,50	25,70	1,18	3 515 632	4 151 140	X: -2,70; Y: 7,50	25,70						

VERIFICHE DI STABILITÀ

Bishop					Fellenius				
CS	FrzRbit [N]	FrzRes [N]	Centro [m]	Raggio [m]	CS	FrzRbit [N]	FrzRes [N]	Centro [m]	Raggio [m]
1,28	4 890 859	6 275 418	X: -2,20; Y: 8,00	30,08	1,16	4 890 859	5 687 998	X: -2,20; Y: 8,00	30,08
1,28	3 591 627	4 609 493	X: -2,70; Y: 8,00	26,18	1,17	3 591 627	4 208 795	X: -2,70; Y: 8,00	26,18
1,29	4 876 516	6 280 671	X: -2,70; Y: 8,00	30,18	1,17	4 876 516	5 689 987	X: -2,70; Y: 8,00	30,18
1,28	3 611 894	4 619 558	X: -3,20; Y: 8,00	26,29	1,17	3 611 894	4 220 041	X: -3,20; Y: 8,00	26,29
1,29	4 864 129	6 289 428	X: -3,20; Y: 8,00	30,29	1,17	4 864 129	5 695 359	X: -3,20; Y: 8,00	30,29
1,28	3 605 754	4 631 447	X: -3,70; Y: 8,00	26,41	1,17	3 605 754	4 228 019	X: -3,70; Y: 8,00	26,41
1,29	4 894 001	6 307 933	X: -3,70; Y: 8,00	30,41	1,17	4 894 001	5 713 933	X: -3,70; Y: 8,00	30,41
1,28	3 627 685	4 647 798	X: -4,20; Y: 8,00	26,54	1,17	3 627 685	4 244 700	X: -4,20; Y: 8,00	26,54
1,29	4 885 687	6 325 068	X: -4,20; Y: 8,00	30,54	1,17	4 885 687	5 726 409	X: -4,20; Y: 8,00	30,54
1,26	3 725 370	4 697 644	X: 0,30; Y: 8,50	26,22	1,15	3 725 370	4 296 925	X: 0,30; Y: 8,50	26,22
1,27	5 039 668	6 387 657	X: 0,30; Y: 8,50	30,22	1,15	5 039 668	5 794 695	X: 0,30; Y: 8,50	30,22
1,25	3 738 605	4 689 860	X: -0,20; Y: 8,50	26,27	1,15	3 738 605	4 293 036	X: -0,20; Y: 8,50	26,27
1,27	5 016 011	6 370 652	X: -0,20; Y: 8,50	30,27	1,15	5 016 011	5 778 148	X: -0,20; Y: 8,50	30,27
1,26	3 720 382	4 678 973	X: -0,70; Y: 8,50	26,33	1,15	3 720 382	4 281 510	X: -0,70; Y: 8,50	26,33
1,26	5 037 905	6 363 308	X: -0,70; Y: 8,50	30,33	1,15	5 037 905	5 775 614	X: -0,70; Y: 8,50	30,33
1,26	3 704 037	4 671 571	X: -1,20; Y: 8,50	26,40	1,15	3 704 037	4 273 120	X: -1,20; Y: 8,50	26,40
1,27	5 017 250	6 355 218	X: -1,20; Y: 8,50	30,40	1,15	5 017 250	5 766 223	X: -1,20; Y: 8,50	30,40
1,27	3 689 575	4 667 573	X: -1,70; Y: 8,50	26,49	1,16	3 689 575	4 267 823	X: -1,70; Y: 8,50	26,49
1,27	4 998 585	6 350 986	X: -1,70; Y: 8,50	30,49	1,15	4 998 585	5 760 359	X: -1,70; Y: 8,50	30,49
1,26	3 705 216	4 669 131	X: -2,20; Y: 8,50	26,57	1,15	3 705 216	4 271 988	X: -2,20; Y: 8,50	26,57
1,27	4 981 909	6 350 535	X: -2,20; Y: 8,50	30,57	1,16	4 981 909	5 757 969	X: -2,20; Y: 8,50	30,57
1,26	3 694 714	4 672 975	X: -2,70; Y: 8,50	26,67	1,16	3 694 714	4 273 093	X: -2,70; Y: 8,50	26,67
1,27	5 006 989	6 359 353	X: -2,70; Y: 8,50	30,67	1,15	5 006 989	5 768 489	X: -2,70; Y: 8,50	30,67
1,27	3 686 093	4 679 863	X: -3,20; Y: 8,50	26,78	1,16	3 686 093	4 277 174	X: -3,20; Y: 8,50	26,78
1,27	4 994 300	6 367 563	X: -3,20; Y: 8,50	30,78	1,16	4 994 300	5 773 281	X: -3,20; Y: 8,50	30,78
1,27	3 707 094	4 691 882	X: -3,70; Y: 8,50	26,90	1,16	3 707 094	4 289 924	X: -3,70; Y: 8,50	26,90
1,27	5 022 318	6 383 266	X: -3,70; Y: 8,50	30,90	1,15	5 022 318	5 789 840	X: -3,70; Y: 8,50	30,90
1,27	3 702 623	4 706 269	X: -4,20; Y: 8,50	27,02	1,16	3 702 623	4 300 322	X: -4,20; Y: 8,50	27,02
1,28	5 013 858	6 400 053	X: -4,20; Y: 8,50	31,02	1,16	5 013 858	5 801 783	X: -4,20; Y: 8,50	31,02

LEGENDA Verifiche di stabilità'
Approccio

Tipo di Approccio seguito.

Stato limite

Tipo di Stato Limite.

Sisma

Sisma agente nella Combinazione.

CS

Coefficiente di sicurezza.

FrzRbit

Forza Ribaltante [N].

FrzRes

Forza Resistente [N].

Centro

Coordinate del centro della circonferenza che delinea la superficie di scorrimento [m].

Raggio

Raggio della circonferenza che delinea la superficie di scorrimento [m].

VERIFICHE A SCORRIMENTO
VERIFICHE A SCORRIMENTO - Approccio 2, Combinazione (A1+M1+R3)

Stato limite	Sisma	CS	FrzP [N]	FrzR [N]
Sezione...				
Verifica 1	SLU NO	-	0	0
Verifica 2	SLU NO	-	0	0
Verifica 3	SLU NO	-	0	0
Verifica 4	SLU NO	-	0	0
Verifica 5	SLV SI	-	0	0
Verifica 6	SLV SI	-	0	0

LEGENDA Verifiche a scorrimento
Stato limite

Tipo di Stato Limite.

Sisma

Sisma agente nella Combinazione.

CS

Coefficiente di sicurezza.

FrzP

Forza di scorrimento di Progetto [N].

FrzR

Forza Resistente a scorrimento [N].

VERIFICHE A RIBALTIMENTO
VERIFICHE A RIBALTIMENTO - Approccio 2, Combinazione (A1+M1+R3)

Stato limite	Sisma	CS	Mrbt [Nm]	Mstbl [Nm]
Sezione...				
Verifica 1	SLU NO	-	0	0
Verifica 2	SLU NO	-	0	0
Verifica 3	SLU NO	-	0	0
Verifica 4	SLU NO	-	0	0
Verifica 5	SLV SI	-	0	0
Verifica 6	SLV SI	-	0	0

VERIFICHE A RIBALTIMENTO - Approccio 2, Combinazione (A1+M1+R3)					
Stato limite	Sisma	CS	Mrblt [Nm]	Mstbl [Nm]	

LEGENDA Verifiche a ribaltamento

Stato limite	Tipo di Stato Limite.
Sisma	Sisma agente nella Combinazione.
CS	Coefficiente di sicurezza.
Mrblt	Momento ribaltante di Progetto [Nm].
Mstbl	Momento Stabilizzante [Nm].

VERIFICHE A CARICO LIMITE

VERIFICHE A CARICO LIMITE - Approccio 2, Combinazione (A1+M1+R3)					
Stato limite	Sisma	CS	QMedP [N/mm ²]	QLim [N/mm ²]	
Sezione...					
Verifica 1	SLU	NO	-	0,00	0,00
Verifica 2	SLU	NO	-	0,00	0,00
Verifica 3	SLU	NO	-	0,00	0,00
Verifica 4	SLU	NO	-	0,00	0,00
Verifica 5	SLV	SI	-	0,00	0,00
Verifica 6	SLV	SI	-	0,00	0,00

LEGENDA Verifiche a Carico Limite

Stato limite	Tipo di Stato Limite.
Sisma	Sisma agente nella Combinazione.
CS	Coefficiente di sicurezza.
QMedP	Tensione media di Progetto [N/mm ²].
QLim	Carico Limite [N/mm ²].

VERIFICHE A PRESSOFLESSIONE RETTA ALLO SLU

VERIFICHE A PRESSOFLESSIONE RETTA ALLO SLU								
CS _{Sup}	CS _{Inf}	N _{Sup} [N]	M _y _{Sup} [Nm]	N _{Inf} [N]	M _y _{Inf} [Nm]	Af _{Sup} [cm ²]	Af _{Inf} [cm ²]	
Sezione...								
Parametro								
Sez. calcolo n.1 - Dis: 0,00								
-	2,34	0	0,00	97 817	-118 937,00	14,54	14,54	
Sez. calcolo n.2 - Dis: 0,82	-	2,94	0	103 420	-94 885,00	14,54	14,54	
Sez. calcolo n.3 - Dis: 1,64	-	3,75	0	91 025	-73 805,00	14,54	14,54	
Sez. calcolo n.4 - Dis: 2,45	-	5,16	0	78 679	-53 057,00	14,54	14,54	
Sez. calcolo n.5 - Dis: 3,27	-	8,26	0	66 385	-32 842,00	14,54	14,54	
Sez. calcolo n.6 - Dis: 4,09	-	6,14	0	47 410	-43 484,00	14,54	14,54	
Sez. calcolo n.7 - Dis: 4,91	-	14,87	0	30 197	-17 694,00	14,54	14,54	
Sez. calcolo n.8 - Dis: 5,72	-	63,24	0	14 557	-4 107,00	14,54	14,54	
Sez. calcolo n.9 - Dis: 6,54	-	487	0,00	487	0,00	14,54	14,54	
Fondazione muro								
Sez. calcolo n.10 - Dis: 0,00(Valle)	-	NS	0	0,00	0	-45,00	21,81	21,81
Sez. calcolo n.11 - Dis: 0,12(Valle)	NS	-	0	112,00	0	0,00	21,81	21,81
Sez. calcolo n.12 - Dis: 0,24(Valle)	NS	-	0	358,00	0	0,00	21,81	21,81
Sez. calcolo n.13 - Dis: 0,35(Valle)	NS	-	0	744,00	0	0,00	21,81	21,81
Sez. calcolo n.14 - Dis: 0,47(Valle)	NS	-	0	1 269,00	0	0,00	21,81	21,81
Sez. calcolo n.15 - Dis: 0,59(Valle)	NS	-	0	1 935,00	0	0,00	21,81	21,81
Sez. calcolo n.16 - Dis: 0,71(Valle)	NS	-	0	2 740,00	0	0,00	21,81	21,81
Sez. calcolo n.17 - Dis: 0,82(Valle)	NS	-	0	3 686,00	0	0,00	21,81	21,81
Sez. calcolo n.18 - Dis: 0,94(Valle)	97,86	-	0	4 772,00	0	0,00	21,81	21,81
Sez. calcolo n.19 - Dis: 0,00(Monte)	4,11	-	0	113 505,00	0	0,00	21,81	21,81
Sez. calcolo n.20 - Dis: 0,37(Monte)	6,78	-	0	68 890,00	0	0,00	21,81	21,81
Sez. calcolo n.21 - Dis: 0,74(Monte)	11,48	-	0	40 670,00	0	0,00	21,81	21,81

VERIFICHE A PRESSOFLESSIONE RETTA ALLO SLU

CS _{Sup}	CS _{Inf}	N _{Sup} [N]	M _{y^{Sup}} [Nm]	Sollecitazioni	N _{Inf} [N]	M _{y^{Inf}} [Nm]	Af _{Sup} [cm ²]	Af _{Inf} [cm ²]
Sez. calcolo n.22 - Dis: 1.10(Monte)								
17,83	-	0	26 186,00		0	0,00	21,81	21,81
Sez. calcolo n.23 - Dis: 1.47(Monte)								
22,01	-	0	21 219,00		0	0,00	21,81	21,81
Sez. calcolo n.24 - Dis: 1.84(Monte)								
13,49	-	0	34 617,00		0	0,00	21,81	21,81
Sez. calcolo n.25 - Dis: 2.21(Monte)								
17,77	-	0	26 274,00		0	0,00	21,81	21,81
Sez. calcolo n.26 - Dis: 2.57(Monte)								
66,03	-	0	7 072,00		0	0,00	21,81	21,81
Sez. calcolo n.27 - Dis: 2.94(Monte)								
NS	-	0	90,00		0	0,00	21,81	21,81

LEGENDA Verifiche a pressoflessione retta allo SLU

CS	Coefficiente di sicurezza per l'armatura superiore ed inferiore.
N	Sforzo normale per l'armatura superiore ed inferiore [N].
My	Vettore Momento intorno a Y per l'armatura superiore ed inferiore [Nm].
Af_{Sup}	Armatura Superiore Esecutiva [cm ²].
Af_{Inf}	Armatura Inferiore Esecutiva [cm ²].
NOTE	Per il paramento: sup=armatura a valle; inf=armatura a monte Per la fondazione: sup=armatura superiore; inf=armatura inferiore

VERIFICHE A PRESSOFLESSIONE RETTA ALLO SLE
VERIFICHE A PRESSOFLESSIONE RETTA ALLO SLE

Trazione calcestruzzo			Compressione calcestruzzo			Trazione acciaio		
σ_{ct} [N/mm ²]	N [N]	M _y [N·m]	σ_{cc} [N/mm ²]	N [N]	M _y [N·m]	σ_{at} [N/mm ²]	N [N]	M _y [N·m]
Sezione...								
Parametro								
Sez. calcolo n.1 - Dis: 0.00								
AA= PCA	CA=FQR & sm=0,00000 Ae=0,0 cm ² sm=0 mm wk=0,00 mm	1,565	90 312	-88 126	-1,898	90 312	-88 126	21,402
Sez. calcolo n.2 - Dis: 0.82								
AA= PCA	CA=FQR & sm=0,00000 Ae=0,0 cm ² sm=0 mm wk=0,00 mm	1,266	79 553	-71 907	-1,559	79 553	-71 907	17,301
Sez. calcolo n.3 - Dis: 1.64								
AA= PCA	CA=FQR & sm=0,00000 Ae=0,0 cm ² sm=0 mm wk=0,00 mm	0,970	70 019	-55 948	-1,228	70 019	-55 948	13,237
Sez. calcolo n.4 - Dis: 2.45								
AA= PCA	CA=FQR & sm=0,00000 Ae=0,0 cm ² sm=0 mm wk=0,00 mm	0,679	60 522	-40 218	-0,902	60 522	-40 218	9,235
Sez. calcolo n.5 - Dis: 3.27								
AA= PCA	CA=FQR & sm=0,00000 Ae=0,0 cm ² sm=0 mm wk=0,00 mm	0,395	51 064	-24 864	-0,582	51 064	-24 864	5,332
Sez. calcolo n.6 - Dis: 4.09								
AA= PCA	CA=FQR & sm=0,00000 Ae=0,0 cm ² sm=0 mm wk=0,00 mm	0,578	36 468	-32 842	-0,712	36 468	-32 842	7,898
Sez. calcolo n.7 - Dis: 4.91								
AA= PCA	CA=FQR & sm=0,00000 Ae=0,0 cm ² sm=0 mm wk=0,00 mm	0,219	23 229	-13 324	-0,305	23 229	-13 324	2,972
Sez. calcolo n.8 - Dis: 5.72								
AA= PCA	CA=FQR & sm=0,00000 Ae=0,0 cm ² sm=0 mm wk=0,00 mm	0,040	11 198	-3 081	-0,081	11 198	-3 081	0,526
Sez. calcolo n.9 - Dis: 6.54								
AA= PCA	CA=FQR & sm=0,00000 Ae=0,0 cm ² sm=0 mm wk=0,00 mm	0,000	0	0	0,000	0	0,000	0
Fondazione muro								
Sez. calcolo n.10 - Dis: 0.00(Valle)								
AA= PCA	CA=FQR & sm=0,00000 Ae=0,0 cm ² sm=0 mm wk=0,00 mm	0,000	0	5	0,000	0	0,001	0
Sez. calcolo n.11 - Dis: 0.12(Valle)								
AA= PCA	CA=FQR & sm=0,00000 Ae=0,0 cm ² sm=0 mm wk=0,00 mm	0,001	0	86	-0,001	0	86	0,016
Sez. calcolo n.12 - Dis: 0.24(Valle)								
AA= PCA	CA=FQR & sm=0,00000 Ae=0,0 cm ² sm=0 mm wk=0,00 mm	0,004	0	275	-0,004	0	275	0,050
Sez. calcolo n.13 - Dis: 0.35(Valle)								
AA= PCA	CA=FQR & sm=0,00000 Ae=0,0 cm ² sm=0 mm wk=0,00 mm	0,007	0	571	-0,007	0	571	0,104
Sez. calcolo n.14 - Dis: 0.47(Valle)								
AA= PCA	CA=FQR & sm=0,00000 Ae=0,0 cm ² sm=0 mm wk=0,00 mm	0,013	0	976	-0,013	0	976	0,177
Sez. calcolo n.15 - Dis: 0.59(Valle)								
AA= PCA	CA=FQR & sm=0,00000 Ae=0,0 cm ² sm=0 mm wk=0,00 mm	0,019	0	1 488	-0,019	0	1 488	0,270
Sez. calcolo n.16 - Dis: 0.71(Valle)								
AA= PCA	CA=FQR & sm=0,00000 Ae=0,0 cm ² sm=0 mm wk=0,00 mm	0,027	0	2 108	-0,027	0	2 108	0,383
Sez. calcolo n.17 - Dis: 0.82(Valle)								
AA= PCA	CA=FQR & sm=0,00000 Ae=0,0 cm ² sm=0 mm wk=0,00 mm	0,037	0	2 836	-0,037	0	2 836	0,515
Sez. calcolo n.18 - Dis: 0.94(Valle)								

VERIFICHE A PRESSOFLESSIONE RETTA ALLO SLE										
Trazione calcestruzzo			Compressione calcestruzzo			Trazione acciaio				
σ_{ct}	N	My	σ_{cc}	N	My	σ_{at}	N	My		
[N/mm²]	[N]	[N·m]	[N/mm²]	[N]	[N·m]	[N/mm²]	[N]	[N·m]		
AA= PCA	CA=FQR & sm=0,00000 Ae=0,0 cm² sm=0 mm wk=0,00 mm	0	3 671	-0,048	0	CA=QPR & sm=0,00000 Ae=0,0 cm² sm=0 mm wk=0,00 mm	3 671	0,667	0	3 671
0,048										
Sez. calcolo n.19 - Dis: 0.00(Monte)										
AA= PCA	CA=FQR & sm=0,00000 Ae=0,0 cm² sm=0 mm wk=0,00 mm	0	86 217	-1,118	0	CA=QPR & sm=0,00000 Ae=0,0 cm² sm=0 mm wk=0,00 mm	86 217	15,655	0	86 217
1,118										
Sez. calcolo n.20 - Dis: 0.37(Monte)										
AA= PCA	CA=FQR & sm=0,00000 Ae=0,0 cm² sm=0 mm wk=0,00 mm	0	52 215	-0,677	0	CA=QPR & sm=0,00000 Ae=0,0 cm² sm=0 mm wk=0,00 mm	52 215	9,481	0	52 215
0,677										
Sez. calcolo n.21 - Dis: 0.74(Monte)										
AA= PCA	CA=FQR & sm=0,00000 Ae=0,0 cm² sm=0 mm wk=0,00 mm	0	27 544	-0,357	0	CA=QPR & sm=0,00000 Ae=0,0 cm² sm=0 mm wk=0,00 mm	27 544	5,001	0	27 544
0,357										
Sez. calcolo n.22 - Dis: 1.10(Monte)										
AA= PCA	CA=FQR & sm=0,00000 Ae=0,0 cm² sm=0 mm wk=0,00 mm	0	12 317	-0,160	0	CA=QPR & sm=0,00000 Ae=0,0 cm² sm=0 mm wk=0,00 mm	12 317	2,237	0	12 317
0,160										
Sez. calcolo n.23 - Dis: 1.47(Monte)										
AA= PCA	CA=FQR & sm=0,00000 Ae=0,0 cm² sm=0 mm wk=0,00 mm	0	10 921	-0,142	0	CA=QPR & sm=0,00000 Ae=0,0 cm² sm=0 mm wk=0,00 mm	10 921	1,983	0	10 921
0,142										
Sez. calcolo n.24 - Dis: 1.84(Monte)										
AA= PCA	CA=FQR & sm=0,00000 Ae=0,0 cm² sm=0 mm wk=0,00 mm	0	26 628	-0,345	0	CA=QPR & sm=0,00000 Ae=0,0 cm² sm=0 mm wk=0,00 mm	26 628	4,835	0	26 628
0,345										
Sez. calcolo n.25 - Dis: 2.21(Monte)										
AA= PCA	CA=FQR & sm=0,00000 Ae=0,0 cm² sm=0 mm wk=0,00 mm	0	20 210	-0,262	0	CA=QPR & sm=0,00000 Ae=0,0 cm² sm=0 mm wk=0,00 mm	20 210	3,670	0	20 210
0,262										
Sez. calcolo n.26 - Dis: 2.57(Monte)										
AA= PCA	CA=FQR & sm=0,00000 Ae=0,0 cm² sm=0 mm wk=0,00 mm	0	5 440	-0,071	0	CA=QPR & sm=0,00000 Ae=0,0 cm² sm=0 mm wk=0,00 mm	5 440	0,988	0	5 440
0,071										
Sez. calcolo n.27 - Dis: 2.94(Monte)										
AA= PCA	CA=FQR & sm=0,00000 Ae=0,0 cm² sm=0 mm wk=0,00 mm	0	-4	0,000	0	CA=QPR & sm=0,00000 Ae=0,0 cm² sm=0 mm wk=0,00 mm	-4	0,001	0	-4
0,000										

LEGENDA Verifiche a pressoflessione retta allo SLE

AA	Identificativo dell'aggressività dell'ambiente: [PCA] = Poco aggressivo - [MDA] = Moderatamente aggressivo - [MLA] = Molto aggressivo.
CA	Identificativo della Combinazione di Azione: [QPR] = Quasi Permanente - [FQR] = Frequente - [RAR] = Rara.
& sm	Deformazione media nel calcestruzzo.
Ae	Area efficace del calcestruzzo tesio.
sm	Distanza media tra le fessure.
wk	Apertura massima delle fessure.
σ_{ct}, N, My	Valori, rispettivamente della tensione massima di trazione nel calcestruzzo e delle componenti della sollecitazione agenti che l'hanno generata, riferite all'asse baricentrico della sezione trasversale(N) ed al sistema baricentrico x, y della sezione trasversale.
σ_{cc}, N, My	Valori, rispettivamente della tensione massima di compressione nel calcestruzzo e delle componenti della sollecitazione agenti che l'hanno generata, riferite all'asse baricentrico della sezione trasversale(N) ed al sistema baricentrico x, y della sezione trasversale.
σ_{at}, N, My	Valori, rispettivamente della tensione massima di trazione nell'acciaio e delle componenti della sollecitazione agenti che l'hanno generata, riferite all'asse baricentrico della sezione trasversale(N) ed al sistema baricentrico x, y della sezione trasversale.

VERIFICHE A TAGLIO PER PRESSOFLESSIONE RETTA ALLO SLU

VERIFICHE A TAGLIO PER PRESSOFLESSIONE RETTA ALLO SLU															
CS+	CS-	Tx+	Tx-	Vcc+	Vcc-	Vwd+	Vwd-	Nd+	Nd-	Vwp+	Vwp-	ctgθ+	ctgθ	AfTe+	AfTe-
[N]	[N]	[N]	[N]	[N]	[N]	[N]	[N]	[N]	[N]	[N]	[N]	[cm²/cm]	[cm²/cm]	[cm²/cm]	[cm²/cm]
Sezione...															
Paramento															
Sez. calcolo n.1 - Dis: 0.00															
-	10,04	0	-24 448	231 891	245 438	0	0	0	90 312	0	0	0,00	0,00	0,0000	0,0000
Sez. calcolo n.2 - Dis: 0.82															
-	10,81	0	-22 547	231 891	243 824	0	0	0	79 553	0	0	0,00	0,00	0,0000	0,0000
Sez. calcolo n.3 - Dis: 1.64															
-	10,98	0	-22 080	231 891	242 394	0	0	0	70 019	0	0	0,00	0,00	0,0000	0,0000
Sez. calcolo n.4 - Dis: 2.45															
-	11,26	0	-21 397	231 891	240 970	0	0	0	60 522	0	0	0,00	0,00	0,0000	0,0000
Sez. calcolo n.5 - Dis: 3.27															
-	11,71	0	-20 452	231 891	239 551	0	0	0	51 064	0	0	0,00	0,00	0,0000	0,0000
Sez. calcolo n.6 - Dis: 4.09															
-	6,82	0	-34 817	231 891	237 362	0	0	0	36 468	0	0	0,00	0,00	0,0000	0,0000
Sez. calcolo n.7 - Dis: 4.91															
-	11,29	0	-20 857	231 891	235 376	0	0	0	23 229	0	0	0,00	0,00	0,0000	0,0000
Sez. calcolo n.8 - Dis: 5.72															
-	25,20	0	-9 269	231 891	233 571	0	0	0	11 198	0	0	0,00	0,00	0,0000	0,0000
Sez. calcolo n.9 - Dis: 6.54															
-	0	0	231 891	231 891	0	0	0	0	0	0	0,00	0,00	0,0000	0,0000	
Fondazione muro															
Sez. calcolo n.10 - Dis: 0.00(Valle)															
NS	-	234	0	290 921	290 921	0	0	0	0	0	0,00	0,00	0,0000	0,0000	
Sez. calcolo n.11 - Dis: 0.12(Valle)															
NS	-	1 150	0	290 921	290 921	0	0	0	0	0	0,00	0,00	0,0000	0,0000	
Sez. calcolo n.12 - Dis: 0.24(Valle)															
NS	-	2 067	0	290 921	290 921	0	0	0	0	0	0,00	0,00	0,0000	0,0000	
Sez. calcolo n.13 - Dis: 0.35(Valle)															
97,53	-	2 983	0	290 921	290 921	0	0	0	0	0	0,00	0,00	0,0000	0,0000	
Sez. calcolo n.14 - Dis: 0.47(Valle)															
74,60	-	3 900	0	290 921	290 921	0	0	0	0	0	0,00	0,00	0,0000	0,0000	
Sez. calcolo n.15 - Dis: 0.59(Valle)															
60,39	-	4 817	0	290 921	290 921	0	0	0	0	0	0,00	0,00	0,0000	0,0000	

VERIFICHE A TAGLIO PER PRESSOFLESSIONE RETTA ALLO SLU																
CS+	CS-	Tx+ [N]	Tx- [N]	Vcc+ [N]	Vcc- [N]	Vwd+ [N]	Vwd- [N]	Nd+ [N]	Nd- [N]	Vwp+ [N]	Vwp- [N]	ctgθ+ [cm ² /cm]	ctgθ [cm ² /cm]	AfTe+ [cm ² /cm]	AfTe- [cm ² /cm]	
Sez. calcolo n.16 - Dis: 0,71(Valle)																
50,74	-	5 733	0	290 921	290 921	0	0	0	0	0	0	0,00	0,00	0,0000	0,0000	
Sez. calcolo n.17 - Dis: 0,82(Valle)																
43,75	-	6 650	0	290 921	290 921	0	0	0	0	0	0	0,00	0,00	0,0000	0,0000	
Sez. calcolo n.18 - Dis: 0,94(Valle)																
38,45	-	7 566	0	290 921	290 921	0	0	0	0	0	0	0,00	0,00	0,0000	0,0000	
Sez. calcolo n.19 - Dis: 0,00(Monte)																
2,53	-	114 990	0	290 921	290 921	0	0	0	0	0	0	0,00	0,00	0,0000	0,0000	
Sez. calcolo n.20 - Dis: 0,37(Monte)																
3,33	-	87 424	0	290 921	290 921	0	0	0	0	0	0	0,00	0,00	0,0000	0,0000	
Sez. calcolo n.21 - Dis: 0,74(Monte)																
4,86	-	59 857	0	290 921	290 921	0	0	0	0	0	0	0,00	0,00	0,0000	0,0000	
Sez. calcolo n.22 - Dis: 1,10(Monte)																
7,56	-	38 465	0	290 921	290 921	0	0	0	0	0	0	0,00	0,00	0,0000	0,0000	
Sez. calcolo n.23 - Dis: 1,47(Monte)																
-	6,93	0	-41 985	290 921	290 921	0	0	0	0	0	0	0,00	0,00	0,0000	0,0000	
Sez. calcolo n.24 - Dis: 1,84(Monte)																
-	4,18	0	-69 552	290 921	290 921	0	0	0	0	0	0	0,00	0,00	0,0000	0,0000	
Sez. calcolo n.25 - Dis: 2,21(Monte)																
5,27	-	55 219	0	290 921	290 921	0	0	0	0	0	0	0,00	0,00	0,0000	0,0000	
Sez. calcolo n.26 - Dis: 2,57(Monte)																
10,52	-	27 653	0	290 921	290 921	0	0	0	0	0	0	0,00	0,00	0,0000	0,0000	
Sez. calcolo n.27 - Dis: 2,94(Monte)																
NS	-	165	0	290 921	290 921	0	0	0	0	0	0	0,00	0,00	0,0000	0,0000	

LEGENDA Verifiche a taglio per pressoflessione retta allo SLU

CS+, CS-
Tx+, Tx-
Vcc+, Vcc-
Vwd+, Vwd-
Nd+, Nd-
Vwp+, Vwp-
ctgθ+, ctgθ
AfTe+, AfTe-
A
 Coefficienti di sicurezza relativi alle sollecitazioni "Tx+" e "Tx-" : [NS] = Non Significativo - Per valori di CS maggiori o uguali a 100.
 Valori massimo e minimo della sollecitazione di taglio.
 Valori massimo e minimo del taglio ultimo, per conglomerato compresso.
 Contributi dell'acciaio al taglio ultimo dovuto alle staffe, relativi alle sollecitazioni "Tx+" e "Tx-".
 Sforzo normale.
 Contributo acciaio al Taglio ultimo dovuto ai ferri piegati, relativi alle sollecitazioni "Tx+" e "Tx-".
 ctg(θ) utilizzato nel calcolo di Vcc, Vwd e Vwp.
 Aree di ferro per il taglio in un centimetro, relativi alle sollecitazioni "Tx+" e "Tx-".

PALI - VERIFICHE A CARICO LIMITE VERTICALE E ORIZZONTALE

pali - Verifiche a carico limite verticale e orizzontale												
Palo	QMaxVrt [N]	QMaxOrz [N]	QLimVrt [N]	QLimVPnt [N]	QLimVLtrl [N]	QLimOrz [N]	MMaxOrz [Nm]	Tipo Rottura	Prof Cern [m]	CS Vert	CS Oriz	
Sezione...												
Fila di pali n.1	935921	148025	959848	526146	433702	148452	252600	Palo Lungo	2,45	1,03	1,00	
Fila di pali n.2	874857	148130	957413	524904	432510	148452	252600	Palo Lungo	2,45	1,09	1,00	

LEGENDA pali - Verifiche a carico limite verticale e orizzontale

Palo Identificativo del palo.
QMaxVrt Carico verticale di progetto allo SLU.
QMaxOrz Carico orizzontale di progetto allo SLU.
QLimVrt Carico limite verticale.
QLimVPnt Aliquota carico limite verticale dovuto alla resistenza alla punta.
QLimVLtrl Aliquota carico limite verticale dovuto alla resistenza laterale.
QLimOrz Carico limite orizzontale.
MMaxOrz Momento massimo lungo il palo per carichi orizzontali.
Tipo Rottura Modalita' di rottura per carico limite orizzontale(Palo Corto, Palo Medio, Palo Lungo).
Prof Cern Profondita' della seconda cerniera plastica.
CS Vert Coefficiente di sicurezza per carichi verticali: [NS]= Non significativo.
CS Oriz Coefficiente di sicurezza per carichi orizzontali: [NS]= Non significativo.

PALI - VERIFICHE A PRESSOFLESSIONE DEVIATA ALLO SLU

pali - Verifiche a pressoflessione deviata allo SLU										
Palo	N [N]	Mx [N-m]	My [N-m]	CS	ε c	ε A	N ult [N]	ϕ [mm]	nf	ϕSt [mm]
Sezione...										
Fila di pali n.1	839 175	-87 528	0	4,98	-0,0100	0,0303	6 271 417	18	6	0
Fila di pali n.2	718 712	-87 546	0	4,65	-0,0100	0,0340	6 271 417	18	6	0

LEGENDA Pali - Verifiche a pressoflessione deviata allo SLU

Palo Identificativo del palo.
N, Mx, My Valori della terna di sollecitazione cui corrisponde il minimo coefficiente di sicurezza.
CS Minimo Coefficiente di sicurezza: [NS] = Non Significativo - Per valori di CS maggiori o uguali a 100. (Le sollecitazioni ultime Nu, Mxu, Myu sono date da N, Mx, My moltiplicate per CS).
ε c Deformazione del calcestruzzo in corrispondenza di Nu, Mxu, Myu.
ε A Deformazione dell'acciaio in corrispondenza di Nu, Mxu, Myu.
N ult Sforzo normale ultimo per compressione semplice.
ϕ Diametro delle barre di acciaio nei vertici.
nf Numero delle barre di acciaio nei vertici.
ϕSt Diametro delle staffe.

PALI - VERIFICHE A TAGLIO

Pali - Verifiche a Taglio									
Palo	Tc [N]	CS	Vcc [N]	Vwd [N]	Vwp [N]	Aft [cm ² /cm]	Pst [cm]	ϕSt [mm]	
Sezione...									

Pali - Verifiche a Taglio								
Palo	Tc [N]	CS	Vcc [N]	Vwd [N]	Vwp [N]	Aft [cm ² /cm]	Pst [cm]	ϕSt [mm]
Fila di pali n.1	148 025	4,23	1 348 721	626 410	-	0,0924	17	10
Fila di pali n.2	148 130	4,23	1 348 721	626 410	-	0,0924	17	10

LEGENDA Pali - Verifiche a Taglio

Palo	Identificativo del palo.
Nodo	Identificativo del nodo in testa al palo.
Tc	Valori della massima sollecitazione di taglio composta in funzione di Tx, Ty e dell'asse neutro.
CS	Minimo Coefficiente di sicurezza: [NS] = Non Significativo - Per valori di CS maggiori o uguali a 100.
Vcc	Taglio ultimo per conglomerato compresso.
Vwd	Contributo acciaio al taglio ultimo dovuto alle staffe.
Vwp	Taglio ultimo dovuto ai ferri piegati.
Aft	Area di ferro per il taglio per centimetro.
Pst	Passo massimo staffe da Normativa.
ϕSt	Diametri delle staffe [mm].

VERIFICHE DEI CONTRAFFORTI

VERIFICHE DEI CONTRAFFORTI			
Pressoflessione allo SLU			
CS _{Sup}	N _{Sup} [N]	M _y _{Sup} [Nm]	Af _{Sup} [N]
Sezione...			
Contrafforte n.1			
	1,72	106 763	134 936,00
			2,36

LEGENDA Verifiche dei contrafforti

CS	Coefficiente di sicurezza.
Dis	Definizione della sezione a cui si riferisce la Verifica[m].
N	Sforzo normale [N].
My	Vettore Momento intorno a X [Nm].
Af_{Sup}	Armatura Superiore Esecutiva [cm ²].

VERIFICHE DEGLI SPOSTAMENTI

VERIFICHE DEGLI SPOSTAMENTI					
in assenza di sisma allo SLE			in presenza di sisma allo SLD		
CS	SpAmm [cm]	Sp [cm]	CS	SpAmm [cm]	Sp [cm]
Sezione...					
	82,70	5,0000	0,0605	NS	5,0000
					0,0175

LEGENDA Verifiche degli spostamenti

CS	Coefficiente di sicurezza.
SpAmm	Spostamento ammissibile della testa del muro [cm].
Sp	Spostamento calcolato alla testa del muro [cm].

INDICE

<u>INFORMAZIONI GENERALI</u>	pag.	2
<u>MATERIALI</u>	pag.	2
<u>TERRENI</u>	pag.	2
<u>CONDIZIONI DI CARICO</u>	pag.	2
<u>SLE: COMBINAZIONE DI AZIONI QUASI PERMANENTE - COEFFICIENTI</u>	pag.	3
<u>SLE: COMBINAZIONE DI AZIONI FREQUENTE - COEFFICIENTI</u>	pag.	3
<u>SLE: COMBINAZIONE DI AZIONI RARA - COEFFICIENTI</u>	pag.	3
<u>SLU: COMBINAZIONI DI CARICO IN ASSENZA DI SISMA - COEFFICIENTI</u>	pag.	3
<u>SLU: COMBINAZIONI DI CARICO IN PRESENZA DI SISMA - COEFFICIENTI</u>	pag.	3
<u>DATI GENERALI ANALISI SISMICA</u>	pag.	4
<u>GEOMETRIA</u>	pag.	4
<u>CARATTERISTICHE MECCANICHE DEGLI STRATI</u>	pag.	7
<u>CARICHI DISTRIBUITI SUL TERRAPIENO</u>	pag.	7
<u>SPINTE SUL PARAMENTO ALLO SLU</u>	pag.	7
<u>SPINTE SUL CUNEO ALLO SLU</u>	pag.	7
<u>SPINTE SUL PARAMENTO ALLO SLE</u>	pag.	8
<u>SPINTE SUL CUNEO ALLO SLE</u>	pag.	8
<u>SOLLECITAZIONI SUL PARAMENTO</u>	pag.	8
<u>SOLLECITAZIONI SULLA FONDAZIONE</u>	pag.	11
<u>VERIFICHE DI STABILITA'</u>	pag.	16
<u>VERIFICHE A SCORRIMENTO</u>	pag.	31
<u>VERIFICHE A RIBALTIMENTO</u>	pag.	32

<u>VERIFICHE A CARICO LIMITE</u>	pag.	32
<u>VERIFICHE A PRESSOFLESSIONE RETTA ALLO SLU</u>	pag.	32
<u>VERIFICHE A PRESSOFLESSIONE RETTA ALLO SLE</u>	pag.	33
<u>VERIFICHE A TAGLIO PER PRESSOFLESSIONE RETTA ALLO SLU</u>	pag.	34
<u>PALI - VERIFICHE A CARICO LIMITE VERTICALE E ORIZZONTALE</u>	pag.	35
<u>PALI - VERIFICHE A PRESSOFLESSIONE DEVIATA ALLO SLU</u>	pag.	35
<u>PALI - VERIFICHE A TAGLIO</u>	pag.	36
<u>VERIFICHE DEI CONTRAFFORTI</u>	pag.	36
<u>VERIFICHE DEGLI SPOSTAMENTI</u>	pag.	36